

สำนักหอสมุดกลาง พระจอมเกล้าลาดกระบัง

การกำจัดเสียงรบกวนด้วยไมโครคอนโทรลเลอร์ dsPIC30F6014

NOISE SUPPRESSION BY USING dsPIC30F6014



๕/๒๖/๒๕๕๙  
๕๒๒๖๗  
๒๕๕๙

เลขหมู่.....  
เลขทะเบียน.....**72869**.....  
วัน,เดือน,ปี...๒.๕...ค.ย...๒๕๕๙

b. 11๖๖3๖3x  
i. ....

ปริญญานิพนธ์นี้เป็นส่วนหนึ่งของการศึกษาตามหลักสูตรปริญญาวิศวกรรมศาสตรบัณฑิต  
ภาควิชาวิศวกรรมระบบควบคุม สาขาวิชาวิศวกรรมแมคคาทรอนิกส์  
สถาบันเทคโนโลยีพระจอมเกล้าเจ้าคุณทหารลาดกระบัง  
ปีการศึกษา ๒๕๕๙

เอกสารนี้เป็นเอกสารที่สงวนไว้สำหรับการใช้งานเพื่อการศึกษาเท่านั้น ไม่อนุญาตให้นำไปใช้ประโยชน์ด้านการค้า  
ไม่ว่ากรณีใดๆทั้งสิ้น อีกทั้งห้ามมิให้ดัดแปลงเนื้อหา และต้องอ้างอิงถึงเจ้าของเอกสารทุกครั้งที่มีการนำไปใช้



# การกำจัดเสียงรบกวนด้วยไมโครคอนโทรลเลอร์ dsPIC30F6014

โดย

นาย ชัยยุทธ อัครเมธีรุ่งโรจน์ 46010161

นาย เอกฉรงค์ ไชยงค์ 46010987

อาจารย์ที่ปรึกษา

อาจารย์ รัชชัช คำศรี

ปีการศึกษา 2549

## บทคัดย่อ

ปฏิญญาพนธ์เล่มนี้ นำเสนอระบบการกำจัดเสียงรบกวนจากเสียงสนทนา ซึ่งเสียงจะประกอบไปด้วย สัญญาณเสียงสนทนา (audio) ที่ไวต่อสัญญาณรบกวน ในโครงงานนี้มีจุดประสงค์เพื่อที่จะแยกสัญญาณเสียงรบกวนโดยใช้ไมโครคอนโทรลเลอร์ dsPIC30F6014 ขนาด 16 บิต เป็นตัวประมวลผล ในส่วนของระบบจะออกแบบมาให้ทำงานบนฐานเวลาจริงและมีการสุ่มตัวอย่างเสียงสนทนาขนาด 16 บิต

ขั้นตอนการทำงานเริ่มจากการแปลงฟูเรียร์แบบเร็ว (Fast Fourier Transform : FFT) ซึ่งเป็นฟังก์ชันบนโดเมนความถี่ที่ใช้วิเคราะห์องค์ประกอบความถี่ของสัญญาณ หลังจากนั้นฟังก์ชันการคำนวณแยกแยะระหว่างสัญญาณเสียงพูดและสัญญาณเสียงรบกวน (Voice Activity Detection and Noise Band Energy Computation : VAD) จะพิจารณาว่าเป็นสัญญาณเสียงรบกวน หรือเสียงสนทนา ระบบจะกำจัดเสียงรบกวนนั้น และอัปเดต (update) ทุกครั้งที่ฟังก์ชันนี้ถูกเรียกใช้ สำหรับทุกแถบความถี่ของสัญญาณเสียงจะถูกแบ่งตามสัดส่วนของเสียงรบกวนที่ปนมาในแถบความถี่นั้น ดังนั้นแถบความถี่จึงมีความสำคัญมากในการกำจัดเสียงรบกวน ซึ่งขั้นตอนนี้จะปรับเปลี่ยนตามระดับของสัญญาณเสียงสนทนา และระดับของสัญญาณเสียงรบกวนที่เราไม่ต้องการจากสัญญาณเสียงอินพุต (input) จากนั้นสัญญาณเสียงจะถูกแปลงกลับฟูเรียร์แบบเร็ว (Inverse Fast Fourier Transform : IFFT) ทำให้สัญญาณเสียงที่ออกมาปราศจากสัญญาณรบกวนในที่สุด

## I

เอกสารนี้เป็นเอกสารที่สงวนไว้สำหรับการใช้งานเพื่อการศึกษาเท่านั้น ไม่อนุญาตให้นำไปใช้ประโยชน์ด้านการค้า ไม่ว่าจะกรณีใดๆทั้งสิ้น อีกทั้งห้ามมิให้ดัดแปลงเนื้อหา และต้องอ้างอิงถึงเจ้าของเอกสารทุกครั้งที่มีการนำไปใช้

# NOISE SUPPRESSION BY USING dsPIC30F6014

By

Mr. Chaiyut Asawameiteerungroj

Mr. Akenarong Jaiyong

Advisor

Mr. Thawatchai Kamsri

Academic Year 2006

## ABSTRACT

This thesis presents the system to suppress the effect of noise interference on an incoming speech signal. Which consist of speech (audio) signal that is susceptible to ambient noise. The purpose of this thesis is to suppress the noise by using 16 bit microcontroller dsPIC30F6014. The system is designed to operate in real time and sample a speech 16 bit .

The project has been conducted as following steps. Firstly, FFT (Fast Fourier Transform) function is primarily a Frequency Domain algorithm in which is performed so as to analyze the frequency components of the signal. After that, VAD (Voice Activity Detecting) is used to determine if the signal segment is speech or noise . Noise Suppression algorithm maintains a profile of noise and updates it every time when a noise segment is detected. Every frequency band of the input signal is then scaled according to the proportion of noise contained in the frequency band, thereby causing a significant degree of noise contained in the resultant signal. The algorithm can adapt along level of noise in the nature and does not require separate noise reference input. Finally, the signal is transferred by using IFFT (Inverse Fast Fourier Transform) algorithm, so the signal will eliminate unwanted noise and it become clean .

## กิตติกรรมประกาศ

การจัดทำปฏิญานิพนธ์ฉบับนี้ สามารถสำเร็จลุล่วงไปได้ด้วยดี เพราะได้รับความช่วยเหลือเป็นอย่างดีจาก อาจารย์ รัชชัช คำศรี ที่ได้กรุณาให้คำปรึกษาแนะนำที่ดีมาโดยตลอดตั้งแต่ต้น รวมทั้งเอื้อเฟื้ออุปกรณ์ที่จำเป็น และความช่วยเหลืออื่นๆ ที่เป็นประโยชน์ต่อโครงการ ผู้จัดทำรู้สึกซาบซึ้งและขอกราบขอบพระคุณอย่างสูง

ขอขอบพระคุณ รศ.ดร.โยธิน เปรมปราชญ์รัชต์ ที่ให้คำปรึกษาในเรื่องการกำจัดสัญญาณรบกวนด้วยดีตลอดมา

ขอบคุณเพื่อนๆ ทุกคนที่ให้กำลังใจ สนับสนุนอุปกรณ์ที่ขาดเหลือ กระตุ้นเตือน รวมทั้งคอยถามไถ่ความคืบหน้าของโครงการอยู่เสมอ

สุดท้ายนี้ผู้จัดทำขอกราบขอบพระคุณบิดา มารดา และครอบครัว ที่คอยเป็นกำลังใจที่ดีตลอดมา รวมถึงการสนับสนุนในเรื่องของงบประมาณที่ขาดเหลือ ตลอดจนเป็นแรงบันดาลใจที่ดีที่สุดที่ทำให้โครงการนี้สำเร็จสมบูรณ์ลงได้

ผู้จัดทำ

นายชัยยุทธ

อัสวะเมธีรุ่งโรจน์

นายเอกณรงค์

ไวยงศ์

# สารบัญ

	หน้า
บทคัดย่อ	I
บทคัดย่อภาษาอังกฤษ	II
กิตติกรรมประกาศ	III
สารบัญ	IV
สารบัญภาพ	VI
สารบัญตาราง	VIII
บทที่ 1 บทนำ	1
1.1 ความเป็นมาและความสำคัญของปัญหา	1
1.2 ความมุ่งหมายและวัตถุประสงค์ของการศึกษา	2
1.3 ขอบเขตของการศึกษา	2
1.4 วัสดุอุปกรณ์ที่ใช้ในการสร้างชิ้นงาน	2
1.5 รายละเอียดของปริยฐานิพนธ์	2
บทที่ 2 ทฤษฎีและความรู้ที่เกี่ยวข้อง	3
2.1 ทฤษฎีการประมวลผลสัญญาณดิจิทัล	3
2.1.1 การประมวลผลข้อมูลโดยการแปลงฟูเรียร์แบบเร็ว	3
2.1.2 ทฤษฎีการสุ่มตัวอย่าง	8
2.1.3 การแบ่งช่วงสัญญาณ	9
2.1.4 การเข้ารหัสของสัญญาณเสียงแบบพัลส์โค้ดมอดูเลชัน	10
2.1.5 การสังเคราะห์เสียงเชิงคณิตศาสตร์	15
2.1.6 เฟสโค้ดกรุป	17
2.2 สถาปัตยกรรมไมโครคอนโทรลเลอร์ dsPIC30F6014	28
2.2.1 คุณสมบัติโดยรวมของ dsPIC30F6014	28
2.2.2 โมดูลสำหรับเชื่อมต่ออุปกรณ์อนุกรม แบบ SPI	32
2.2.3 โมดูลสำหรับเชื่อมต่ออุปกรณ์อนุกรม แบบ DCI	33
บทที่ 3 หลักการออกแบบ	37
3.1 หน่วยเข้าและถอดรหัสเสียง	39
3.1.1 คุณสมบัติของ Si3000	39
3.1.2 การเชื่อมต่อแบบดิจิทัล	40

## สารบัญ(ต่อ)

	หน้า
3.1.3 การเลือกความถี่สัญญาณนาฬิกา	43
3.1.4 การกำหนดค่ารีจิสเตอร์สำหรับตัวกำเนิดสัญญาณนาฬิกา	44
3.2 หน่วยแสดงผล	45
3.3 หน่วยประมวลผลกลางและกำจัดเสียงรบกวน	46
3.3.1 กระบวนการกำจัดเสียงรบกวน	46
3.3.2 โปรแกรมการทำงาน	54
<b>บทที่ 4 การทดลอง</b>	67
4.1 วัตถุประสงค์ของการทดลอง	67
4.2 วิธีการทดลอง	68
4.3 ผลการทดลอง	69
4.3 สรุปผลการทดลอง	69
<b>บทที่ 5 บทวิจารณ์และสรุป</b>	77
5.1 สรุปผลการทดลอง	77
5.2 ปัญหาที่พบและแนวทางแก้ไข	78
5.3 ข้อเสนอแนะและแนวทางในการค้นคว้าพัฒนา	78
ภาคผนวก ก ไอซีเข้าและถอดรหัสเสียง Si3000	80
เอกสารอ้างอิง	90

## สารบัญภาพ

รูปที่	หน้า
1.1 ลักษณะการกำจัดเสียงรบกวนของสัญญาณ	1
2.1 การเปรียบเทียบจำนวนครั้งของการคำนวณระหว่าง DFT และ FFT	4
2.2 ค่าเอกซ์โพเนนเชียลของ $W$ (แฟกเตอร์การหมุน)	5
2.3 ความสัมพันธ์ระหว่างโดเมนเวลาและโดเมนความถี่	6
2.4 แสดงฟังก์ชันหน้าต่างในแบบต่างๆ	8
2.5 ระบบการประมวลผลสัญญาณแอนะล็อกโดยใช้การประมวลผลสัญญาณดิจิทัล	8
2.6 แสดงการแบ่งช่วงสัญญาณ	9
2.7 กระบวนการเข้ารหัสและถอดรหัสของระบบพีซีเอ็ม	10
2.8 การชักตัวอย่างสัญญาณเสียง	11
2.9 สัญญาณแอนะล็อกดั้งเดิมก่อนทำการจัดระดับสัญญาณ	11
2.10 สัญญาณดิจิทัลหลังขณะทำการจัดระดับสัญญาณ	14
2.11 การแทรกขั้นตอนของการอัดสัญญาณและการบีบสัญญาณลงในระบบพีซีเอ็ม	14
2.12 คุณลักษณะการคอมเพรสชันของโคโอด	14
2.13 แบบอย่างคุณลักษณะของการคอมเพรสชัน	14
2.14 แสดงการสังเคราะห์สัญญาณเสียง	15
2.15 บล็อกไดอะแกรมของการแปลงเสียง	16
2.16 แผนผังของเฟสล็อกกรุป	17
2.17 แผนผังของหน่วยสังเคราะห์ความถี่	20
2.18 คุณลักษณะ ช่วงพลวัต (dynamic range) ในการเปลี่ยนความถี่เฟสล็อกกรุป	21
2.19 ลักษณะสมบัติของส่วนเปรียบเทียบเฟสชนิดแอนะล็อก	23
2.20 ลักษณะสมบัติ ส่วนเปรียบเทียบเฟสชนิดดิจิทัล	24
2.21 ลักษณะสมบัติของ VCO	24
2.22 วงจรเฟสล็อกกรุป	26
2.23 บล็อกไดอะแกรม ของ โมดูล SPI	32
2.24 การเชื่อมต่อ โมดูล SPI ระหว่างอุปกรณ์มาสเตอร์ และอุปกรณ์สเลฟ	33
2.25 บล็อกไดอะแกรม ของ โมดูล DCI	34
2.26 แสดงตัวอย่างการเชื่อมต่อกับอุปกรณ์เข้าและถอดรหัส	35
2.27 ไทมิงไดอะแกรมของการทำงานแบบ สเตฟเฟรมซิงค์ ชนิดหลายช่องทาง	35

## สารบัญญภาพ (ต่อ)

รูปที่	หน้า
3.1 โครงสร้างการทำงานในการกำจัดสัญญาณเสียงรบกวน	38
3.2 บล็อกไดอะแกรม ของไอซี Si3000	39
3.3 ไทมิงไดอะแกรมของการเชื่อมต่อแบบอนุกรม	40
3.4 การร้องขอเฟรมทุดิยภูมิ	42
3.5 การเขียนข้อมูลลงเฟรมทุดิยภูมิ	42
3.6 การอ่านข้อมูลจากเฟรมทุดิยภูมิ	43
3.7 ระบบการสร้างสัญญาณนาฬิกาด้วยเฟสล็อกกลูป	43
3.8 บล็อกไดอะแกรมการกำจัดเสียงรบกวน	47
3.9 แผนผังการทำงานโดยรวมของโปรแกรม	56
3.10 แผนผังการทำงานของฟังก์ชัน InitSPI()	57
3.11 แผนผังการทำงานของฟังก์ชัน Init_DCI()	58
3.12 แผนผังการทำงานของฟังก์ชัน DCI Interrupt()	59
3.13 แผนผังการทำงานของฟังก์ชัน Init_Si3000()	61
3.14 แผนผังการทำงานของโปรแกรมภาษาซี ns_8k.c	62
4.1 เสียงสนทนา ก่อนเข้าสู่ระบบ	69
4.2 เสียงสนทนาหลังเข้าสู่ระบบที่ยังไม่มีการกำจัดเสียงรบกวน	69
4.3 เสียงสนทนาหลังเข้าสู่ระบบที่มีการกำจัดเสียงรบกวนแล้ว	70
4.4 เสียงสนทนา ก่อนเข้าสู่ระบบ	70
4.5 เสียงสนทนาหลังเข้าสู่ระบบที่ยังไม่มีการกำจัดเสียงรบกวน	71
4.6 เสียงสนทนาหลังเข้าสู่ระบบที่มีการกำจัดเสียงรบกวนแล้ว	71
4.7 เสียงสนทนา ก่อนเข้าสู่ระบบ	72
4.8 เสียงสนทนาหลังเข้าสู่ระบบที่ยังไม่มีการกำจัดเสียงรบกวน	72
4.9 เสียงสนทนาหลังเข้าสู่ระบบที่มีการกำจัดเสียงรบกวนแล้ว	73
4.10 เสียงสนทนา ก่อนเข้าสู่ระบบ	73
4.11 เสียงสนทนาหลังเข้าสู่ระบบที่ยังไม่มีการกำจัดเสียงรบกวน	74
4.12 เสียงสนทนาหลังเข้าสู่ระบบที่มีการกำจัดเสียงรบกวนแล้ว	74

# สารบัญตาราง

ตารางที่	หน้า
2.1 แสดงคุณสมบัติของแต่ละฟังก์ชันหน้าต่าง	7
2.2 ความสัมพันธ์ระหว่างรูปแบบทางกายภาพกับรูปแบบทางคณิตศาสตร์ของสัญญาณเสียง	15
2.3 ย่านสัญญาณความถี่นาฬิกาที่สามารถใช้ร่วมกับวงจรเฟสล็อกภายใน	31
3.1 คุณลักษณะการสวิตช์ซิงของการเชื่อมต่อแบบอนุกรม	40
3.2 โหมดการเชื่อมต่อแบบอนุกรม	41
3.3 ตัวอย่างค่าความถี่จาก MCLK ในการสร้างความถี่สุ่มตัวอย่าง 8 kHz	44
3.4 สัมประสิทธิ์ของวินโดว์ฟังก์ชันต่างๆ	48
3.5 แถบพลังงานของสเปกตรัมความถี่	50



# บทที่ 1

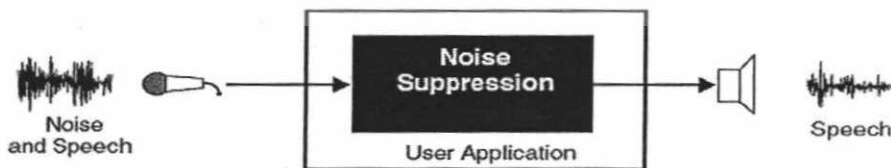
## บทนำ

### 1.1 ความเป็นมาและความสำคัญของปัญหา

เสียงเกิดจากการสั่นสะเทือนของวัตถุ เมื่อวัตถุสั่นสะเทือนก็จะทำให้เกิดการอัดตัว และขยายตัวของคลื่นเสียง สัญญาณเสียงนั้นจะถูกส่งผ่านตัวกลาง เช่น อากาศไปยังอุปกรณ์รับสัญญาณเสียง แต่ถ้าสัญญาณเสียงนั้นประกอบด้วยสัญญาณรบกวนแล้ว สัญญาณเสียงที่ปรากฏที่ตัวรับก็ย่อมรับเอาสัญญาณรบกวนนั้นเข้าไปด้วย ทำให้คุณภาพสัญญาณเสียงต่ำลงไป ปัญหานี้พบได้มากในชีวิตประจำวัน ตัวอย่างเช่น การติดต่อสื่อสารทางโทรศัพท์ ผู้รับสารอาจได้รับสัญญาณเสียงรบกวนจากผู้ส่งสาร หรือเสียงรบกวนจากตัวโทรศัพท์ที่ไม่มีคุณภาพ ตลอดจนอาจเกิดจากระบบการติดต่อสื่อสารที่สร้างคลื่นรบกวนออกมา จะเห็นว่าผู้รับสารหลีกเลี่ยงไม่ได้ที่จะรับสัญญาณเสียงที่ต้องการและเสียงรบกวนที่เข้ามาในระบบในเวลาเดียวกัน

ด้วยเหตุนี้จากอดีตจนถึงปัจจุบัน จึงมีวิธีการกำจัดเสียงที่ไม่พึงประสงค์หลายวิธี เริ่มจากวงจรกรองความถี่แบบแอนะล็อก (analog filter) แแต่วงจรนี้ก็ยังมีข้อจำกัดจากความถี่คัทออฟ (cut off frequency) อยู่ช่วงใดช่วงหนึ่ง ซึ่งไม่เหมาะกับการกรองสัญญาณรบกวนที่มีหลายองค์ประกอบด้วยกัน ; วงจรกรองความถี่แบบดิจิทัล (digital filter) ซึ่งมีการพัฒนาการเขียนอัลกอริทึม (algorithm) ต่างๆ เป็นภาษาคอมพิวเตอร์แล้วประมวลผลโดยมีหน่วยความจำข้อมูล หน่วยความจำโปรแกรม และหน่วยประมวลผลทางคณิตศาสตร์ แต่วิธีนี้เป็นการประมวลโดยใช้เครื่องคอมพิวเตอร์ ซึ่งมีขนาดใหญ่ไม่เหมาะกับการนำไปใช้ในชีวิตประจำวันจริง

ปัญหานี้พบเห็นได้บ่อย มุ่งให้ความสนใจในการกำจัดสัญญาณเสียงรบกวนจากเสียงสนทนา โดยใช้การประมวลผลสัญญาณเสียงแบบดิจิทัล (Digital Signal Processing : DSP) ซึ่งมีไมโครคอนโทรลเลอร์ (microcontroller) ขนาด 16 บิตเป็นหน่วยประมวลผล โดยมีลักษณะการทำงานภาพรวมในรูปที่ 1.1 วิธีนี้จะทำให้ชิ้นงานมีขนาดเล็กลง แต่ประสิทธิภาพเท่าเทียมกับการประมวลผลโดยใช้เครื่องคอมพิวเตอร์ นอกจากนี้ยังสามารถนำชิ้นงานไปใช้งานได้จริง ตลอดจนต้นทุนในการสร้างมีราคาถูก และผู้ใช้งานไม่จำเป็นต้องมีประสบการณ์มากนัก สิ่งเหล่านี้จึงเป็นเครื่องยืนยันได้อย่างดีว่า “การกำจัดเสียงรบกวนด้วยไมโครคอนโทรลเลอร์ dsPIC30F6014” เป็นคำตอบของการกำจัดเสียงรบกวนอย่างแท้จริง



รูปที่ 1.1 ลักษณะการกำจัดเสียงรบกวนของชิ้นงาน

เอกสารนี้เป็นเอกสารที่สงวนไว้สำหรับการใช้งานเพื่อการศึกษาเท่านั้น ไม่อนุญาตให้นำไปใช้ประโยชน์ด้านการค้า ไม่ว่าจะกรณีใดๆทั้งสิ้น อีกทั้งห้ามมิให้ดัดแปลงเนื้อหา และต้องอ้างอิงถึงเจ้าของเอกสารทุกครั้งที่มีการนำไปใช้

## 1.2 ความมุ่งหมายและวัตถุประสงค์ของการศึกษา

1. เพื่อศึกษาระบบกำจัดสัญญาณเสียงรบกวนจากเสียงสนทนาบนฐานเวลาจริง (real time) ด้วยวิธีการประมวลผลสัญญาณแบบดิจิทัล โดยใช้ไมโครคอนโทรลเลอร์ขนาด 16 บิต เป็นตัวประมวลผล
2. เพื่อสร้างชิ้นงานที่มีขนาดเล็กกว่าเครื่องคอมพิวเตอร์ และสามารถนำ ชิ้นงาน ไปใช้งานได้จริงในชีวิตประจำวัน โดยที่ผู้ใช้งานไม่จำเป็นต้องมีความรู้มากนัก
3. เพื่อศึกษาระบบการประมวลผลสัญญาณแบบเฟรม (frame)
4. เพื่อศึกษาระบบการเชื่อมต่ออุปกรณ์อนุกรมแบบ DCI
5. เพื่อศึกษาระบบการเชื่อมต่ออุปกรณ์อนุกรมแบบ SPI

## 1.3 ขอบเขตของการศึกษา

ลดสัญญาณเสียงรบกวนจากเสียงสนทนา และสร้างระบบการประมวลผลขึ้นบนฐานเวลาจริง โดยการบันทึกเสียงสนทนาที่มีเสียงสัญญาณรบกวนแล้วนำเสียงสนทนานั้นป้อนเข้าสู่ระบบที่สร้างขึ้นมา เพื่อทำการเปรียบเทียบผลตอบสนองเชิงความถี่ และผลตอบสนองเชิงเวลาของสัญญาณ เสียงรบกวนก่อนการกำจัดเสียงและหลังการกำจัดเสียง

## 1.4 วัสดุอุปกรณ์ที่ใช้ในการสร้างชิ้นงาน

1. บอร์ดทดลอง dsPICDEM 1.1
2. เครื่องบันทึกเสียง (MP3)
3. หูฟัง หรือ ลำโพง

## 1.5 รายละเอียดของปริิญยานิพนธ์

เนื้อหาที่จะกล่าวในปริิญยานิพนธ์ฉบับนี้ประกอบด้วย

บทที่ 1 บทนำ กล่าวถึงความจำเป็นมาของปัญหา วัตถุประสงค์ตลอดจน ขอบเขตการศึกษา พร้อมทั้งรายละเอียดของปริิญยานิพนธ์ของแต่ละบท

บทที่ 2 ทฤษฎีและความรู้ที่เกี่ยวข้อง กล่าวถึงหลักการและทฤษฎีที่เกี่ยวข้องในการ สร้างชิ้นงาน แบ่งเป็นสองหมวดคือ ทฤษฎีที่เกี่ยวข้องกับการประมวลผลสัญญาณดิจิทัล และความรู้ที่เกี่ยวข้องในการเขียนโปรแกรม

บทที่ 3 หลักการออกแบบ นำเสนอโครงสร้างโดยรวมของระบบ รวมถึงแนวคิดในการออกแบบระบบกำจัดสัญญาณเสียงรบกวน

บทที่ 4 การทดลอง ทำการเปรียบเทียบผลตอบสนองเชิงความถี่และผลตอบสนองเชิงเวลาของสัญญาณเสียงก่อนและหลังการกำจัดเสียงรบกวน

บทที่ 5 บทวิจารณ์และสรุป จะสรุปผลการดำเนินงาน ปัญหาที่เกิดขึ้น และแนวทางการปรับปรุงพัฒนาโครงการนี้ต่อไป

เอกสารนี้เป็นเอกสารที่สงวนไว้สำหรับการใช้งานเพื่อการศึกษาเท่านั้น ไม่อนุญาตให้นำไปใช้ประโยชน์ด้านการค้า ไม่ว่าจะกรณีใดๆทั้งสิ้น อีกทั้งห้ามมิให้ดัดแปลงเนื้อหา และต้องอ้างอิงถึงเจ้าของเอกสารทุกครั้งที่มีการนำไปใช้

## บทที่ 2

# ทฤษฎีและความรู้ที่เกี่ยวข้อง

จากที่ได้กล่าวในบทที่ 1 ก่อนการออกแบบ และสร้างระบบการกำจัดเสียงรบกวนนั้น จำเป็นต้องศึกษาองค์ประกอบต่างๆที่จำเป็นให้เข้าใจเสียก่อน พบว่าระบบ การกำจัดเสียงรบกวนมีส่วนที่สำคัญหลายส่วน ดังนั้นในบทนี้จะศึกษาและอธิบายถึงองค์ประกอบต่างๆ ที่จะนำไปใช้งาน ในการสร้างชิ้นงานจริง ซึ่งแบ่งออกเป็นสองส่วนคือ ทฤษฎีที่เกี่ยวข้องกับการประมวลผลสัญญาณ ดิจิตอล และความรู้ที่เกี่ยวข้องในการเขียน โปรแกรม อันจะกล่าวดังต่อไปนี้

### 2.1 ทฤษฎีการประมวลผลสัญญาณดิจิตอล

ความรู้เกี่ยวกับการประมวลผลสัญญาณดิจิตอลนั้น นับเป็นส่วนสำคัญที่จำเป็นจะต้องศึกษา ก่อน เพื่อเป็นพื้นฐานของการออกแบบระบบการกำจัดเสียงรบกวน โดยต้องทำความเข้าใจเกี่ยวกับ หลักการประมวลผลสัญญาณดิจิตอลเบื้องต้น ซึ่งประกอบ ไปด้วยหัวข้อต่างๆ ดังนี้

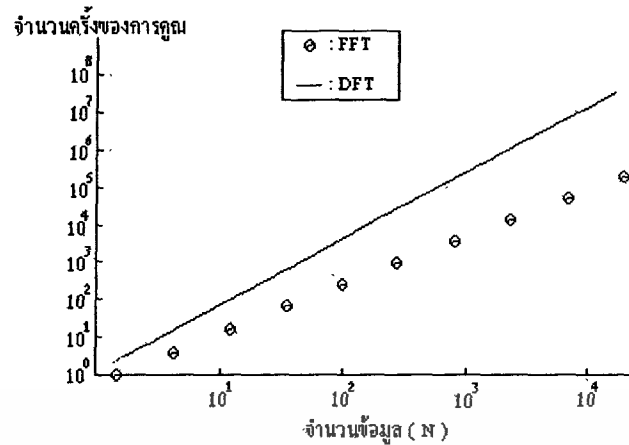
#### 2.1.1 การประมวลผลข้อมูลโดยการแปลงฟูเรียร์แบบเร็ว

##### 1. การแปลงฟูเรียร์

ข้อมูลส่วนใหญ่จะเป็นเหตุการณ์ที่เปลี่ยนแปลง ไปตามเวลา ซึ่งข้อมูลที่แสดงได้เหล่านี้จะ สามารถแสดงได้โดยใช้การประกอบกันของคลื่นฟังก์ชันตรีโกณมิติที่มีความถี่ต่างกัน ซึ่งฟังก์ชันที่ ได้จากแกนของเวลาสามารถแสดงได้ด้วยฟังก์ชันที่แสดงบนแกนของความถี่ การแปลงแบบนี้ เรียกว่า “การแปลงฟูเรียร์” ความสัมพันธ์ระหว่างฟังก์ชันในแกนของเวลา  $F(t)$  และ ฟังก์ชัน ในแกนของความถี่  $F(\omega)$  ได้ดังสมการที่ (2.1) และ (2.2) ดังนี้

$$F(\omega) = \int_{-\infty}^{+\infty} F(t)e^{-j\omega t} dt \quad (2.1)$$

ถ้าทำการแปลงฟูเรียร์กับสัญญาณดิจิตอลจะเรียกการแปลงนั้นว่า การแปลงฟูเรียร์แบบไม่ ต่อเนื่อง (Discrete Fourier Transform : DFT) ซึ่งจะแทนการอินทิเกรตจากอนันต์ถึงลบนันต์ ด้วย การหาค่าผลรวมที่จำกัด (finite summation) การแปลงฟูเรียร์นี้ไม่ต่อเนื่องทั้งโดเมนเชิงเวลา และ โดเมนเชิงความถี่ นอกจากนี้ยังมีการพัฒนาการแปลงฟูเรียร์ให้เร็วขึ้น หรือที่เรียกว่า “การแปลงฟู เรียร์แบบเร็ว(Fast Fourier Transform : FFT)” ซึ่งเป็นอัลกอริทึมที่ข่นเวลาในการคำนวณ โดยลด จำนวนครั้งการคำนวณสำหรับแปลงฟูเรียร์แบบไม่ต่อเนื่อง ให้กับข้อมูลที่มีขนาดใหญ่ ดังแสดงใน รูปที่ 2.1



รูปที่ 2.1 การเปรียบเทียบจำนวนครั้งของการคำนวณระหว่าง DFT และ FFT

## 2. การแปลงฟูรีเยร์แบบเร็ว

สมมติให้  $F(t)$  เป็นสัญญาณต่อเนื่อง การแปลงฟูรีเยร์แบบไม่ต่อเนื่อง จะแสดงดังสมการที่

(2.2) ดังนี้

$$C_k = \frac{1}{N} \sum_{i=1}^{N-1} f(i) \frac{e^{-j2\pi k}}{N} \quad (2.2)$$

เมื่อ:  $C_k$  คือ ผลรวมการแปลงฟูรีเยร์แบบไม่ต่อเนื่อง ณ จุดสัญญาณที่  $k$   
 $k$  คือ จุดของข้อมูลตั้งแต่ 0 ถึง  $N$

วิธีคำนวณการแปลงฟูรีเยร์แบบไม่ต่อเนื่อง จำเป็นต้องคำนวณผลบวกทั้งหมด  $N^2$  ครั้ง ซึ่งมีขนาดใหญ่มาก ดังนั้นวิธีคำนวณการแปลงฟูรีเยร์แบบเร็วจึงพัฒนาขึ้นเพื่อลดจำนวนครั้งของการคูณ โดยทำการแปลงการคูณนั้นให้เป็นการบวกด้วยการรวมพจน์ก่อนเข้าคูณ ดังสมการที่ (2.3) กำหนดให้

$$\begin{aligned} W &= e^{-j\left(\frac{2\pi}{N}\right)} \\ &= \cos\left(\frac{2\pi}{N}\right) - j\sin\left(\frac{2\pi}{N}\right) \end{aligned} \quad (2.3)$$

เมื่อ:  $W$  คือ แฟกเตอร์การหมุน

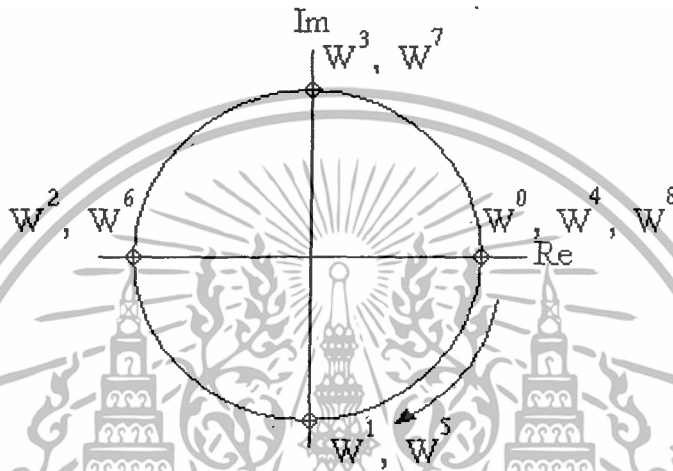
สมการที่(2.2) จะถูกแปลงเป็นสมการที่(2.4) ดังนี้

$$C_k = \frac{1}{N} \sum_{i=1}^{N-1} f(i) * W^{ki} \quad \text{เมื่อ} \quad n = ki \quad (2.4)$$

เอกสารนี้เป็นเอกสารที่สงวนไว้สำหรับการใช้งานเพื่อการศึกษาเท่านั้น ไม่อนุญาตให้นำไปใช้ประโยชน์ด้านการค้า ไม่ว่าจะกรณีใดๆทั้งสิ้น อีกทั้งห้ามมิให้ดัดแปลงเนื้อหา และต้องอ้างอิงถึงเจ้าของเอกสารทุกครั้งที่มีการนำไปใช้

ในสมการนี้เรียกว่า  $W^{ki}$  ว่า “แฟกเตอร์การหมุนเฟส (phase-rotation factor)”

แนวคิดพื้นฐานการแปลงฟูรีเยร์แบบเร็วจะใช้คุณสมบัติ 2 อย่างของ  $W^N$  เช่น รูปที่ 2.2 แสดงการแบ่งวงกลมหนึ่งหน่วย (unit circle) ที่มีจุดศูนย์กลางอยู่ที่จุดกำเนิด (origin) ของระนาบเชิงซ้อน (complex plane) ออกเป็น  $N$  ส่วนเท่า ๆ กัน เมื่อมีการเพิ่ม  $N$  ก็จะหมุนไปทีละรอบ ดังนั้นจากคุณสมบัติการสมมาตร ค่าของ  $W^6, W^2$  จะเท่ากับค่าของ  $-W^0$  และจากคุณสมบัติความเป็นรอบ  $W^4, W^8$  จะเท่ากับค่าของ  $W^0$  จึงสามารถแบ่งการคูณได้ดังสมการที่ (2.4)

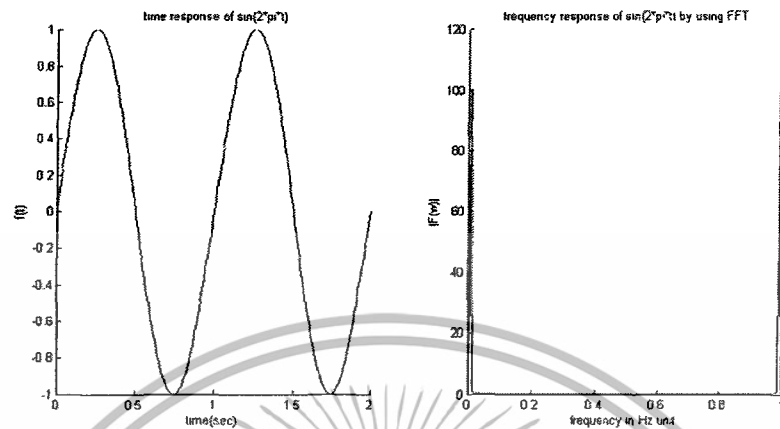


รูปที่ 2.2 ค่าเอกซ์โพเนนเชียลของ  $W^N$  (แฟกเตอร์การหมุน)

### 3. การประมวลผลแบบใช้วินโดว์

การแปลงฟูรีเยร์แบบเร็วจะประมวลผลข้อมูลตัวเลขที่สุ่มมาเป็นส่วนๆ จากชุดของข้อมูลที่มีทั้งหมด การตัดข้อมูลหรือคลื่นออกมาส่วนๆแบบนี้เรียกว่า “การใช้วินโดว์ (หน้าต่างเวลา)” แต่เดิมการแปลงฟูรีเยร์แบบเร็วถูกนิยามอยู่บนข้อมูลที่มีความยาวไม่จำกัด (วิธีการ DFT ก็เช่นเดียวกัน) วิธีการแปลงฟูรีเยร์แบบเร็วจะตัดคลื่นออกเป็นวินโดว์ และสมมุติว่า คลื่นนั้นเป็นคลื่นที่เกิดซ้ำกันไปเรื่อยๆ จากนั้นจะทำการวิเคราะห์สัญญาณ ถ้าความยาวของข้อมูลที่วิเคราะห์นั้นเป็นจำนวนเต็มเท่าของรอบความถี่แต่ละอัน คลื่นที่แปลงฟูรีเยร์แบบเร็ว นั้นจะเหมือนกับคลื่นอินพุตที่เข้ามา และจะได้ ไลน์สเปกตรัม (line spectrum) อันเดียวดังรูปที่ 2.3 แต่ถ้าความยาวของข้อมูลที่วิเคราะห์นั้นไม่เป็นจำนวนเต็มเท่าของรอบความถี่ (ปลายเริ่มกับปลายปิดไม่เชื่อมต่อกัน) ในกรณีนี้จะต้องจัดการกับคลื่นที่บิดเบี้ยวไป (distorted wave) โดยทฤษฎีแล้วเราไม่สามารถรวมพลังงานไว้ที่สเปกตรัมนั้นแต่จะเกิดการขยายไปข้างๆหรือที่เรียกว่า “ไซด์โลบ (side lobe)” การรั่วของพลังงานเช่นนี้เรียกว่า “ค่าผิดพลาดจากการรั่ว (leakage error)” ตามทฤษฎีแล้ว เพื่อให้ได้มาซึ่งสเปกตรัม

อันเดียวจำเป็นต้องใช้ข้อมูลที่ยาวไม่จำกัดแต่โดยทั่วไปแล้ว การแปลงฟูเรียร์แบบเร็วจะประมวลผลสัญญาณข้อมูลในช่วงที่จำกัด ดังนั้นจึงเกิดค่าผิดพลาดจากการรั่ว



รูปที่ 2.3 ความสัมพันธ์ระหว่าง โดเมนเวลาและ โดเมนความถี่

วิธีหนึ่งในการป้องกันค่าผิดพลาดจากการรั่วที่พบโดยทั่วไปคือ “วิธีประมวลผลด้วยวินโดว์ (window processing)” โดยจะใช้ฟังก์ชันรูปภูเขาที่ปลาย 2 ข้างของเฟรมเป็นศูนย์ ทำการฟิลเตอร์สัญญาณ ซึ่งจะทำให้ปลายเริ่มกับปลายจบเชื่อมต่อกัน ฟังก์ชันแบบนี้เรียกว่า “ฟังก์ชันหน้าต่าง (window function)” การใช้ฟังก์ชันหน้าต่างในการทำซิงโครไนซ์สัญญาณที่วิเคราะห์เรียกว่า “การประมวลผลแบบใช้วินโดว์” ผลลัพธ์ที่ได้จะมีรูปร่างของสเปกตรัมใกล้เคียงกับไลน์สเปกตรัม

ส่วนของทฤษฎีจะใช้ฟังก์ชันหน้าต่างในการควบคุมค่าของ แอมพลิจูดเปลี่ยน, ขนาดของริบเบิล ซึ่งมีอยู่หลายหน้าต่างเช่น หน้าต่างสี่เหลี่ยม, หน้าต่างแฮมมิง, หน้าต่างฮานนิง, Bartlett, Kaiser ในแต่ละแบบจะมีผลที่ออกมาไม่เหมือนกัน เช่นการลด ริบเบิลแถบผ่าน และริบเบิลแถบหยุดที่ไม่เท่ากัน คุณลักษณะของฟังก์ชันหน้าต่างในแบบต่างๆ แสดงได้ดัง สมการที่ (2.5) ถึง (2.11) และแสดงรูปของหน้าต่างๆ ในรูปที่ 2.4

หน้าต่างสี่เหลี่ยม

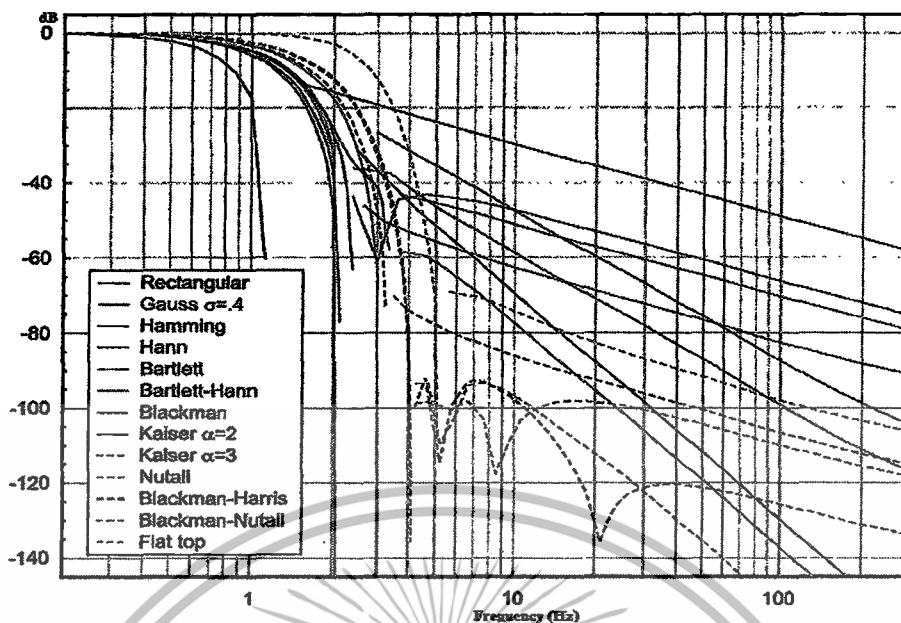
$$W(n) = \begin{cases} 1 & \text{เมื่อ } -\omega < \omega < \omega_c \\ 0 & \text{นอกจากนั้น} \end{cases} \quad (2.5)$$

หน้าต่างฮานนิง

$$W(n) = 0.5 \left[ 1 - \cos \left( 2 \cdot \pi \cdot \frac{n}{N-1} \right) \right] \quad \text{เมื่อ } 0 < n < N-1 \quad (2.6)$$

เอกสารนี้เป็นเอกสารที่สงวนไว้สำหรับการใช้งานเพื่อการศึกษาเท่านั้น ไม่อนุญาตให้นำไปใช้ประโยชน์ด้านการค้า ไม่ว่าจะกรณีใดๆทั้งสิ้น อีกทั้งห้ามมิให้ดัดแปลงเนื้อหา และต้องอ้างอิงถึงเจ้าของเอกสารทุกครั้งที่มีการนำไปใช้

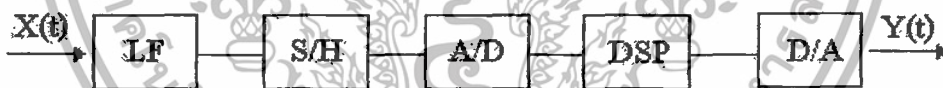




รูปที่ 2.4 แสดงฟังก์ชันหน้าต่างในแบบต่างๆ

### 2.1.2 ทฤษฎีการสุ่มตัวอย่าง

อาจกล่าวได้ว่าสัญญาณในธรรมชาติส่วนมาก เช่น สัญญาณเสียง สัญญาณการสั่นสะเทือนของพื้นโลก คลื่นหัวใจ หรือการแปรค่าไปของอุณหภูมิ เหล่านี้เป็นไปในลักษณะที่มีความสัมพันธ์กับเวลาที่เปลี่ยนไป หรือกล่าวได้ว่าเป็นสัญญาณแอนะล็อก การนำสัญญาณเหล่านี้ไปประมวลผลในลักษณะของดิจิทัล จะต้องใช้ระบบการประมวลผลดังรูปที่ 2.5



รูปที่ 2.5 ระบบการประมวลผลสัญญาณแอนะล็อก โดยใช้การประมวลผลสัญญาณดิจิทัล

ซึ่งตามรูป วงจร S/H เป็นวงจรสุ่มและคงค่าสัญญาณไว้ เพื่อให้วงจร A/D ทำการแปลงสัญญาณจากแอนะล็อกเป็นสัญญาณดิจิทัล

ในการแปลงสัญญาณแอนะล็อกเป็นสัญญาณดิจิทัล ความถี่ในการสุ่มตัวอย่างนั้นจะต้องมากพอที่จะไม่ทำให้สัญญาณสูญเสียข้อมูลที่สำคัญออกไป

ทฤษฎีการสุ่มตัวอย่าง (sampling theory) ของ Shannon กล่าวว่าไว้ว่า ถ้าหากมีสัญญาณแอนะล็อก  $x(t)$  ที่ค่าการแปลงฟูเรียร์ หรือเพาเวอร์ สเปกตรัม (power spectrum) ของสัญญาณมี

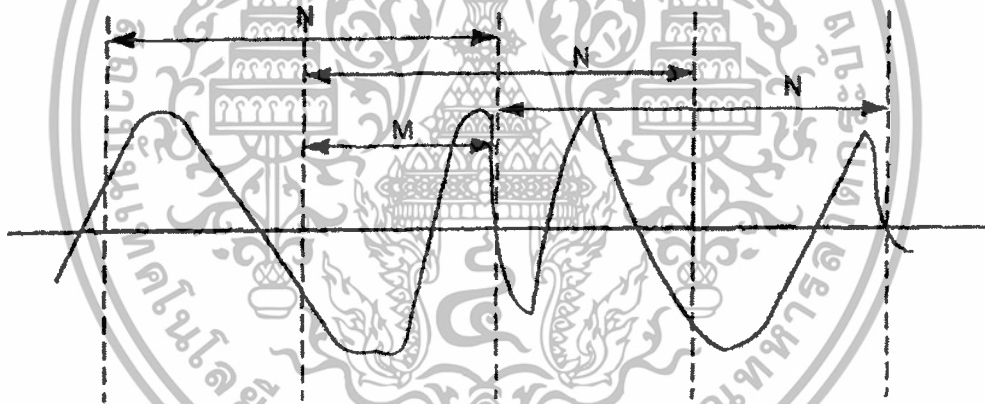
แถบความถี่ปฏิบัติงานเท่ากับ  $f_0$  แล้วเราจะสามารถทำการสุ่มโดยที่สัญญาณนั้นไม่สูญเสียเนื้อหาที่สำคัญที่สุดคือเมื่อความถี่ในการสุ่ม  $f_s$  มีค่ามากกว่าสองเท่าของความถี่  $f_0$  ดังสมการที่ (2.12)

$$f_s \geq 2f_0 \quad (2.12)$$

โดยทั่วไปเราอาจสุ่มด้วยความถี่  $f_s = 2f_0$  พอดี ค่าความถี่นี้เรียกว่าความถี่ในควิสต์ (Nyquist frequency) แต่ในทางปฏิบัติเพื่อหลีกเลี่ยงการไม่เป็นเชิงเส้นของการสุ่ม เราจึงมักใช้ความถี่ในการสุ่มที่มากกว่าความถี่ในควิสต์ และความถี่ในการสุ่มที่ใช้นั้นขึ้นอยู่กับลักษณะงาน ไม่กำหนดขอบเขตที่แน่นอน ดังนั้นการสุ่มสัญญาณที่จะได้ผลถูกต้องนั้น จำเป็นต้องรู้แถบความถี่ในการปฏิบัติงานของสัญญาณ ดังนั้นในการประมวลผลเราอาจใช้ตัวกรองความถี่ต่ำ (low pass filter) เป็นตัวกำหนดแถบความถี่ของสัญญาณก่อนที่จะเข้าสู่วงจร S/H

### 2.1.3 การแบ่งช่วงสัญญาณ

ข้อมูลเสียงที่อยู่ในโดเมนเวลา จะถูกแบ่งออกเป็น ช่วงสัญญาณ (Block) ซึ่งแต่ละช่วงสัญญาณจะประกอบด้วยสัญญาณเสียง  $N$  สัญญาณ และในแต่ละช่วงสัญญาณจะถูกวิเคราะห์โดยการเลื่อนสัญญาณไปครั้งละ  $M$  สัญญาณ ดังแสดงในรูปที่ 2.6



รูปที่ 2.6 แสดงการแบ่งช่วงสัญญาณ

จะเห็นได้ว่าถ้าค่า  $M$  มีค่าน้อยกว่าค่า  $N$  มากเท่าใด จะทำให้การวิเคราะห์สัญญาณมีความแม่นยำมากเท่านั้น และถ้าค่า  $M$  มีค่ามากกว่า  $N$  แล้วจะทำให้สัญญาณบางส่วนไม่ถูกใช้ในการวิเคราะห์ จะเกิดความผิดพลาดในการวิเคราะห์สัญญาณในส่วนต่อไป

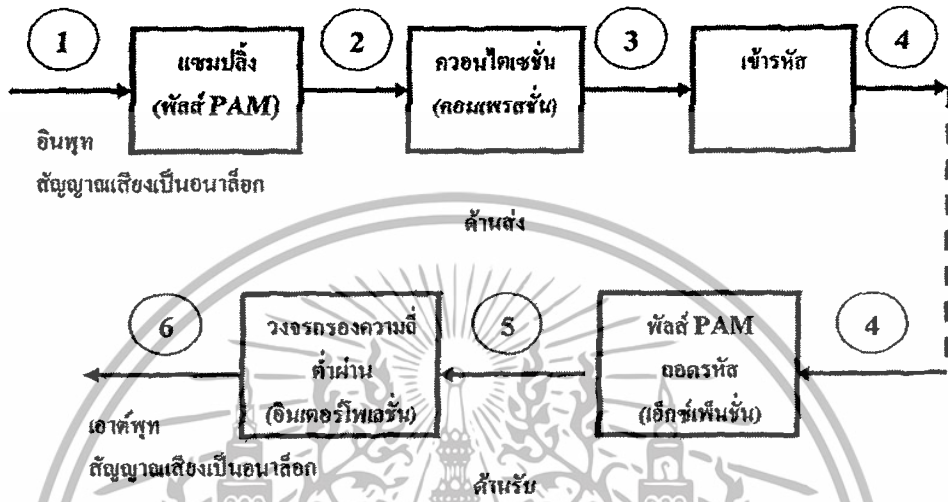
การกำหนดขนาดของช่วงสัญญาณมีเงื่อนไขในการเลือกดังนี้

1. ค่า  $M$  จะต้องสั้นพอที่ทำให้คุณสมบัติของเสียงไม่เปลี่ยนแปลง
2. ค่า  $N$  จะต้องยาวพอที่จำนวนของตัวอย่างมีเพียงพอต่อการหาสัมประสิทธิ์
3. การเลื่อนการวิเคราะห์ (ค่า  $M$ ) ต้องไม่ข้ามข้อมูล

เอกสารนี้เป็นเอกสารที่สงวนไว้สำหรับการใช้งานเพื่อการศึกษาเท่านั้น ไม่อนุญาตให้นำไปใช้ประโยชน์ด้านการค้า ไม่ว่าจะกรณีใดๆทั้งสิ้น อีกทั้งห้ามมิให้ดัดแปลงเนื้อหา และต้องอ้างอิงถึงเจ้าของเอกสารทุกครั้งที่มีการนำไปใช้

### 2.1.4 การเข้ารหัสของสัญญาณเสียงแบบพัลส์โค้ดมอดูเลชัน

วิธีการเข้ารหัสสัญญาณเสียงในระบบสื่อสารแบบดิจิทัลที่ได้รับ การพัฒนา และนำมาใช้อย่างกว้างขวางก็คือ พัลส์โค้ดมอดูเลชัน (Pulse Code Modulation : PCM) ซึ่งเป็นวิธีการหนึ่งในการเปลี่ยนสัญญาณเสียงจากแอนะล็อกให้เป็นดิจิทัล โดยจะประกอบด้วยส่วนประกอบต่างๆ ดังนี้



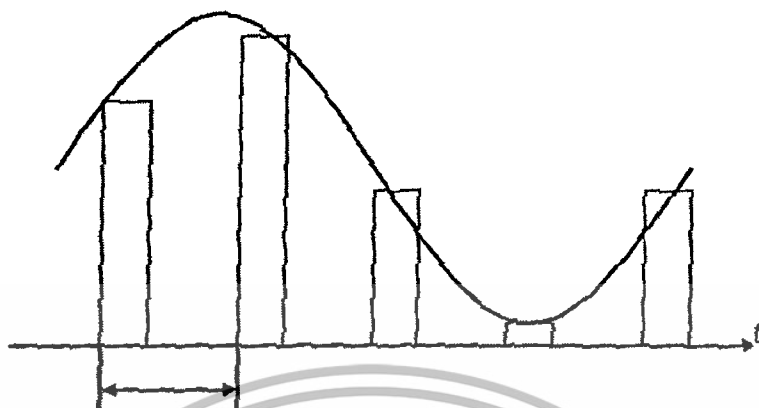
รูปที่ 2.7 กระบวนการเข้ารหัสและถอดรหัสของระบบพีซีเอ็ม

จากรูปที่ 2.7 แสดงขั้นตอนการประมวลผลสัญญาณ เพื่อให้ได้สัญญาณพีซีเอ็ม กล่าวอย่างกว้างๆก็คือ ระบบพีซีเอ็มเป็นการจัดการสัญญาณพัลส์แอมพลิจูดมอดูเลชัน (Pulse Amplitude Modulation : PAM) โดยการนำสัญญาณพีเอเอ็มไปทำการเข้ารหัส (coding) เป็นสัญญาณดิจิทัล หลังจากนั้นจึงนำสัญญาณดิจิทัลที่ได้นั้นส่งผ่านระบบต่อไปและทางด้านรับก็จะทำการถอดรหัส (decoding) เป็นสัญญาณพีเอเอ็ม แล้วนำไปคิโมดูลेटเพื่อให้ได้สัญญาณเดิมกลับมา

ในการส่งโดยระบบพีซีเอ็มนั้นต้องส่งด้วยจำนวนบิต 8 บิต แต่ยังมีวิธีการเข้ารหัสอีกแบบหนึ่ง ที่ทำการส่งด้วยรหัสสั้นกว่า 8 บิต คือการเข้ารหัสสัญญาณเสียงแบบอแด็ปทีฟวีคิฟเฟอร์เรนเซียลพัลส์โค้ดมอดูเลชัน ส่งผลให้การและถอดรหัสสัญญาณมีความเร็วมากขึ้น แต่ประสิทธิภาพเท่าเดิม

กระบวนการเข้าและถอดรหัสของระบบพีซีเอ็มสามารถอธิบายองค์ประกอบแต่ละส่วนของระบบได้ดังนี้

## 1. การชักตัวอย่าง

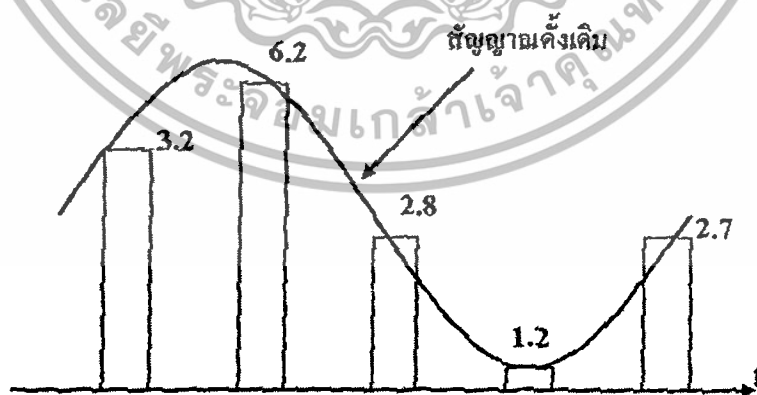


รูปที่ 2.8 การชักตัวอย่างสัญญาณเสียง

การชักตัวอย่าง (sampling) คือการทำสัญญาณซึ่งมีค่าต่อเนื่องให้เป็นแบบดิสครีต ในช่วงเวลาที่เท่าๆกัน ดังรูปที่ 2.8 และจากทฤษฎีการชักตัวอย่าง ถ้าเก็บตัวอย่าง (sample) ด้วยอัตรา 2 เท่าหรือมากกว่าความถี่สูงสุดของสัญญาณแอนะล็อกแล้วจะทำให้สัญญาณเดิมกลับคืนมาได้ เนื่องจากสัญญาณเสียงสนทนาที่พบถูกจำกัดให้มีความถี่ระหว่าง 300 - 3400 Hz ดังนั้นอัตราการชักตัวอย่างต่ำสุดจะต้องเท่ากับ 6.8 kHz สำหรับในทางปฏิบัติจะใช้ 8 kHz คือการชักตัวอย่างทุกๆ 125 us

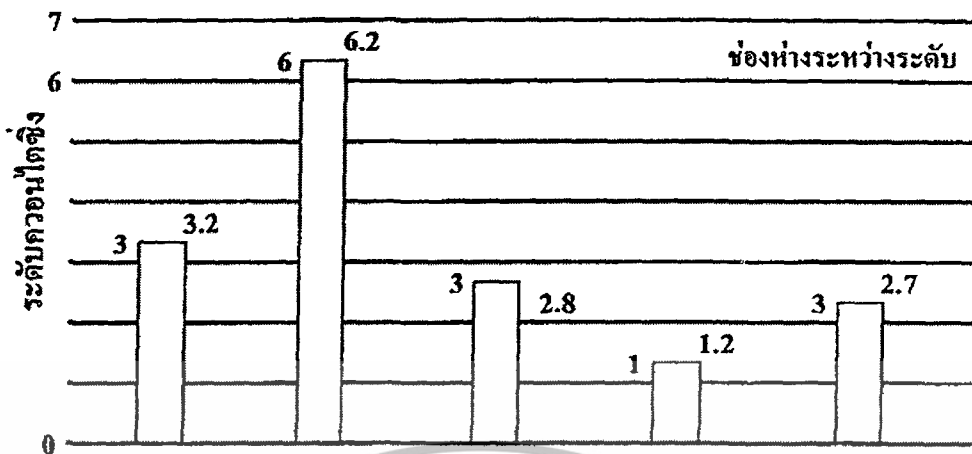
## 2. การจัดระดับ

ขบวนการพัลส์ที่เอเอ็มที่ผ่านการชักตัวอย่างมาแล้ว ยังถือว่าเป็น สัญญาณชนิดแอนะล็อกอยู่ คือจะมีแอมพลิจูดที่เปลี่ยนแปลงอย่างต่อเนื่องไปกับเวลาที่เป็นช่วง ๆ การจัดระดับคือกระบวนการที่เปลี่ยนแปลงแอมพลิจูดของพัลส์ที่เอเอ็มเหล่านั้นให้เป็นตัวเลขแบบดิสครีต ดังแสดงในรูปที่ 2.9



รูปที่ 2.9 สัญญาณแอนะล็อกดั้งเดิมก่อนทำการจัดระดับสัญญาณ

เอกสารนี้เป็นเอกสารที่สงวนไว้สำหรับการใช้งานเพื่อการศึกษาเท่านั้น ไม่อนุญาตให้นำไปใช้ประโยชน์ด้านการค้า ไม่ว่าจะกรณีใดๆทั้งสิ้น อีกทั้งห้ามมิให้ดัดแปลงเนื้อหา และต้องอ้างอิงถึงเจ้าของเอกสารทุกครั้งที่มีการนำไปใช้



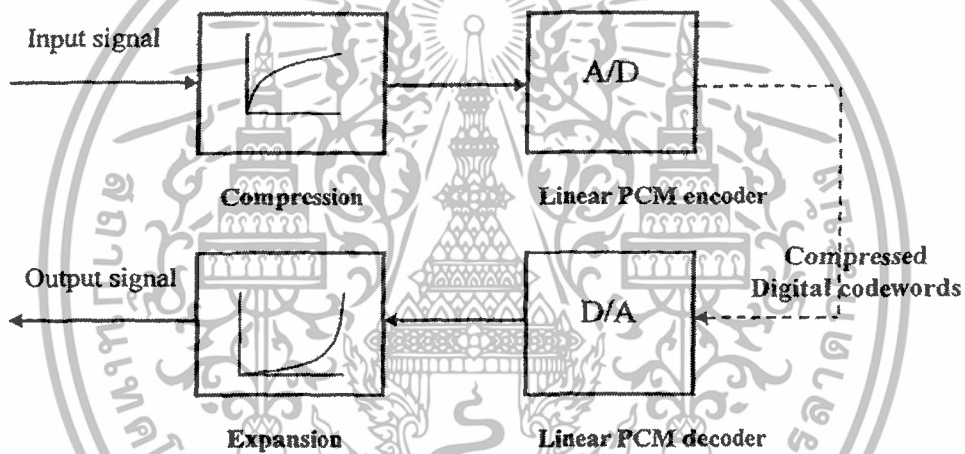
รูปที่ 2.10 สัญญาณดิจิทัลหลังขณะทำการจัดระดับสัญญาณ

จากรูปที่ 2.10 แอมพลิจูดของการซีกตัวอย่างทุกตัวของพีเอเอ็มจะถูกจัดให้เป็นระดับ ซึ่งเรียกว่า ระดับการควอนไทซ์ (quantize level) โดยมีระยะห่างระหว่างระดับข้างเคียง เรียกว่า ควอนไทซ์ซึ่งอินเทอร์วัล (quantizing interval) เท่ากัน กรณีนี้เรียกว่าการจัดแบบยูนิฟอร์ม (uniform quantizing) ขนาดของแซมเปิลส์ทุกตัวจะแสดงด้วยระดับการควอนไทซ์ที่ใกล้เคียงที่สุด เช่น ขนาดของแซมเปิลส์ที่  $t = t_1$  คือ 3.2 จะจัดให้เป็นระดับ 3 หรือค่าแซมเปิลส์ที่  $t = t_2$  มีขนาด 6.2 จะจัดให้เป็น 6 เป็นต้น จะเห็นได้ว่าสัญญาณพีเอเอ็มที่ถูกจัด ระดับแล้วนี้จะเป็นเพียงค่าโดยประมาณของสัญญาณแอนะล็อกเท่านั้น ดังนั้นส่วนเกินและส่วนขาดจากการจัดระดับจึงเป็นค่าผิดพลาด าระหว่างสัญญาณเดิมและค่าที่จัดระดับ ซึ่งค่าผิดพลาดนี้เรียกว่า ควอนไทซ์ซึ่งนอยส์ (quantizing noise) หรือค่าความผิดเพี้ยนจากการควอนไทซ์ (quantizing distortion)

จากหลักการที่กล่าวมานี้ ในทางปฏิบัติจะไม่สามารถหลีกเลี่ยงควอนไทซ์ซึ่งนอยส์ได้ แต่เพื่อรักษาคุณภาพเสียงในการสนทนาให้ดี จึงจำเป็นต้องทำการควอนไทซ์ซึ่งนอยส์นี้ให้น้อยลง ในเบื้องต้นคือการลดควอนไทซ์ซึ่งนอยส์อินเทอร์วัลให้แคบลงก็สามารถลดควอนไทซ์ซึ่งนอยส์ได้

### 3. คอมแพนดิง

ตามที่ได้อธิบายมาแล้วว่าเราไม่สามารถหลีกเลี่ยงควอนไทซ์ซึ่งนอยส์ได้ แต่เราสามารถทำให้มันลดลงได้โดยการควอนไทซ์ซึ่งนอยส์อินเทอร์วัล หรือการเพิ่มจำนวนระดับนั่นเอง แต่เมื่อจำนวนระดับเพิ่มขึ้นแล้วจำนวนบิตที่ใช้ก็เพิ่มขึ้นด้วย จึงจำเป็นต้องใช้ความเร็วในการส่งสัญญาณดิจิทัลที่สูงขึ้น ตามปกติควอนไทซ์ซึ่งนอยส์จะเกิดขึ้นสม่ำเสมอในทุกอินเทอร์วัลโดยไม่เกี่ยวข้องกับแอมพลิจูดของสัญญาณเดิม ในกรณีที่สัญญาณมีระดับสูง คุณภาพการเข้ารหัสของสัญญาณเสียงจะดีกว่าของสัญญาณซึ่งมีระดับต่ำ ดังนั้นจึงจำเป็นต้องพิจารณาควอนไทซ์ซึ่งนอยส์ในบริเวณที่สัญญาณมีระดับต่ำ การจัดแบบนอนยูนิฟอร์ม (non-uniform quantizing) คือบริเวณที่สัญญาณมีแอมพลิจูดต่ำจะควอนไทซ์ซึ่งอินเทอร์วัลแคบๆ และในทางตรงกันข้าม บริเวณที่สัญญาณแอมพลิจูดสูงจะใช้ควอนไทซ์ซึ่งอินเทอร์วัลกว้างๆ ซึ่งการทำให้เป็นแบบนอนยูนิฟอร์มนั้นจะใช้หลักการคอมแพนดิงเข้าช่วย ดังรูปที่ 2.11

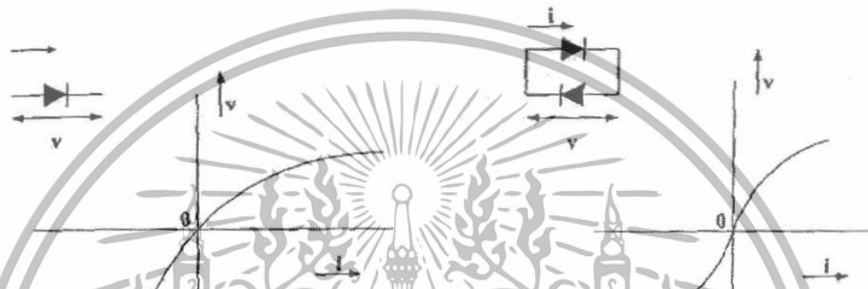


รูปที่ 2.11 การแทรกชั้นตอนของการอัดสัญญาณและการบีบอัดสัญญาณลงในระบบพีซีเอ็ม

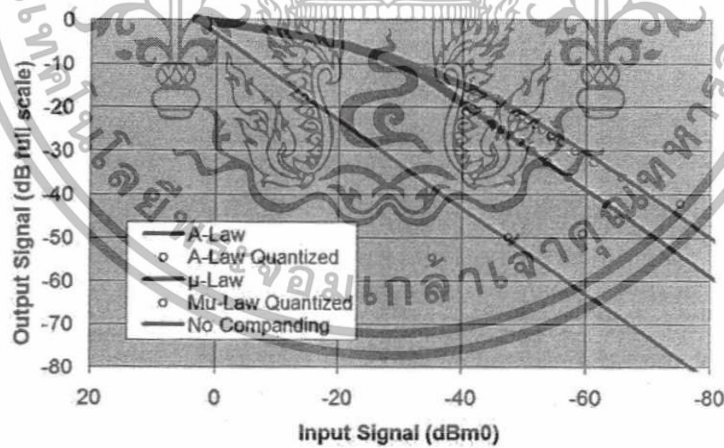
การทำการคอมแพนดิงเมื่อนำมาใช้ในระบบพีซีเอ็มจะทำให้ประสิทธิภาพในการใช้จำนวนบิตในการเข้ารหัสสูงขึ้น กรณีที่จัดระดับแบบยูนิฟอร์มนั้นจะต้องใช้ประมาณ 2,000 ระดับ จึงจะสามารถรักษาคุณภาพของเสียงให้ดี ในการเข้ารหัสต้องใช้ถึง 11 บิตต่อหนึ่งแซมเปิ้ล แต่ถ้าใช้แบบนอนยูนิ-ฟอร์มแล้วจะใช้เพียง 7 บิต ซึ่งจะมีระดับเพียง 128 ระดับเท่านั้น ก็เพียงพอที่จะทำให้อัตราส่วนของสัญญาณต่อการควอนไทซ์ซึ่งนอยส์ใกล้เคียงกับการจัดระดับแบบยูนิฟอร์ม CCITT กำหนดให้ใช้ 8 บิต ต่อแซมเปิ้ล 1 ตัว และระดับการควอนไทซ์เท่ากับ 256 ระดับ ก็จะเป็นการรับรองว่าเสียงพูดจะมีคุณภาพดี

ลักษณะของการคอมเพรสเซอร์นั้นจะแสดงเป็นแบบลอการิทึม รูปแบบโดยทั่วไปจะใช้คุณสมบัติของ V-I ของไดโอด ตามรูปที่ 2.11 กรณีที่ใช้คอมเพรสเซอร์จะมีกระแส  $I$  เป็นอินพุต โวลเตจ  $V$  เป็นเอาต์พุต สำหรับกรณีที่ใช้อ็วเวอร์เพนเคอร์จะมีโวลเตจเป็นอินพุต และกระแสเป็นเอาต์พุต

คุณลักษณะของการคอมเพรสเซอร์ที่ใช้สำหรับการเข้ารหัส สัญญาณเสียงในปัจจุบันคือ  $\mu$ -law ซึ่งในทวีปอเมริกาเหนือและญี่ปุ่นเป็นหลัก โดยที่ค่า  $\mu$  ที่ใช้คือ 255 สำหรับในประเทศยุโรปและประเทศไทยใช้  $A$ -law ซึ่งโดยหลักการจะเหมือนกับกับกฎ  $\mu$ -law แต่รายละเอียดจะแตกต่างกัน โดยค่า  $A$  ที่ใช้คือ 87.6 คุณลักษณะทั้งสองนี้แสดงไว้ในรูปที่ 2.12 เฉพาะกรณี  $\mu = 255$  และ  $A = 87.6$



รูปที่ 2.12 คุณลักษณะการคอมเพรสชันของไดโอด

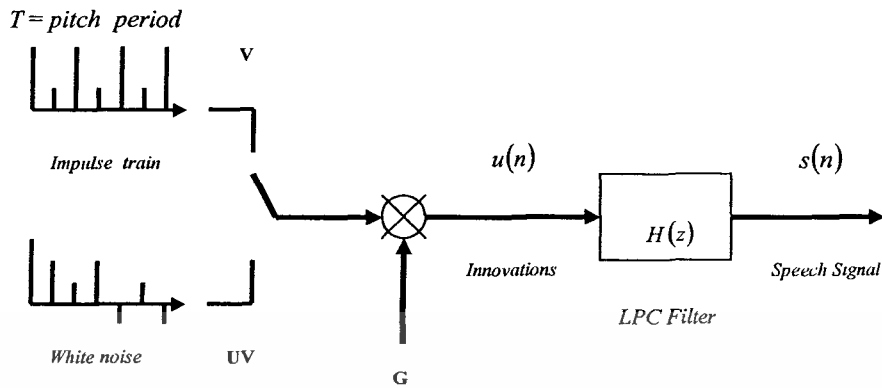


รูปที่ 2.13 แบบอย่างคุณลักษณะของการคอมเพรสชัน

กรณีที่  $\mu = 100$  จะใช้คอมเพรสเซอร์ตามรูปที่ 2.11 แต่กรณีที่  $\mu = 255$  และ  $A = 87.6$  จะใช้วงจรคอมเพรสเซอร์ที่มีคุณลักษณะเป็นเส้นตรง โดยแยกออกเป็นส่วนๆ เรียกว่าเซกเมนต์ (segment)

เอกสารนี้เป็นเอกสารที่สงวนไว้สำหรับการใช้งานเพื่อการศึกษาเท่านั้น ไม่อนุญาตให้นำไปใช้ประโยชน์ด้านการค้า ไม่ว่าจะกรณีใดๆทั้งสิ้น อีกทั้งห้ามมิให้ดัดแปลงเนื้อหา และต้องอ้างอิงถึงเจ้าของเอกสารทุกครั้งที่มีการนำไปใช้

2.1.5 การสังเคราะห์เสียงเชิงคณิตศาสตร์



รูปที่ 2.14 แสดงการสังเคราะห์สัญญาณเสียง

จากรูปที่ 2.14 แสดงแบบจำลองทางคณิตศาสตร์สำหรับการสังเคราะห์เสียง โดยอธิบายได้ดังนี้

- สัญญาณเสียงที่สังเคราะห์ขึ้น ได้จากการนำสัญญาณเสียงที่มีลักษณะเป็นคาบ (voiced) และสัญญาณเสียงที่ไม่เป็นคาบ (unvoiced) มาทำการมอดูเลชัน และผ่านวงจรกรอง
- เปรียบเทียบความสัมพันธ์ระหว่างรูปแบบทางกายภาพของเสียงกับรูปแบบทางคณิตศาสตร์ได้ดังต่อไปนี้

ตารางที่ 2.2 ความสัมพันธ์ระหว่างรูปแบบทางกายภาพกับรูปแบบทางคณิตศาสตร์ของสัญญาณเสียง

รูปแบบทางกายภาพ	รูปแบบทางคณิตศาสตร์
ลม (Air)	$u(n)$ (Innovations)
การสั่นของเส้นเสียง (Vocal Cord Vibration)	$V$ (Voiced)
คาบการสั่นของเส้นเสียง (Vocal Cord Vibration Period)	$T$ (Pitch period)
เสียงที่ไม่มีการสั่นของเส้นเสียง (Fricatives and Plosives)	$UV$ (Unvoiced)
ปริมาณของลมที่ออกจากปอด (Air Volume)	$G$ (Gain)

1. การหาสัมประสิทธิ์ของวงจรกรอง

แนวคิดของการหาสัมประสิทธิ์ของวงจรกรอง LP คือการประมาณให้ตัวอย่างของเสียงที่เวลาใดๆ  $s(n)$  สามารถประมาณค่าได้จากการทำความเป็นไปได้เชิงเส้น (linear combination) ของตัวอย่างสัญญาณเสียงอินพุตก่อนหน้าจำนวน  $p$  ตัวอย่าง ดังสมการที่ (2.13)

เอกสารนี้เป็นเอกสารที่สงวนไว้สำหรับการใช้งานเพื่อการศึกษาเท่านั้น ไม่อนุญาตให้นำไปใช้ประโยชน์ด้านการค้า ไม่ว่าจะกรณีใดๆทั้งสิ้น อีกทั้งห้ามมิให้ดัดแปลงเนื้อหา และต้องอ้างอิงถึงเจ้าของเอกสารทุกครั้งที่มีการนำไปใช้

$$s(n) \approx a_1 s(n-1) + a_2 s(n-2) + \dots + a_p s(n-p) \quad (2.13)$$

ซึ่งสัมประสิทธิ์ของ  $a_1, a_2, \dots, a_p$  นั้นถือว่ามีค่าคงที่ในช่วงเฟรมที่ทำการวิเคราะห์ เราสามารถแปลงสมการที่ (2.13) จากการประมาณให้เป็นเท่ากับได้โดยเพิ่มสัญญาณกระตุ้นเข้าไปตั้งสมการที่ (2.14)

$$s(n) = \sum_{i=1}^p a_i s(n-i) + Gu(n) \quad (2.14)$$

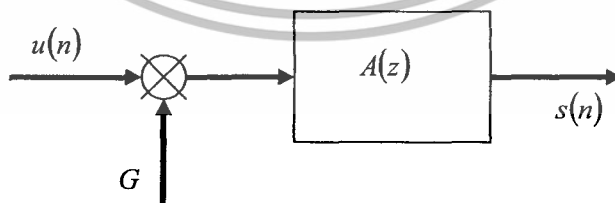
โดยที่  $u(n)$  เป็นสัญญาณกระตุ้นที่ถูกทำให้เป็นหนึ่งหน่วย (normalize) แล้ว เมื่อ  $G$  เป็นอัตราขยายของสัญญาณกระตุ้น ซึ่งหากพิจารณาสมการดังกล่าวบนโดเมนของ  $Z$  จะได้ความสัมพันธ์ดังนี้

$$S(z) = \sum_{i=1}^p a_i z^{-i} S(z) + GU(z) \quad (2.15)$$

ทำให้เราได้ฟังก์ชันถ่ายโอนเป็น

$$H(z) = \frac{S(z)}{GU(z)} = \frac{1}{1 - \sum_{i=1}^p a_i z^{-i}} = \frac{1}{A(z)} \quad (2.16)$$

ความหมายของสมการนี้แสดงได้ด้วยรูปที่ 2.15 ซึ่งแหล่งกำเนิดของสัญญาณกระตุ้นปล่อยสัญญาณกระตุ้น  $u(n)$  ออกมา สัญญาณจะถูกขยายด้วยค่า  $G$  และกลายเป็นสัญญาณอินพุตที่ป้อนให้กับวงจรกรอง เพื่อสร้างสัญญาณเสียง  $s(n)$  ออกมา จากความรู้ในปัจจุบันเราพบว่าสัญญาณกระตุ้นของเสียงพูดนั้นเป็นแบบพัลส์เทรน (pulse train) หรือสัญญาณเสียงที่เป็นคาบ (voiced sound) หรือเป็นสัญญาณแบบตุ่ม (unvoiced sound) ส่วนวงจรกรองนั้นเป็นการทำงานที่ผสมผสานกันของอวัยวะต่างๆ ที่ใช้ออกเสียง (ช่องคอ, ทางเดินอากาศ, ช่องปาก และลิ้น)



รูปที่ 2.15 บล็อกไดอะแกรมของการแปลงเสียง

เอกสารนี้เป็นเอกสารที่สงวนไว้สำหรับการใช้งานเพื่อการศึกษาเท่านั้น ไม่อนุญาตให้นำไปใช้ประโยชน์ด้านการค้า ไม่ว่าจะกรณีใดๆทั้งสิ้น อีกทั้งห้ามมิให้ดัดแปลงเนื้อหา และต้องอ้างอิงถึงเจ้าของเอกสารทุกครั้งที่มีการนำไปใช้

การประมาณความเป็นไปได้เชิงเส้นของสัญญาณเสียงในอดีต โดยนิยามค่าของสัญญาณที่ประมาณจะแสดงด้วยสมการที่ (2.17) ดังนี้

$$\tilde{s}(n) = \sum_{i=1}^p a_i s(n-i) \tag{2.17}$$

ค่าความผิดพลาดในการประมาณ  $e(n)$  แสดงได้โดยสมการที่ (2.18)

$$e(n) = s(n) - \tilde{s}(n) = s(n) - \sum_{k=1}^p a_k s(n-k) \tag{2.18}$$

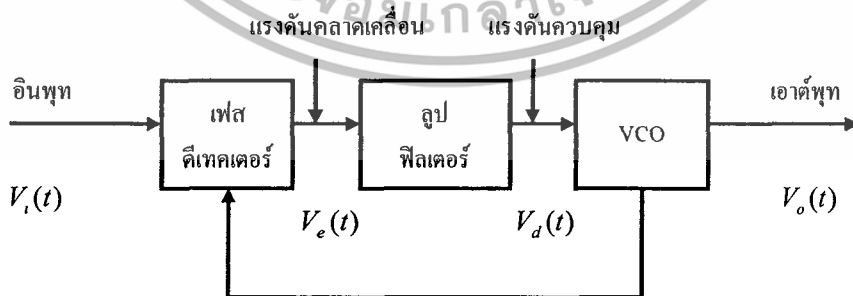
โดยที่มีค่าความผิดพลาดของฟังก์ชันถ่ายโอน (error transfer function) ดังสมการที่ (2.19)

$$A(z) = \frac{E(z)}{S(z)} = 1 - \sum_{k=1}^p a_k z^{-k} \tag{2.19}$$

ดังนั้นเมื่อให้  $s(n)$  เป็นสัญญาณจริง ที่ถูกสร้างขึ้นมาจากระบบเชิงเส้นตามสมการที่ (2.14) จะพบว่า  $e(n)$  จะมีค่าเท่ากับสัญญาณกระตุ้นที่ถูกขยายแล้ว  $Gu(n)$

### 2.1.6 เฟสล็อกกลูป

เฟสล็อกกลูปเป็นระบบป้อนกลับ (feedback system) ที่บังคับให้วงจรรอสซซิลเลเตอร์มีความถี่หรือเฟสเปลี่ยนแปลงไปตามความถี่ หรือเฟสของสัญญาณอ้างอิงภายนอก เฟสล็อกกลูปประกอบด้วย ภาคสำคัญ 3 ภาค คือ ภาคเทียบเฟสหรือเฟสดีเทคเตอร์ ภาคลูปฟิลเตอร์ และภาค VCO (Voltage Controlled Oscillator) ดังรูปที่ 2.16



รูปที่ 2.16 แผนผังของเฟสล็อกกลูป

สมมุติว่าสัญญาณความถี่อ้างอิงภายนอกเป็นสัญญาณรบกวนมาที่อินพุท ภาคเทีย ขบเฟสทำหน้าที่เปรียบเทียบบเฟสระหว่างสัญญาณอ้างอิงกับสัญญาณจาก VCO เอาต์พุทที่ได้จากภาคเฟสดีเทคเตอร์จะเป็นแรงดันที่มีแอมพลิจูดเป็นสัดส่วนกับผลต่างในเฟสของสัญญาณทั้งสอง ที่ทำการเปรียบเทียบบแรงดันผลต่างนี้ป้อนไปให้วงจรรูปฟิลเตอร์ซึ่งเป็นฟิลเตอร์ขึงกรองความถี่ต่ำ ผ่านเอาต์เฉพาะความถี่ต่างๆที่ต้องการ เพื่อส่งไปควบคุมการออสซิลเลเตอร์ของ VCO ต่อไป

เมื่อลูปอยู่ในสภาวะล็อก (lock) ความถี่ของ VCO จะเท่ากับความถี่ของสัญญาณอินพุทพอดี อาจจะมีเฟสแตกต่างไป แต่ค่าเฟสที่แตกต่างจะมีค่าคงที่ (constant phase difference) ในกรณีที่มีเฟสไม่ตรงกันภาคเฟสดีเทคเตอร์จะจ่ายแรงดันคลาดเคลื่อน (error voltage) ไปควบคุมการทำงานของ VCO เพื่อมิให้เฟสคลาดเคลื่อนจนกว่าจะเข้าสู่สภาวะล็อก เอาต์พุทของ VCO จึงมีแอมพลิจูดคงที่เสมอ แต่ความถี่จะเปลี่ยนแปลงตามความถี่ของสัญญาณอินพุท

จากที่ได้กล่าวมาแล้ว เราอาจจะอธิบายการทำงานในลักษณะสมการทางไฟฟ้าได้อีกดังนี้ คือ เมื่อไม่มีสัญญาณเข้า ( $V_i = 0$ ) แรงดัน  $V_d$  และ  $V_i$  (ที่ใช้ควบคุม VCO) จะเป็นศูนย์ VCO จะกำเนิดสัญญาณความถี่หนึ่งเรียกว่า ความถี่อิสระ (free running frequency)  $f_0$  เมื่อใส่สัญญาณเข้าที่  $V_i$  ที่วงจรกรองความถี่ต่ำผ่าน แรงดัน  $V_d$  ที่ใช้ควบคุม VCO จะยังคงเป็นศูนย์ และ VCO ยังคงทำงานที่ความถี่  $f_0$  ถ้า  $f_i$  ไม่ต่างจาก  $f_0$  มากนัก นั่นคือ  $|f_i - f_0| \leq \Delta f_p$  ( $2\Delta f_p$  มีชื่อว่าช่วงดึงเข้าหรือ pull-in range) สัญญาณ  $V_d$  จะมีลักษณะไม่สมมาตร กล่าวคือมีองค์ประกอบไฟตรงไม่เท่ากับ 0  $V_d$  จะค่อยๆเพิ่มค่าขึ้นและหลังจากช่วงเวลาหนึ่งเรียกว่า เวลาดึงเข้า (pull-in time) ความถี่  $f_d$  ที่ค่อยๆปรับไปยังค่า  $f_i$  จะต่างจาก  $f_i$  เพียง  $|f_i - f_0| = \Delta f_p$  ( $2\Delta f_p$  มีชื่อว่าช่วงจับหรือ capture range) ถึงตอนนี้  $f_0$  จะแปรเข้าสู่ค่า  $f_i$  อย่างรวดเร็วกลับพลัน เรียกว่าเกิดการล็อก  $V_d$  ก็จะเปลี่ยนแปลงกลับพลันเช่นกัน ทั้งนี้สำหรับ VCO โดยทั่วไปความถี่  $f_0$  เป็นปฏิภาคกับการบายนเบนจากความถี่อิสระ ดังสมการที่(2.20) นั่นคือ

$$f_0 - f_i = k_0 V_d k_0 V_d \quad (2.20)$$

โดยที่ค่า  $k_0$  เรียกว่าความไวของ VCO มีหน่วยเป็น  $\frac{\text{rad/s}}{V}$

การได้มาซึ่งการล็อกอาจใช้วิธีได้ดังนี้

1. ณ ขณะหนึ่ง ความถี่ของ VCO ต่างจากความถี่ขาเข้า  $f_i$  น้อยกว่า  $\Delta f_c$  จะเกิดการล็อกโดยหับพลันเรียกว่า เกิดการจับ (capture)
2. ณ ขณะหนึ่ง ความถี่ของ VCO ต่างจากความถี่ขาเข้า  $f_i$  มากกว่า  $\Delta f_c$  แต่น้อยกว่า  $\Delta f_p$  ความถี่ของ VCO จะค่อยๆเลื่อนเข้าหาความถี่  $f_i$  เรียกว่า เกิดการดึงเข้า (pull-in)

3. นอกช่วงดึงเข้าหรือในกรณีที่การดึงเข้าใช้เวลาเกินไป อาจเพิ่มวงจรถ่วงเพื่อควบคุมให้ความถี่ของ VCO กว้างไปเพื่อเสาะหาความถี่ของสัญญาณ หรือ ถ้าเสียบรรณน้อย ก็อาจเพิ่มแถบความถี่ของรอบ (tracking) ความถี่ของ VCO จะสามารถตามรอยความถี่  $f_i$  ได้ครบใดที่  $|f_i - f_\infty| = 2\Delta f_H (2\Delta f_H$  มีชื่อว่าช่วงคงไว้หรือช่วงล็อก)

เราสามารถนำเฟสล็อกกลับไปใช้ในการสังเคราะห์ หรือผลิตความถี่ที่มีความเที่ยงตรง และมีเสถียรภาพเทียบเท่าสัญญาณอ้างอิงได้ วงจรนี้เรียกว่า วงจรสังเคราะห์ความถี่ ระบบสังเคราะห์ความถี่จะช่วยให้เราสามารถสังเคราะห์สัญญาณเอาต์พุตจาก VCO ให้มีความถี่ตามต้องการได้หลายความถี่โดยมีความเที่ยงตรงและเสถียรสูงเทียบเท่าคริสตอลออสซิลเลเตอร์

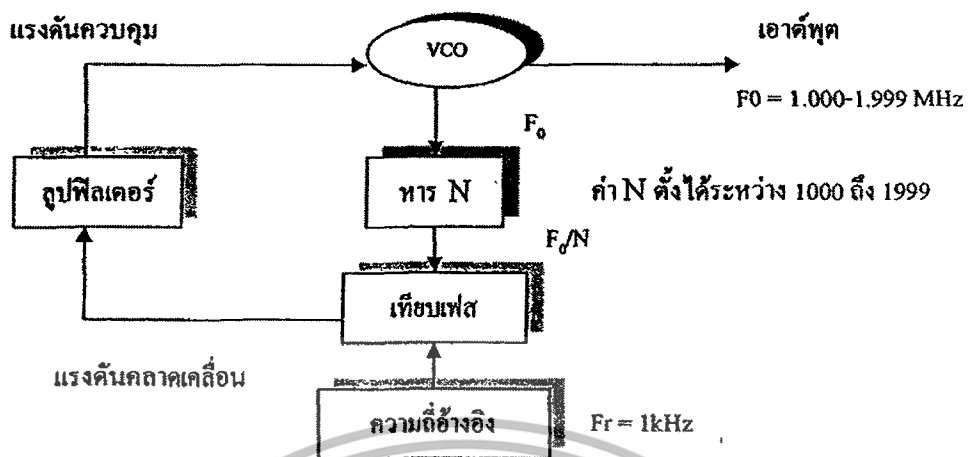
### 1. คุณสมบัติของวงจรถ่วงความถี่

นอกจากวงจรถ่วงความถี่จะต้องมีคุณสมบัติเกี่ยวกับช่วงความถี่ (frequency range) ที่ต้องผลิตและเรโซลูชันระหว่างขั้นแล้ว คุณสมบัติอื่นๆของวงจรถ่วงความถี่ก็มีความสำคัญเช่นกัน

โดยปกติวงจรถ่วงความถี่จะสามารถกำหนดสัญญาณเพียงสัญญาณเดียวแต่เลือกความถี่ได้หลายค่า ในช่วงความถี่ใช้งาน และมีความละเอียดของความถี่ขึ้นอยู่กับเรโซลูชัน ในกรณีที่เรเปลี่ยนหลายค่า ในช่วงความถี่ใช้งาน และมีรายละเอียดของความถี่ขึ้นอยู่กับเรโซลูชัน ในกรณีที่เรเปลี่ยนความถี่จากค่าหนึ่งไปยังอีกค่าหนึ่ง วงจรถ่วงความถี่จะต้องเปลี่ยนตามได้เร็วทันที กล่าวอีกอย่างหนึ่งคือ ล็อกความถี่ได้ในเวลาอันรวดเร็ว นั่นคือ ช่วงเวลาล็อก (lock-up time) สั้น คุณสมบัติการล็อกความถี่ใหม่ได้รวดเร็วนั้นมีความจำเป็นอย่างยิ่ง

วงจรถ่วงความถี่ที่ดี จะต้องสามารถผลิตสัญญาณความถี่เดียว โดยปราศจากความถี่แปรปรวนต่างๆ คุณสมบัตินี้เรียกว่า ความบริสุทธิ์ของสเปกตรัม (spectrum purity) นั่นคือความถี่ฮาร์มอนิกและสปีวี่รียต่างๆนั้น จะต้องถูกกำจัดออกให้เหลือน้อยที่สุด นอกจากนี้เอนอส์จากวงจรรออสซิลเลเตอร์จะทำให้วงจรถ่วงความถี่ไม่บริสุทธิ์ ไม่ใช่เพียงความถี่เดียว ในช่วงใกล้เคียงกับความถี่ที่ต้องการ นอยส์ดังกล่าวนี้เรียกว่า เฟสเนอส์ (phase noise)

ความเที่ยงตรง (accuracy) และเสถียรภาพ (stability) ทางความถี่ของวงจรถ่วงความถี่ขึ้นอยู่กับสัญญาณอ้างอิง โดยทั่วไปสัญญาณอ้างอิงมักจะเป็นวงจรรออสซิลเลเตอร์ชนิดใช้เรบั้งดับความถี่ ฉะนั้นวงจรถ่วงความถี่จะมีเสถียรภาพ และความเที่ยงตรงเทียบเท่ากับคริสตอลออสซิลเลเตอร์



รูปที่ 2.17 แผนผังของหน่วยสังเคราะห์ความถี่

## 2. การใช้เฟสล็อกในการสังเคราะห์ความถี่

แม้ว่าระบบสังเคราะห์ความถี่จะมีความซับซ้อนเพียงใด เมื่อพิจารณาถี่กลงไปแล้วจะพบว่า มีเฟสล็อกเป็นหัวใจในการสังเคราะห์ความถี่เสมอ รูปที่ 2.17 เป็นตัวอย่างของระบบสังเคราะห์ความถี่อย่างง่าย ประกอบด้วย 5 ภาค คือ

1. VCO เป็นออสซิลเลเตอร์กำเนิดสัญญาณเอาต์พุตของระบบสังเคราะห์ความถี่
2. ภาคหารความถี่อ้างอิงคริสตอลจากออสซิลเลเตอร์หรือสัญญาณอื่นๆ
3. ภาคเทียบเฟส
4. ภาคความถี่อ้างอิง
5. ภาคฟิลเตอร์ซึ่งทำหน้าที่กรองเอาเฉพาะความถี่ต่ำไปใช้

### ภาคเฟสดีเทกเตอร์

จากรูปจะเห็นว่าสัญญาณอินพุตของภาคเทียบเฟสจาก 2 แหล่งคือ

1. จาก VCO มีความถี่เท่ากับ  $F_0/N$
2. จากสัญญาณอ้างอิงมีความถี่เท่ากับ  $F_0$

เอาต์พุตที่ได้จากการเปรียบเทียบเฟสก็คือ ผลต่างระหว่างสัญญาณ  $F/N$  กับ  $F$  ซึ่งจะกรองเฉพาะความถี่ต่ำเท่านั้น เพื่อบังคับการออสซิลเลตของวงจร VCO ให้ทำการปรับแก้ความถี่ (หรือเฟส) ให้ตรงจนกว่าความถี่ของสัญญาณทั้งสองจะเท่ากันในสภาวะล็อกความถี่ของ VCO เพื่อผ่านวงจรหาร จะเท่ากับความถี่อ้างอิง นั่นคือ

$$F = N \times F_r \quad (2.21)$$

เอกสารนี้เป็นเอกสารที่สงวนไว้สำหรับการใช้งานเพื่อการศึกษาเท่านั้น ไม่อนุญาตให้นำไปใช้ประโยชน์ด้านการค้า ไม่ว่าจะกรณีใดๆทั้งสิ้น อีกทั้งห้ามมิให้ดัดแปลงเนื้อหา และต้องอ้างอิงถึงเจ้าของเอกสารทุกครั้งที่มีการนำไปใช้

### ภาคออสซิลเลเตอร์แบบควบคุมความถี่ด้วยระดับแรงดัน ( $V_{cc}$ )

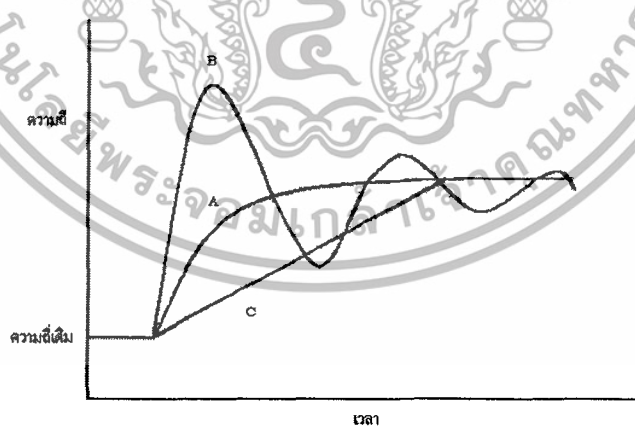
วงจร VCO นั้นมีความสำคัญมากในระบบเฟสล็อกลูป เพราะจะเป็นตัวกำหนด เสถียรภาพเชิงความถี่ จะต้องมีคุณสมบัติต่อไปนี้คือ

1. การแปลแรงดันเป็นความถี่มีลักษณะเป็นเชิงเส้น
2. มีเสถียรภาพเชิงความถี่
3. ทำงานได้ที่ความถี่สูง
4. ช่วงตามรอยกว้าง
5. ปรับคลื่นได้ง่าย

คุณสมบัติเหล่านี้มักไม่พบใน VCO ที่เป็นตัวเดียวกัน ดังนั้นเราต้องเลือกชนิดของ VCO ตามคุณสมบัติที่เราต้องการ

### ภาคลูปฟิลเตอร์

เป็นวงจรฟิลเตอร์ชนิดกรองความถี่ต่ำผ่าน ทำหน้าที่กรองเฉพาะความถี่ต่ำมาควบคุมความถี่ ของ VCO และในที่นี้เราใช้ลูปฟิลเตอร์ประเภทพาสซีฟ ลูปฟิลเตอร์นี้เป็นตัวกำหนดคุณสมบัติการ เปลี่ยนแปลงความถี่ก่อนเข้าสู่สถานะล็อกที่เรียกว่า คุณสมบัติชั่วคราว ถ้าเลือกอัตราขยายลูปและค่าคง ตัวเวลาของลูปไม่เหมาะสม ความถี่ของเฟสล็อกลูปจะไม่ล็อกและจะเปลี่ยนไปเปลี่ยนมา ดังนั้น ค่า คงตัวเวลาของลูปฟิลเตอร์จะต้องไม่มากเกินไป เพื่อว่าทุกครั้งที่เปลี่ยนความถี่เฟสล็อกลูปจะล็อกได้ เร็ว โดยไม่มีการสับตัดหรือใช้เวลาเปลี่ยนความถี่อย่างรวดเร็ว แต่ค่าคงตัวเวลาก็ไม่ควรจะน้อย เกินไปจนกระทั่งความถี่สั่นหรือไม่นิ่ง



รูปที่ 2.18 คุณลักษณะ ช่วงพลวัต (dynamic range) ในการเปลี่ยนความถี่เฟสล็อกลูป

เอกสารนี้เป็นเอกสารที่สงวนไว้สำหรับการใช้งานเพื่อการศึกษาเท่านั้น ไม่อนุญาตให้นำไปใช้ประโยชน์ด้านการค้า ไม่ว่ากรณีใดๆทั้งสิ้น อีกทั้งห้ามมิให้ดัดแปลงเนื้อหา และต้องอ้างอิงถึงเจ้าของเอกสารทุกครั้งที่มีการนำไปใช้

รูปที่ 2.18 ซึ่งแสดงการเปลี่ยนความถี่ของ VCO จะเห็นว่าเส้นทางการเปลี่ยนแปลงแรงดันมี 3 เส้นทาง เส้นทาง A เป็นเส้นทางหน่วงวิกฤต (critically damped) ใช้เวลาในการเปลี่ยนสู่ความถี่ใหม่น้อยที่สุด เส้นทาง B เรียกว่า เส้นทางหน่วงขาด (undamped) มีการสลับ (หรือ ออสซิลเลต) เนื่องจากจากโอเวอร์ชูต เส้นทาง C เป็นเส้นทางหน่วงเกิน (overdamped) ไม่มีโอเวอร์ชูตแต่เวลาที่ใช้ในการเข้าสู่ความถี่ใหม่จะช้า เส้นทาง A เป็นเส้นทางที่ดีที่สุดในการออกแบบค่าคงตัวเวลาของลูปฟิลเตอร์ เพราะใช้เวลาเปลี่ยนความถี่เร็ว และ ไม่มีโอเวอร์ชูต

#### ภาคหาร N

ภาคหาร N (programmable divider) เวลาที่ใช้ในการลือกความถี่เมื่อมีค่าน้อยที่สุดจะไม่เท่ากับเมื่อมีค่ามากที่สุด วงจรหารเกิดจากวงจรมับฐานสิบ (decade counter) หลายชุดมาต่อร่วมกับเกตต่างๆ เพื่อให้สามารถเลือกสั่งให้วงจรมับทำหน้าที่หารความถี่ได้ตามตัวเลขที่ตั้งไว้ วงจรหาร N นี้เป็นตัวรับคำสั่งเกี่ยวกับความถี่ไปควบคุม VCO เพื่อให้กำเนิดสัญญาณตามที่ต้องการ ตัว N จะเป็นตัวที่กำหนดย่านความถี่และจำนวนช่องความถี่

ลักษณะการป้อนข้อมูล N ให้กับวงจรถหาร N แบบขนาน (parallel) คือข้อมูลแต่ละบิตจะป้อนเข้าพร้อมๆกัน ส่วนลักษณะการป้อนข้อมูล N ให้กับวงจรถหาร N แบบอนุกรมแต่ละบิตจะป้อนเข้าไม่พร้อมกัน วงจรหารประเภทนี้มีความซับซ้อนมากกว่า เพราะต้องมีสัญญาณนาฬิกา มีวงจรถหาร ในการป้อนข้อมูลวงจรถหาร N ประเภทนี้จะควบคุมการทำงานด้วยไมโครคอมพิวเตอร์

ปัญหาสำคัญของซินธิไซเซอร์อีกอย่างหนึ่งก็คือ วงจรถหาร N (หรือวงจรถหารที่โปรแกรมได้) ไม่สามารถทำงานที่ความถี่สูงกว่า 25 MHz ได้ ฉะนั้นเราจึงต้องหาทางลดทอนความถี่ที่ป้อนแก่วงจรถหาร N ลง เพื่อให้วงจรถหารของวงจรถหาร N ทำงานได้ วิธีต่างๆที่นิยมใช้ได้แก่ ใช้ความถี่จากออสซิลเลเตอร์พิเศษ (บางครั้งเรียกว่า ออสซิลเลเตอร์ PLL) มา믹ซ์กับ VCO ให้ความถี่ลดลงก่อนที่จะป้อนให้แก่วงจรถหาร

#### ภาคกำเนิดความถี่อ้างอิง

ภาคกำเนิดความถี่อ้างอิงนิยมใช้คริสตอลออสซิลเลเตอร์ ความถี่ออสซิลเลเตอร์อ้างอิงนี้เป็นตัวกำหนดเรโซลูชันและเสถียรภาพของความถี่อ้างอิงที่ดี จึงทำให้สามารถสังเคราะห์ความถี่ที่มีเสถียรภาพที่ดีด้วย

### 3. การตีมอดูเลตสัญญาณเอฟเอ็มด้วยเฟสล็อกลูป

เฟสล็อกลูปเป็นระบบป้อนกลับ ประกอบด้วยเครื่องกำเนิดสัญญาณที่มีความถี่เปลี่ยนแปลงตามระดับแรงดันขาเข้า (VCO) และส่วนเปรียบเทียบเฟส (phase comparator)

สัญญาณเข้าจะเปรียบเทียบกับสัญญาณอ้างอิง (reference signal) ที่กำเนิดจาก VCO ส่วนเปรียบเทียบกับเฟสจะให้แรงดันขาออกที่มีระดับขึ้นกับความแตกต่างระหว่างเฟสของสัญญาณเข้าทั้งสอง เมื่อผ่านเครื่องกรองความถี่ต่ำผ่านสัญญาณขาออกบางส่วนจะถูกป้อนกลับเพื่อควบคุมการกำเนิดความถี่ของ VCO จนกระทั่งความถี่ทั้งสองสัญญาณเท่ากัน แรงดันที่ป้อนกลับจะคงที่และทำให้ความถี่ทั้งสองเกาะกันไป โดยมีเฟสต่างกันที่ค่าของความถี่กลาง (center frequency หรือ free-running frequency)

ต่อไปนี้จะอธิบายส่วนประกอบที่สำคัญของเฟสล็อก

ส่วนเปรียบเทียบกับเฟส มีอยู่ 2 ชนิดคือ ชนิดแอนะล็อก และชนิดดิจิทัล ชนิดแอนะล็อกสร้างขึ้นโดยใช้ตัวผสม (mixer) หรือตัวคูณ (multiplier) ดังนี้

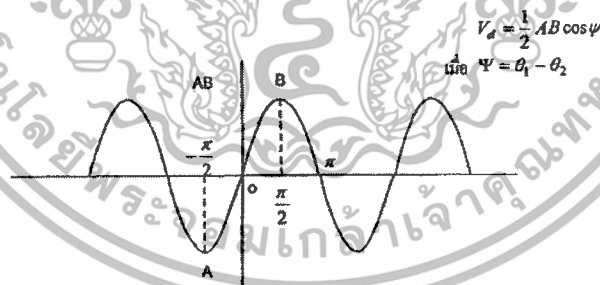
$$V_1(t) = A \sin(\omega_1 t + \theta_1) \quad (2.22)$$

$$V_2(t) = A \sin(\omega_2 t + \theta_2) \quad (2.23)$$

โดย  $V_1(t)$  และ  $V_2(t)$  เป็นสัญญาณขาเข้า ซึ่งจะได้สัญญาณขาออก  $V_d(t)$  ของการคูณดังนี้

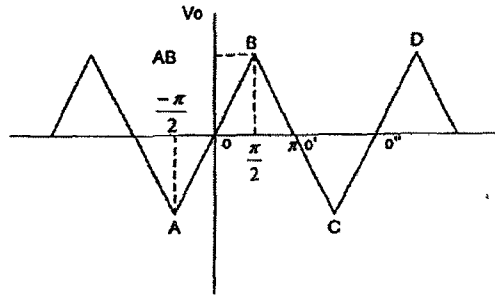
$$V_d(t) = \frac{1}{2} AB \cos[(\omega_1 + \omega_2)t + (\theta_1 + \theta_2)] + \frac{1}{2} AB \cos[(\omega_1 - \omega_2)t + (\theta_1 - \theta_2)] \quad (2.24)$$

เมื่อผ่านเครื่องกรองความถี่ต่ำผ่านก็จะได้สัญญาณขาออก ที่ขึ้นอยู่กับความแตกต่างของเฟส ซึ่งมีลักษณะสมบัติ ดังรูปที่ 2.19



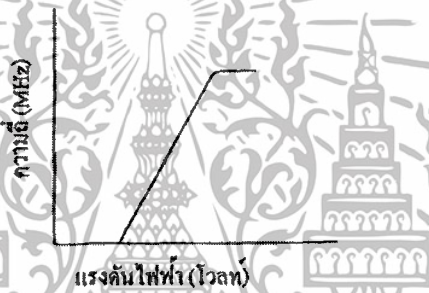
รูปที่ 2.19 ลักษณะสมบัติของส่วนเปรียบเทียบกับเฟสชนิดแอนะล็อก

สำหรับอุปกรณ์เปรียบเทียบชนิดดิจิทัลนั้น สร้างขึ้นได้หลายวิธี เช่น ใช้ เอ็กลูซีฟ-พอร์ หรืออุปกรณ์ชนิดมีความจำ เช่น ใช้ ฟลิป-ฟลอป ซึ่งจะมีลักษณะสมบัติเช่นเดียวกับแบบ แอนะล็อก แต่จะต่างกันที่เป็นเส้นตรง ดังรูปที่ 2.20



รูปที่ 2.20 ลักษณะสมบัติ ส่วนเปรียบเทียบเฟสชนิดจิจิตอล

VCO สามารถสร้างขึ้นได้หลายวิธี ไดโอดคาปาซิแตนซ์ชนิดปรับค่าแรงดัน (voltage variable capacitance diode) ซึ่งจะรู้จักกันในชื่อ วาเรคเตอร์ (varactor) หรือ มัลติไวเบรเตอร์ (multivibrator) ชนิดต่างๆ ที่สามารถควบคุมความถี่ได้ด้วยแรงดัน รูปที่ 2.21 เป็นลักษณะสมบัติทั่วไปของ VCO



รูปที่ 2.21 ลักษณะสมบัติของ VCO

สมมุติให้สัญญาณแอมป์เอ็มเข้าที่ ส่วนเปรียบเทียบเฟส คือ

$$A \cos[\omega_c t + \psi(t)]$$

ให้ความไวทางความถี่ (Frequency Sensitivity) ของ VCO คือ  $K_0$  rad/sec คือค่าของความแตกต่างหรือการเปลี่ยนแปลงของความถี่เชิงมุม ณ ขณะใดขณะหนึ่ง  $\omega_1$  ที่เกิดจากการเปลี่ยนแปลงแรงดัน  $V$  ที่ขาเข้าของ VCO ดังสมการที่ (2.25) นั่นคือ

$$K_0 = \frac{d\omega_1}{dv} \tag{2.25}$$

สัญญาณนี้จะกระตุ้นให้เกิดสัญญาณจากเครื่องสั่นสะท้อนความถี่ (Oscillator) ใน VCO ดังสมการที่ (2.26)

$$B \cos[\omega_c t + K_0 \int_{-\infty}^t V_0(\lambda) d\lambda] \quad (2.26)$$

ถ้าให้สัญญาณขาเข้าและความถี่ของ VCO มีค่าสมมูลเท่ากัน จะได้สมการที่ (2.27)

$$\frac{d\omega(t)}{dt} = \frac{d}{dt} K_0 \int_{-\infty}^t V_0(\lambda) d\lambda \quad (2.27)$$

กำหนดให้  $\frac{d\psi(t)}{dt} = \omega$  จะได้สมการที่ (2.28) นั่นคือ

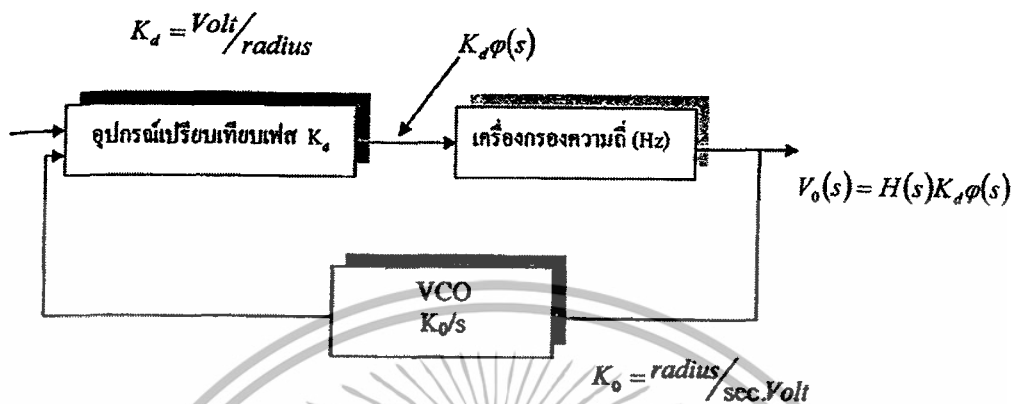
$$V_0(t) = \frac{\omega}{K_0} \quad (2.28)$$

จะเห็นว่าสัญญาณขาออกของ VCO จะผันแปรเป็นสัดส่วนโดยตรงกับการเปลี่ยนแปลงความถี่ที่ต้องการใน เครื่องคิมอคูเลตเอฟเอ็ม ถ้าความถี่ของสัญญาณขาเข้าเปลี่ยนอย่างต่อเนื่องที่อัตราซ้ำพอควรที่จะให้เฟสล็อกปฏิบัติงานในสภาพ สมดุลได้ สัญญาณขาออกของเฟสล็อกก็จะมีผันแปรเป็นสัดส่วนโดยตรงอย่างต่อเนื่องกับการเปลี่ยนแปลงของตัวพา นั่นคือ สัญญาณเอฟเอ็ม สามารถคิมอคูเลตด้วยเฟสล็อกได้ตามต้องการได้

จากลักษณะสมบัติของ VCO และส่วนเปรียบเทียบกับเฟส จะพบว่าทั้ง VCO และเฟสมีขอบเขตจำกัดในการทำงาน กล่าวคือ VCO จะมีความสามารถในการกำเนิดความถี่ได้ภายในช่วงจำกัดช่วงหนึ่งและเฟสคอมพาราเตอร์จะให้ระดับแรงดันที่แตกต่างกันได้ เฉพาะช่วงการทำงานที่มีค่าของมุมแตกต่างกันอยู่ในระหว่าง 0-180 องศา ดังนั้นความถี่ที่จะถูกคักจับได้นั้นจึงอยู่ในขอบเขตจำกัด ช่วงความถี่ของสัญญาณขาเข้าซึ่งเฟสล็อกปฏิบัติงานจึงสามารถคักจับตามสัญญาณได้ นับจากเวลาเริ่มต้นที่คักจับได้เรียกว่า ช่วงล็อก (locked range) ส่วนช่วงความถี่ของสัญญาณขาเข้าซึ่งเฟสล็อกปฏิบัติงานสามารถคักจับได้จากขณะเริ่มต้นความถี่ที่ยังไม่เกาะกัน ดังนั้นช่วงที่ยังไม่เกาะกันจะกว้างกว่าช่วงที่คักจับสัญญาณ

4. ทารานเฟอ์รฟั้งฉัันของลูป

สมมุติให้เป็็นกรณีที่ขั้วออกของลูปอยู่ที่ขั้วออกของเครื่องกรองความถี่



รูปที่ 2.22 วงจรเฟสล็อก

จากรูปที่ 2.22 ได้แทนคุณลักษณะของส่วนประกอบต่างๆ ในรูปที่ ด้วยฟังก์ชัน ถ่ายโอนของแต่ละหน่วย ดังนั้นความสัมพันธ์ระหว่างสัญญาณขาเข้าและขาออกเป็็นดัง สมการที่ (2.29)

$$\frac{V_o(s)}{\phi(s)} = \frac{K_d K_f(s)}{s + K_d K_0 K_f(s)} \tag{2.29}$$

จากสมการ ออเดอ์รของเฟสล็อกจะขึ้นอยู่กั บ ออเดอ์รของเครื่องกรองความถี่ ดังนั้นเสถียรภาพของลูปจะขึ้นอยู่กั บการพิจารณาเลือกใช้ลักษณะสมบัติของเครื่องกรองความถี่ กรณีที่เครื่องกรองความถี่เป็็นลำดับที่หนึ่ง (First Order) ซึ่งเขียนในรูปทั่วไปดังสมการที่ (2.30)

$$K_f(s) = 1 + \frac{a}{s} \tag{2.30}$$

จะได้ฟังก์ชันถ่ายโอนของระบบที่เป็็นลำดับที่สอง (Second-order) ดังสมการที่ (2.31)

$$\frac{V_o(s)}{\phi(s)} = \frac{K_d(s+a)}{s^2 + K_d K_0 s + K_d K_0 a} \tag{2.31}$$

และเขียนเป็็นรูปแบบทั่วไป ตามหลักทฤษฎีควบคุม ได้ ดังสมการที่ (2.32)

$$\frac{V_o(s)}{\phi(s)} = \frac{2\xi\omega_n s + \omega_n^2}{s^2 + 2\xi\omega_n s + \omega_n^2} \quad (2.32)$$

ในที่นี้  $\xi$  คือ ปัจจัยที่ทำให้เกิดการหน่วง (damping factor) และ  $\omega_n$  คือ ความถี่ธรรมชาติ (Natural Frequency)

### 5. ข้อดีและข้อเสียของวงจรเฟสล็อกกลุ๊ป

วงจรเฟสล็อกกลุ๊ปนี้มีข้อดีอยู่หลายประการสำหรับการใช้งานบางอย่าง ซึ่งไม่มีวงจรอื่นที่จะเทียบเท่า อย่างไรก็ดีในการใช้งานบางอย่างนั้นก็อาจใช้วงจรกรองแบบ LC หรือ RC แทนได้ ข้อดีของวงจรเฟสล็อกกลุ๊ปเมื่อเทียบกับวงจรกรองแบบ RC ได้แก่

1. ทำงานได้ดีที่ความถี่สูง สามารถทำงานได้ที่ความถี่สูงกว่า 100 MHz ส่วนวงจรกรองแบบทำได้แค่ความถี่ประมาณ 10 MHz
2. อำนาจการเลือกสรร (selectivity) และความถี่กลางไม่ขึ้นต่อกัน กล่าวคือความถี่กลางกำหนดโดยความถี่อิสระของ VCO ส่วนอำนาจการเลือกสรรขึ้นอยู่กับลักษณะของวงจรกรองความถี่ต่ำผ่าน จึงไม่มีปัญหาการเรียงคลื่น (alignment)
3. องค์ประกอบภายนอกวงจรประมวลมีน้อยและปรับคลื่นได้ง่าย โดยทั่วไปความถี่อิสระของ VCO กำหนดโดย C ตัวเดียว หรือ C กับ R ซึ่งจะปรับคลื่นได้ตั้งแต่ค่าต่ำกว่า 1 kHz ถึง 100 MHz

อย่างไรก็ดีวงจรเฟสล็อกกลุ๊ปก็มีข้อเสียเช่นกัน ได้แก่

1. ไม่ให้ข้อมูลเกี่ยวกับช่วงสูงวงจรเฟสล็อกกลุ๊ปสนองต่อความถี่เท่านั้น ทรานส์เฟอร์ฟังก์ชันเข้ามีขนาดใหญ่จะทำให้เกิดการลื้อกวงจรจะไม่สนองต่อช่วงสูงของสัญญาณเข้า
2. สมองคอบค่อฮาร์มอนิกหรือฮาร์มอนิกย่อยของสัญญาณเข้าทำให้การจับตสัญญาณแทรกแซงที่มีความถี่เป็นอัตราส่วนจำนวนเต็มกับสัญญาณ ไม่ ดีได้ผลนัก
3. ขาดเทคนิคการสังเคราะห์ เนื่องจากลักษณะการจับของวงจรเฟสล็อกกลุ๊ปเป็นแบบไม่เชิงเส้น เทคนิคการสังเคราะห์ให้ได้วงจรที่มีลักษณะเชิงความถี่ตามข้อกำหนดจึงเป็นเรื่องที่ยากมาก

## 2.2 สถาปัตยกรรมไมโครคอนโทรลเลอร์ dsPIC30F6014

สำหรับโครงการนี้ได้เลือกใช้ไมโครคอนโทรลเลอร์ dsPIC30F6014 ในการประมวลผลสัญญาณเสียง dsPIC คือไมโครคอนโทรลเลอร์ 16 บิต และไมโครคอนโทรลเลอร์นี้ ถูกจัดให้อยู่ในอนุกรม DSC (Digital Signal Controller) ซึ่งเป็นไมโครคอนโทรลเลอร์ที่ได้รับการออกแบบมาเป็นพิเศษเพื่องานประมวลผลสัญญาณดิจิทัลสำหรับสร้างระบบควบคุมอัตโนมัติที่มีความสามารถสูง และมีโมดูลพิเศษต่างๆที่ช่วยในการประมวลผลทางด้านเสียง

### 2.2.1 คุณสมบัติโดยรวมของ dsPIC30F6014

ในหัวข้อนี้จะขออธิบายถึงคุณสมบัติและความสามารถต่างๆภายในไมโครคอนโทรลเลอร์ รวมถึง โมดูลพิเศษที่ใช้สำหรับเชื่อมต่อกับ อุปกรณ์ภายนอกในการทำโครงการนี้

#### 1. คุณสมบัติของซีพียู

- เป็นไมโครคอนโทรลเลอร์ที่ใช้ ซีพียู แบบ RISC (Reduced Instruction Set Computer : RISC) ถูกออกแบบมาให้มีคำสั่งในการทำงานจำนวนน้อย ทำให้โครงสร้างภายในไม่ซับซ้อน สามารถประมวลผลได้อย่างมีประสิทธิภาพ อีกทั้งคำสั่งในการทำงานไม่ซับซ้อน ทำให้สามารถทำงานได้รวดเร็ว สามารถใช้กับสัญญาณนาฬิกาความถี่สูงมากๆ ได้ การทำงานถูกออกแบบมาให้ใช้รีจิสเตอร์ภายใน จึงจำเป็นต้องมีการถ่ายเทข้อมูลจากหน่วยความจำไปไว้ในรีจิสเตอร์ก่อน
- ออกแบบด้วย สถาปัตยกรรมแบบฮาร์วาร์ดที่ถูกปรับปรุงใหม่ (modified harvard architecture) เป็นโพรเซสเซอร์ที่สร้างขึ้นมาให้เหมาะกับการประมวลผลสัญญาณแบบเรียลไทม์ มีการแยกบัสระหว่างบัสข้อมูล กับบัสคำสั่งโปรแกรม เพื่อหลีกเลี่ยงการแย่งไปป์ไลน์ (pipeline) ที่เป็นสาเหตุให้ระบบช้าลง โดยปกติแล้วสถาปัตยกรรมฮาร์วาร์ดเป็นโครงสร้างของ DSP (Digital Signal Processor : DSP)
- คำสั่งการคำนวณและบวก (Multiply and Accumulation command : MAC) มีการทำงานแบบไปป์ไลน์ ทำให้ไม่เกิดการว่างการทำงานเนื่องจากต้องรอผลของส่วนอื่น จึงทำให้การคำนวณการแปลงฟูเรียร์แบบเร็วทำได้เร็วขึ้น
- มี 84 คำสั่งมาตรฐาน สามารถรองรับรูปแบบการอ้างแอดเดรสได้อย่างอิสระ
- ชุดคำสั่งมีขนาด 24 บิต สามารถประมวลผลข้อมูลได้ 16 บิต
- มีขนาดพื้นที่หน่วยความจำโปรแกรมแบบแฟลช ความจุ 144 Kbytes ลบและเขียนใหม่ได้ไม่น้อยกว่า 10,000 ครั้ง สามารถโปรแกรมหน่วยความจำโปรแกรมได้โดยทางซอฟต์แวร์ บรรจุชุดคำสั่งได้จริง 48 K words
- มีขนาดพื้นที่หน่วยความจำข้อมูลทั้งหมด มีขนาด 64 Kbytes (32K words) ภายในจะมีพื้นที่หน่วยความจำข้อมูลแรม 8 Kbytes แบ่งออกเป็น 2 ส่วน ได้แก่ หน่วยความจำข้อมูล

เอกสารนี้เป็นเอกสารที่สงวนไว้สำหรับการใช้งานเพื่อการศึกษาเท่านั้น ไม่อนุญาตให้นำไปใช้ประโยชน์ด้านการค้า ไม่ว่าจะกรณีใดๆทั้งสิ้น อีกทั้งห้ามมิให้ดัดแปลงเนื้อหา และต้องอ้างอิงถึงเจ้าของเอกสารทุกครั้งที่มีการนำไปใช้

แรม X และ Y แต่ละส่วนมีขนาด 16 บิต ความจุ 4 Kbytes ในแต่ละส่วนจะมีตัวกำหนดแอดเดรส (Address Generation Unit : AGU) แยกออกจากกัน คำสั่งคูณและบวกของชุดคำสั่งการประมวลผลสัญญาณดิจิทัล (DSP instructions) จาก 2 แหล่ง สามารถทำงานผ่าน ตัวกำหนดแอดเดรส X และ Y

- มีหน่วยความจำข้อมูลแรม 8 Kbytes
- ความเร็วในการทำงานสูงถึง 30 ล้านคำสั่งต่อวินาที (Million Instruction Per Second : MIPS)
- มีรีจิสเตอร์ W จัดอยู่ในรูปแบบอะเรย์ (working register array) มีขนาด 16 บิต จำนวน 16 ตัว เป็นรีจิสเตอร์หลักที่ใช้ในการทำงาน เนื่องจากโครงสร้างเป็นอะเรย์ จึงสามารถรองรับทั้งข้อมูล, ค่าแอดเดรส หรือค่าของรีจิสเตอร์ใดๆ ที่ต้องนำมาประมวลผล รีจิสเตอร์ W ตัวที่ 0-14 (W0 - W14) ใช้ในการประมวลผลหลัก ส่วนรีจิสเตอร์ W ตัวที่ 15 (W15) ใช้ทำงานร่วมกับตัวชี้สแต็ก (software stack pointer) ในการทำงานของโปรแกรมย่อย และบริการอินเตอร์รัปต์ (interrupt service)
- รองรับแหล่งกำเนิดสัญญาณอินเตอร์รัปต์ได้สูงสุด 41 แหล่ง โดยสามารถกำหนดระดับความสำคัญ (selectable priority levels) ได้ 8 ระดับ
- รับความถี่สัญญาณนาฬิกาจากภายนอกได้ ตั้งแต่ 4 MHz - 10 MHz ในกรณีใช้งานร่วมกับวงจรเฟสล็อกภายใน เลือกรับ ตัวคูณได้ 3 ระดับคือ 4, 8 หรือ 16 เท่า

## 2. คุณสมบัติด้านการประมวลผลสัญญาณดิจิทัล

- มีวงจรเฟตช์ข้อมูลคู่ (Dual data fetch) ทำให้สามารถประมวลผลข้อมูลได้อย่างรวดเร็ว
- สามารถเข้าถึงหน่วยคำจำข้อมูลได้ 2 รูปแบบพิเศษ คือ แบบวนรอบ และ แบบกลับบิต
  - การเข้าถึงหน่วยความจำข้อมูล แบบวนรอบ (modulo addressing) สามารถใช้ได้ในพื้นที่หน่วยความจำข้อมูล X และ Y วิธีการนี้ใช้เพื่อลดการทำงานแบบวนรอบ (loop program) สำหรับ DSP algorithms เป็นหลัก
  - การเข้าถึงหน่วยความจำข้อมูล แบบกลับบิต (bit-reversed addressing) สามารถใช้ได้ ใน X AGU เท่านั้น เพื่อการเข้าถึงข้อมูลอย่างมีประสิทธิภาพ โดยการจัดเรียงข้อมูล เพื่อเข้าสู่ radix-2 FFT algorithms ทำได้ง่ายขึ้น
- มีแอกคิวมูเลเตอร์ (accumulator) ขนาด 40 บิต 2 ตัว ใช้เก็บข้อมูลสำหรับประมวลผลทางคณิตศาสตร์
  - เมื่อประมวลผลเชิงเศษส่วน สามารถเก็บข้อมูลได้ตั้งแต่  $-256.0$  ถึง  $256 \cdot 2^{-31}$
  - เมื่อประมวลผลเลขจำนวนเต็ม สามารถเก็บข้อมูลได้ตั้งแต่  $-549,755,813,888$  ถึง  $549,755,813,887$

เอกสารนี้เป็นเอกสารที่สงวนไว้สำหรับการใช้งานเพื่อการศึกษาเท่านั้น ไม่อนุญาตให้นำไปใช้ประโยชน์ด้านการค้า ไม่ว่าจะกรณีใดๆทั้งสิ้น อีกทั้งห้ามมิให้ดัดแปลงเนื้อหา และต้องอ้างอิงถึงเจ้าของเอกสารทุกครั้งที่มีการนำไปใช้

- มีหน่วยประมวลผลทางคณิตศาสตร์และลอจิก (Arithmetic Logic Unit : ALU) ขนาด 40บิต
- มีหน่วยประมวลผลด้านการคูณเลขจำนวนเต็มและเศษส่วน 17x17 บิต ในรูปของ ฮาร์ดแวร์ รองรับการคำนวณค่าตัวเลขทั้งที่ คิดและไม่คิดเครื่องหมาย โดยบิตที่ 16 จะเป็นบิตเครื่องหมาย สำหรับการให้ผลลัพธ์สามารถให้ผลได้ทั้งเลขจำนวนเต็มขนาด 32 บิต และ เลขทศนิยม ใช้เวลาในการทำงานเพียง 1 รอบการทำงาน (Instruction Cycle Period)
  - เมื่อทำงานในโหมดเลขจำนวนเต็ม จะให้ผลลัพธ์เป็น ค่า two's complement แบบ คิดเครื่องหมาย ค่าที่ได้จะอยู่ในช่วง  $-2^{N-1}$  to  $2^{N-1} - 1$ 
    - สำหรับเลขจำนวนเต็มขนาด 16 บิต จะมีค่าอยู่ระหว่าง -32768 (0x8000) ถึง 32767 (0x7FFF)
    - สำหรับเลขจำนวนเต็มขนาด 32 บิต จะมีค่าอยู่ระหว่าง -2,147,483,648 ถึง 2,147,483,645
  - เมื่อทำงานในโหมดเลขเศษส่วน จะให้ผลลัพธ์เป็น ค่า two's complement ของ เลขเศษส่วนแบบคิดเครื่องหมาย ค่าที่ได้จะอยู่ในช่วง  $-1.0$  ถึง  $(1 - 2^{-N})$
- สำหรับเลขทศนิยมขนาด 16 บิต จะมีค่าอยู่ระหว่าง  $-1.0$  ถึง  $0.999969482$  และมีค่าความละเอียด  $3.01518 \times 10^{-5}$
- ชุดคำสั่งการประมวลผลสัญญาณดิจิทัลทั้งหมด ใช้เวลาในการทำงานเพียง 1 รอบการทำงาน
- ตัวเลื่อนข้อมูลสองทิศทางแบบบาร์เรล (barrel shifter) ขนาด 40 บิต สามารถเลื่อนไปทางซ้ายหรือขวาได้ภายใน 1 รอบการทำงาน เมื่อได้รับข้อมูลที่กำหนดเครื่องหมาย โดย ถ้าเป็นค่าบวก จะเลื่อนข้อมูลไปทางขวา ถ้าเป็นค่าลบ จะเลื่อนข้อมูลไปทางซ้าย ให้ผลลัพธ์ขนาด 40 บิต

### 3. คุณสมบัติด้านการเชื่อมต่อกับอุปกรณ์ภายนอก

- สามารถจ่ายกระแสออกทางขาพอร์ต ได้ 25 mA ทั้งแบบกระแสซิงค์และซอร์ส
- ไทมเมอร์/คาน์เตอร์ ขนาด 16 บิต จำนวน 5 ตัว สามารถต่อใช้งานร่วมกันเป็น ไทมเมอร์ 32 บิต ได้
- มีส่วนเชื่อมต่อกับอุปกรณ์อนุกรมในแบบ SPI (Serial Peripheral Interface : SPI)
- มีส่วนเชื่อมต่อกับอุปกรณ์เข้ารหัสและถอดรหัสเสียง ในแบบ DCI (Data Converter Interface : DCI)

เอกสารนี้เป็นเอกสารที่สงวนไว้สำหรับการใช้งานเพื่อการศึกษาเท่านั้น ไม่อนุญาตให้นำไปใช้ประโยชน์ด้านการค้า ไม่ว่าจะกรณีใดๆทั้งสิ้น อีกทั้งห้ามมิให้ดัดแปลงเนื้อหา และต้องอ้างอิงถึงเจ้าของเอกสารทุกครั้งที่มีการนำไปใช้

#### 4. คุณสมบัติพิเศษด้านอื่นๆ

- มีพาวเวอร์ออนรีเซต (POR), พาวเวอร์อัพไทมเมอร์ (PWRT) และ ออสซิลเลเตอร์สตรัทท์อัพไทมเมอร์ (OST)
- มีวอตช์ด็อกไทมเมอร์แบบโปรแกรมทางซอฟต์แวร์ได้ (Programmable Watchdog Timer : WDT) ทำหน้าที่รีเซตไมโครคอนโทรลเลอร์ในกรณีที่เกิดการทำงานทางซอฟต์แวร์ผิดพลาดจนไม่สามารถทำงานอื่นต่อได้
- รองรับการ โปรแกรมในวงจรแบบอนุกรม (In-Circuit Serial Programming : ICSP)

#### 5. การรองรับการหารเลข

รองรับการหารเลขอย่างเต็มรูปแบบ โดยไม่ต้องสร้างโปรแกรมย่อยขึ้นมาจัดการ แบ่งออกเป็น 5 รูปแบบ ดังนี้

1. การหารเลขเศษส่วนหรือทศนิยม 16 บิตแบบคิดเครื่องหมาย
2. การหารเลขจำนวนเต็มที่มีตัวตั้ง 32 บิต ด้วยตัวหาร 16 บิตแบบคิดเครื่องหมาย
3. การหารเลขจำนวนเต็มที่มีตัวตั้ง 32 บิต ด้วยตัวหาร 16 บิตแบบไม่คิดเครื่องหมาย
4. การหารเลขจำนวนเต็มที่มีตัวตั้ง 16 บิต ด้วยตัวหาร 16 บิตแบบคิดเครื่องหมาย
5. การหารเลขจำนวนเต็มที่มีตัวตั้ง 16 บิต ด้วยตัวหาร 16 บิตแบบไม่คิดเครื่องหมาย

#### 6. ระบบสัญญาณนาฬิกา

- สามารถเลือกแหล่งกำเนิดสัญญาณนาฬิกาจากภายในหรือภายนอกได้
- มีวงจรเฟสล็อกอยู่ภายในเพื่อเพิ่มความถี่ในการทำงานของสัญญาณนาฬิกา ดังแสดงในตารางที่ 2.3
- มีส่วนตรวจสอบความผิดพลาดของสัญญาณนาฬิกาเพื่อเปลี่ยนแหล่งกำเนิดสัญญาณนาฬิกาได้

ตารางที่ 2.3 ย่านสัญญาณความถี่นาฬิกาที่สามารถใช้ร่วมกับวงจรเฟสล็อกอยู่ภายใน

ความถี่ขาเข้า	ตัวคูณเฟสล็อกอยู่ภายใน	ความถี่ขาออก
4 MHz -10 MHz	x4	16 MHz -40 MHz
4 MHz -10 MHz	x8	32 MHz -80 MHz
4 MHz -7.5 MHz	x16	64 MHz -120 MHz

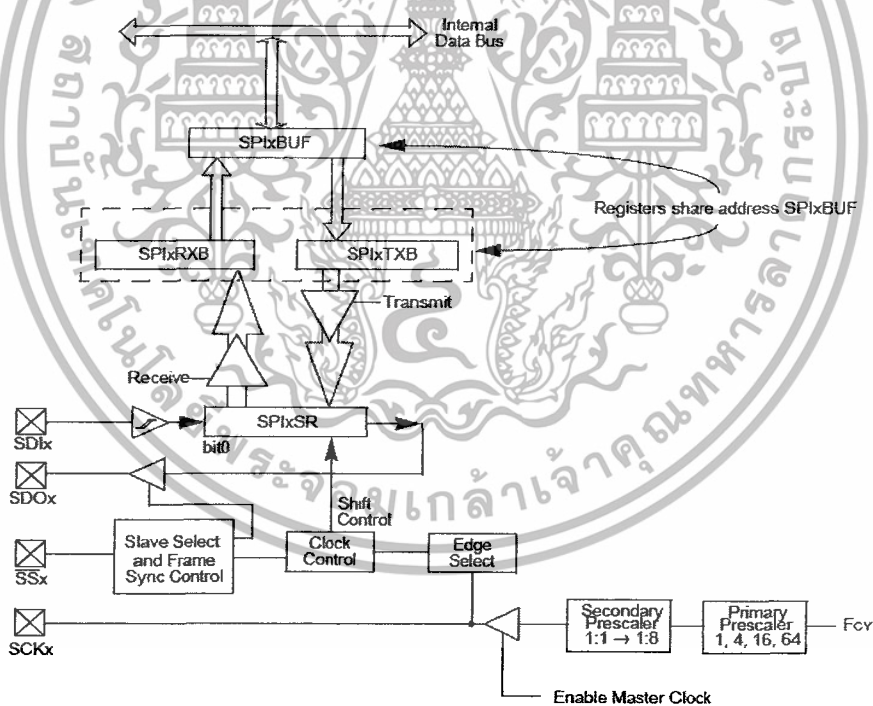
เอกสารนี้เป็นเอกสารที่สงวนไว้สำหรับการใช้งานเพื่อการศึกษาเท่านั้น ไม่อนุญาตให้นำไปใช้ประโยชน์ด้านการค้า ไม่ว่าจะกรณีใดๆทั้งสิ้น อีกทั้งห้ามมิให้ดัดแปลงเนื้อหา และต้องอ้างอิงถึงเจ้าของเอกสารทุกครั้งที่มีการนำไปใช้

### 2.2.2 โมดูลสำหรับเชื่อมต่ออุปกรณ์อนุกรม แบบ SPI

การติดต่อแบบ SPI เป็นการติดต่ออนุกรมแบบเป็นจังหวะ (synchronous serial interface) อย่างหนึ่ง ช่วยเพิ่มความสะดวกในการติดต่อกับอุปกรณ์ภายนอก ที่มีระบบการติดต่อแบบ SPI เหมือนกัน เช่น หน่วยความจำภายนอก EEPROM, ไอซีวัดอุณหภูมิ, อุปกรณ์แปลงสัญญาณแอนะล็อกเป็นดิจิทัล, อุปกรณ์แปลงสัญญาณดิจิทัลเป็นแอนะล็อก หรือ ไมโครคอนโทรลเลอร์ตัวอื่น สำหรับในโปรเจกต์นี้จะใช้สำหรับติดต่อกับ ไอซีขับหน้าจอสถาปัตยกรรม LCD โมดูล SPI มีขาสำหรับต่อใช้งาน 4 ขา ซึ่งใช้ร่วมกับขาพอร์ตปกติด้วย ประกอบด้วย

1. SDIx Pin (Serial Data Input) เป็นขารับข้อมูลอนุกรม
2. SDOx Pin (Serial Data Output) เป็นขาส่งข้อมูลอนุกรม
3. SCKx Pin (Shift Clock input or output) เป็นขาสัญญาณนาฬิกาอนุกรม
4. SSx Pin (active low slave select or frame synchronization I/O pulse) เป็นขาเลือกอุปกรณ์สเลฟ ทำงานที่ลอจิก “0” หรือใช้เป็นขาปรับส่งสัญญาณพัลส์สำหรับกำหนดจังหวะของเฟรมข้อมูลอนุกรม

แต่อย่างไรก็ตาม ปกติแล้วจะใช้เพียง 3 ขาหลักคือ SDI, SDO และ SCK ขึ้นอยู่กับการกำหนดโหมดการทำงาน ในรูปที่ 2.23 แสดงบล็อกไดอะแกรมการทำงานของโมดูล SPI ใน dsPIC

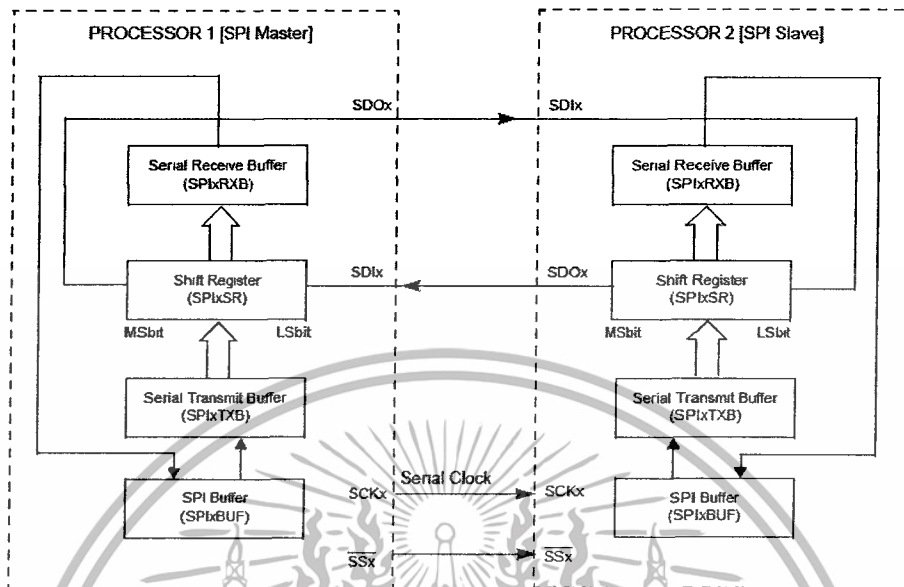


Note: The SPIxTXB and SPIxRXB registers are memory mapped to the SPIxBUF register.

รูปที่ 2.23 บล็อกไดอะแกรมของ โมดูล SPI

เอกสารนี้เป็นเอกสารที่สงวนไว้สำหรับการใช้งานเพื่อการศึกษาเท่านั้น ไม่อนุญาตให้นำไปใช้ประโยชน์ด้านการค้า ไม่ว่าจะกรณีใดๆทั้งสิ้น อีกทั้งห้ามมิให้ดัดแปลงเนื้อหา และต้องอ้างอิงถึงเจ้าของเอกสารทุกครั้งที่มีการนำไปใช้

สำหรับโครงงานนี้ได้กำหนดให้โมดูล SPI ทำงานในโหมด มาสเตอร์ และมีรูปแบบการเชื่อมต่อระหว่างไมโครคอนโทรเลอร์กับไอซีเข้าและถอดรหัสเสียง ดังรูปที่ 2.24



(MSTEN(SPIxCON<5> = 1))

(SSEN(SPIxCON<7>) = 1 and  
MSTEN(SPIxCON<5> = 0))

- Note 1: Using the SSx pin in Slave mode of operation is optional.  
2: User must write transmit data to/read received data from SPiXBUF. The SPiXTXB and SPiRXB registers are memory mapped to SPiXBUF.

รูปที่ 2.24 การเชื่อมต่อ โมดูล SPI ระหว่างอุปกรณ์มาสเตอร์ และอุปกรณ์สเลฟ

### 2.2.3 โมดูลสำหรับเชื่อมต่ออุปกรณ์อนุกรม แบบ DCI

โมดูล DCI ช่วยให้การเชื่อมต่อกับอุปกรณ์ภายนอกทำได้ง่ายขึ้น อาทิเช่น อุปกรณ์เข้าและถอดรหัสเสียง (audio codecs) หรือ อุปกรณ์แปลงสัญญาณแอนะล็อกเป็นดิจิทัล, อุปกรณ์แปลงสัญญาณดิจิทัลเป็นแอนะล็อก สำหรับโปรเจกต์นี้จะใช้สำหรับติดต่อกับ ไอซี Si3000

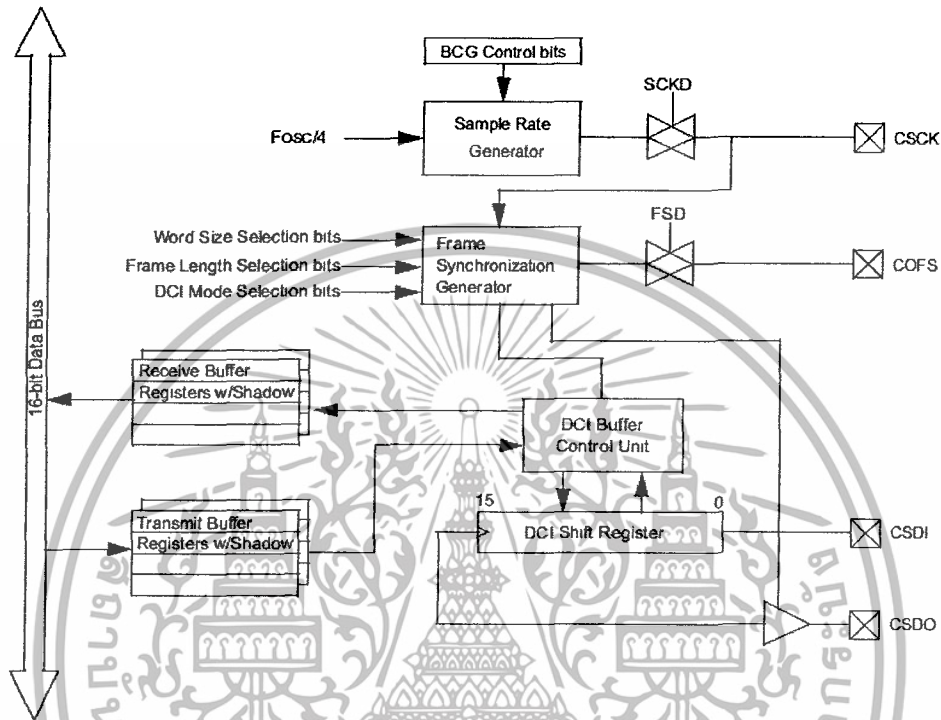
#### 1. คุณสมบัติทั่วไปของ โมดูล DCI

- สามารถกำหนดขนาดเวิร์ดข้อมูล (data word size) ได้สูงสุดที่ขนาด 16 บิต ด้วยวิธีการโปรแกรม
- รองรับการทำงานได้สูงสุด 16 ไทม์สล็อต (time slot) ใน เฟรมข้อมูล (data frame) และรองรับขนาดเฟรม (frame size) ได้สูงสุด 256 บิต โดยมีบิตควบคุมอยู่ในทุกๆ ไทม์สล็อตในเฟรมข้อมูล ซึ่งจะคอยพิจารณาว่าเมื่อใด DCI จะรับหรือส่งข้อมูล

เอกสารนี้เป็นเอกสารที่สงวนไว้สำหรับการใช้งานเพื่อการศึกษาเท่านั้น ไม่อนุญาตให้นำไปใช้ประโยชน์ด้านการค้า ไม่ว่าจะกรณีใดๆทั้งสิ้น อีกทั้งห้ามมิให้ดัดแปลงเนื้อหา และต้องอ้างอิงถึงเจ้าของเอกสารทุกครั้งที่มีการนำไปใช้

- มีแหล่งที่พักระงข้อมูล (data buffer) สามารถเก็บข้อมูลได้ถึง 4 เวิร์ดข้อมูล โดยไม่แย่งทรัพยากรของ CPU

ในรูปที่ 2.25 จะแสดงถึงลักษณะการทำงานของส่วนประกอบต่างๆภายในโมดูล DCI ซึ่งแสดงถึงการทำงานรับส่งข้อมูลระหว่างโมดูล DCI กับ บัสข้อมูล (data bus)



รูปที่ 2.25 บล็อกไดอะแกรมของ โมดูล DCI

## 2. ขาสำหรับต่อใช้งาน โมดูล DCI

โมดูล DCI มีขาสำหรับต่อใช้งาน 4 ขา ประกอบด้วย

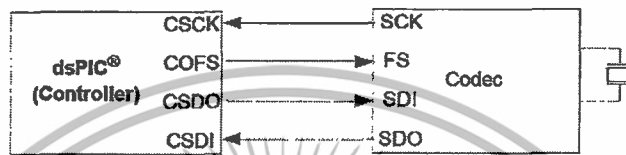
1. CCK Pin (Serial Clock input or output) ทำหน้าที่ เชื่อมต่อสัญญาณนาฬิกาเข้าด้วยกัน สามารถกำหนดให้ไมโครคอนโทรลเลอร์เป็น ตัวรับสัญญาณนาฬิกาจากอุปกรณ์ภายนอกหรือเป็นตัวส่งสัญญาณนาฬิกา ผ่านทางบิตควบคุม
2. CSDO Pin (Serial Data Output) ถูกกำหนดให้เป็นขาส่งข้อมูลออก เมื่อโมดูล DCI ถูกเอนเอเบิล (enable) สามารถกำหนดว่าจะส่งข้อมูลออกหรือไม่ ผ่านทางบิต ควบคุม
3. CSDI Pin (Serial Data Input) ถูกกำหนดให้เป็นขารับข้อมูลเข้า เมื่อโมดูล DCI ถูกเอนเอเบิล

เอกสารนี้เป็นเอกสารที่สงวนไว้สำหรับการใช้งานเพื่อการศึกษาเท่านั้น ไม่อนุญาตให้นำไปใช้ประโยชน์ด้านการค้า ไม่ว่าจะกรณีใดๆทั้งสิ้น อีกทั้งห้ามมิให้ดัดแปลงเนื้อหา และต้องอ้างอิงถึงเจ้าของเอกสารทุกครั้งที่มีการนำไปใช้

4. COFS Pin (Frame Synchronization) ทำหน้าที่ ซิงโครไนซ์ (synchronize) การถ่ายโอนข้อมูล ซึ่งเกิดขึ้นบน CSDO และ CSDI สามารถกำหนดได้ว่าจะรับหรือส่งพัลส์ (frame synchronization pulse) ผ่านทางบิตควบคุม

ในรูปที่ 2.26 นี้ ไมโครคอนโทรลเลอร์เป็นตัวส่งพัลส์ไปยังไอซีเข้าและถอดรหัสเสียงจึงจัดว่า โมดูล DCI ทำงานในโหมดมาสเตอร์

- ในกรณีที่ไมโครคอนโทรลเลอร์สร้างพัลส์ ส่งให้อุปกรณ์ภายนอกโมดูล DCI จะเป็น มาสเตอร์
- ในกรณีที่ไมโครคอนโทรลเลอร์รับพัลส์ จากอุปกรณ์ภายนอก โมดูล DCI จะเป็น สเลฟ



Codec Generates SCK

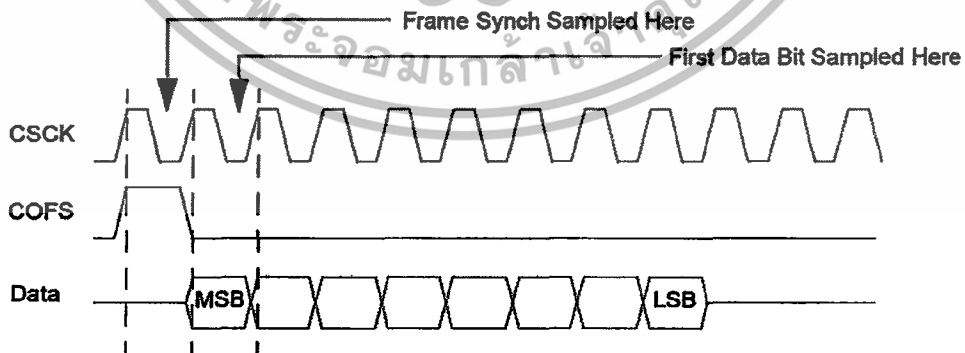
ข้อสังเกต : วงจรออสซิลเลเตอร์ของอุปกรณ์เข้าและถอดรหัส ทำหน้าที่ สร้างสัญญาณ SCK รูปที่ 2.26 แสดงตัวอย่างการเชื่อมต่อกับอุปกรณ์เข้าและถอดรหัส

3. ลักษณะการเชื่อมต่อ โมดูล DCI

โมดูล DCI มีลักษณะการเชื่อมต่ออยู่ 3 รูปแบบใหญ่ๆดังนี้

1. แบบสื่อสารอนุกรม (framed synchronous serial Transfer (single or multi-Channel))
2. แบบระบบบัส I<sup>2</sup>S (Inter-IC Sound interface)
3. แบบ AC-Link compliant mode

สำหรับในโครงการนี้ กำหนดให้ การสื่อสารอนุกรม DCI ทำงานแบบ สเลฟเฟรมซิงค์ ชนิดหลายช่องทาง (Slave Frame Sync & Multi-Channel mode) โดยรูปที่ 2.27 แสดงถึงจังหวะการส่งสัญญาณนาฬิกาเพื่อทำงานซิงโครไนส์กับเฟรมข้อมูล



รูปที่ 2.27 ไทมิงไดอะแกรมของการทำงานแบบ สเลฟเฟรมซิงค์ ชนิดหลายช่องทาง

สำหรับในบทที่ 2 นี้ ได้กล่าวถึง ทฤษฎีที่เกี่ยวข้องกับการประมวลผลสัญญาณดิจิทัล และความรู้ทางด้านไมโครคอนโทรลเลอร์ที่เกี่ยวข้องในการเขียน โปรแกรม รวมถึงโมดูลพิเศษต่างๆ เพื่อในไปใช้ในการทำโครงการนี้ ในบทที่ 3 นั้นจะเป็นการอธิบายถึงการนำความรู้และทฤษฎีในบทที่ 2 มาใช้ในการออกแบบโครงการนี้



เอกสารนี้เป็นเอกสารที่สงวนไว้สำหรับการใช้งานเพื่อการศึกษาเท่านั้น ไม่อนุญาตให้นำไปใช้ประโยชน์ด้านการค้า ไม่ว่าจะกรณีใดๆทั้งสิ้น อีกทั้งห้ามมิให้ดัดแปลงเนื้อหา และต้องอ้างอิงถึงเจ้าของเอกสารทุกครั้งที่มีการนำไปใช้

## บทที่ 3

### หลักการออกแบบ

การออกแบบระบบกำจัดเสียงรบกวน ในเบื้องต้นนั้นต้องเข้าใจหลักการทำงานในภาพรวมของระบบก่อนว่ามีหลักการทำงานอย่างไร แล้วจึงพิจารณาส่วนย่อยต่างๆ อันประกอบไปด้วยหน่วยประมวลผลกลางและกำจัดเสียงรบกวน , หน่วยเข้าและถอดรหัสเสียง , และหน่วยแสดงผล โดยหน่วยย่อยทั้งสามนี้จะทำงานร่วมกัน ภายใต้ระบบการทำงานที่ถูกออกแบบไว้ ท้ายที่สุดจึงเป็นการนำเสนอโครงสร้างการทำงาน ในส่วนของโปรแกรม ซึ่งอธิบายโครงสร้างของระบบกำจัดเสียงรบกวนได้ตามรูปที่ 3.1 อันประกอบด้วยส่วนประกอบต่างๆ ดังนี้

#### 1. หน่วยเข้าและถอดรหัสเสียง

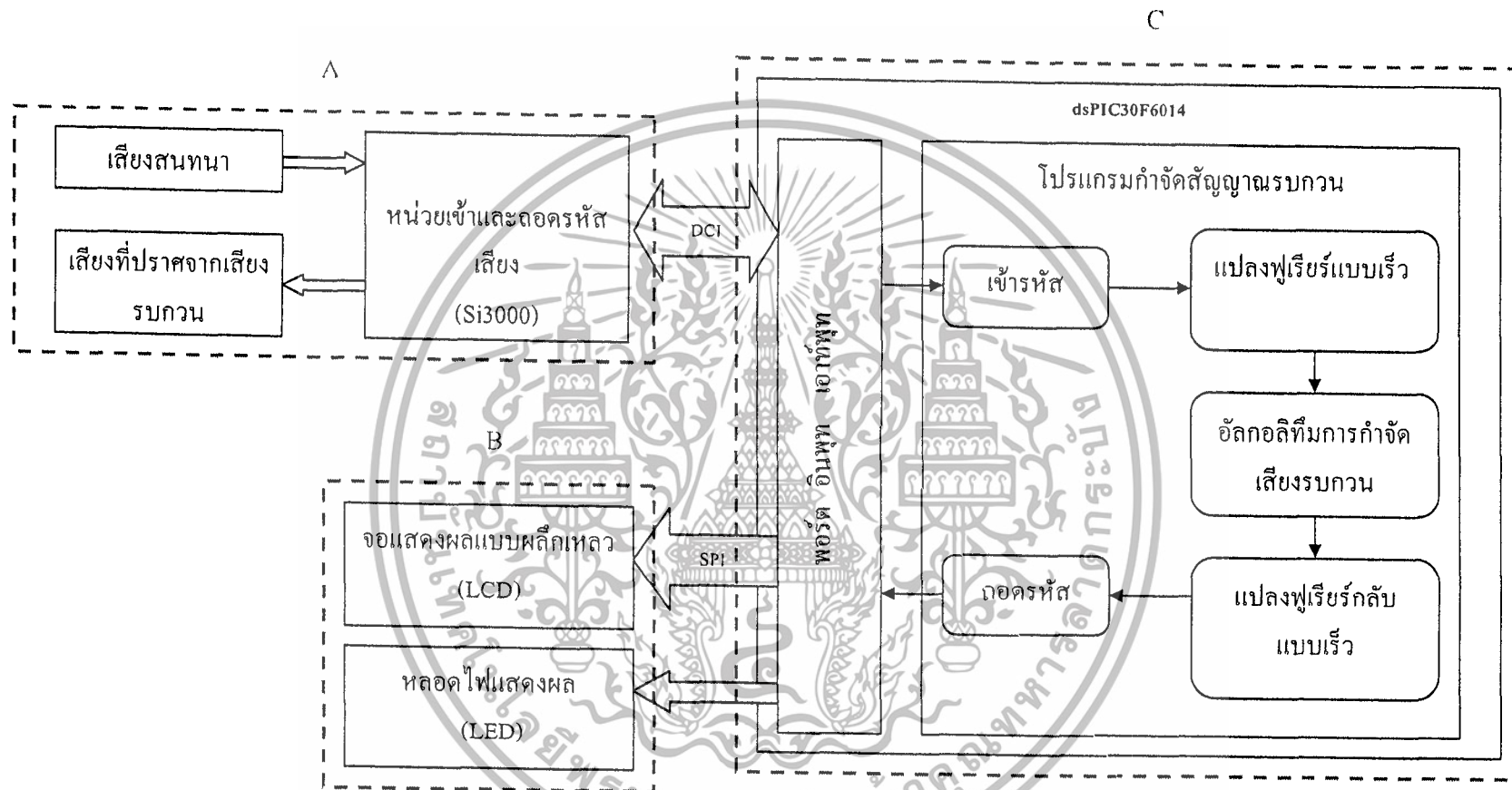
ทำหน้าที่สองอย่างคือ เมื่อรับสัญญาณเสียงแอนะล็อกจากไมโครโฟนไอซี Si3000 จะแปลงสัญญาณแอนะล็อกเป็นสัญญาณดิจิทัล และนำสัญญาณดิจิทัลนั้นส่งไปประมวลผลในรูปแบบเฟรมข้อมูล ด้วยการเชื่อมต่อแบบอนุกรม (DCI) ในทางกลับกันเมื่อไมโครคอนโทรลเลอร์กำจัดเสียงรบกวนเสร็จแล้ว ไอซี Si3000 จะแปลงสัญญาณดิจิทัลเป็นสัญญาณแอนะล็อกและส่งเสียงแอนะล็อกนั้นทางลำโพง หน่วยเข้าและถอดรหัสเสียง สามารถแสดงได้ดังรูปที่ 3.1(A)

#### 2. หน่วยแสดงผล

ในโครงงานนี้ผู้จัดทำได้ใช้จอแสดงผลในการแสดงค่าอัตราส่วนของสัญญาณเสียงสนทนา ต่อเสียงสัญญาณรบกวน SNR และใช้หลอดไฟ LED ในการแสดงโหมดการทำงานของโปรแกรม ดังรูปที่ 3.1(B) และเนื่องจากผู้จัดทำใช้บอร์ดทดลอง dsPICDEM 1.1 ในการพัฒนาโปรแกรม ซึ่งในบอร์ดนี้มีส่วนแสดงผลอยู่แล้วอันประกอบด้วยจอแสดงผลแบบ ผลึกเหลว (Liquid Crystal Display : LCD) และหลอดไฟ ในส่วนของจอแสดงผล เป็นแบบคอตเมตริกซ์ (dot-matrix) 122x32 ขนาด 4 บรรทัด 20 ตัวอักษร ใช้ไอซี PIC18F242 LCD เป็นคอนโทรลเลอร์ ติดต่อกับ LCD ในโหมด 8 บิต และ dsPIC30F6014 ซึ่งเป็นไมโครคอนโทรลเลอร์ตัวหลักจะทำการเชื่อมต่อกับไอซี PIC18F242 LCD ผ่านการสื่อสารแบบอนุกรม SPI โดยผู้จัดทำกำหนดให้ dsPIC30F6014 เป็นมาสเตอร์ และไอซี PIC18F242 LCD เป็นสเลฟ

#### 3. หน่วยประมวลผลกลางและกำจัดเสียงรบกวน

เป็นหน่วยที่มีความสำคัญมากที่สุด ในโครงงานนี้ใช้ ไมโครคอนโทรลเลอร์ dsPIC30F6014 ขนาด 32 บิตเป็นตัวประมวลผล ภายในได้สร้างระบบการกำจัดเสียงรบกวน โดยใช้ภาษาซี ร่วมกับภาษาแอสเซมบลีในการพัฒนาโปรแกรม และใช้ MPLAB C30 เป็นตัวคอมไพเลอร์ดังรูปที่ 3.1(C) ซึ่งบล็อกไดอะแกรมการทำงานของระบบกำจัดเสียงรบกวนจะได้กล่าวต่อไป



รูปที่ 3.1 โครงสร้างการทำงานในการกำจัดสัญญาณเสียงรบกวน

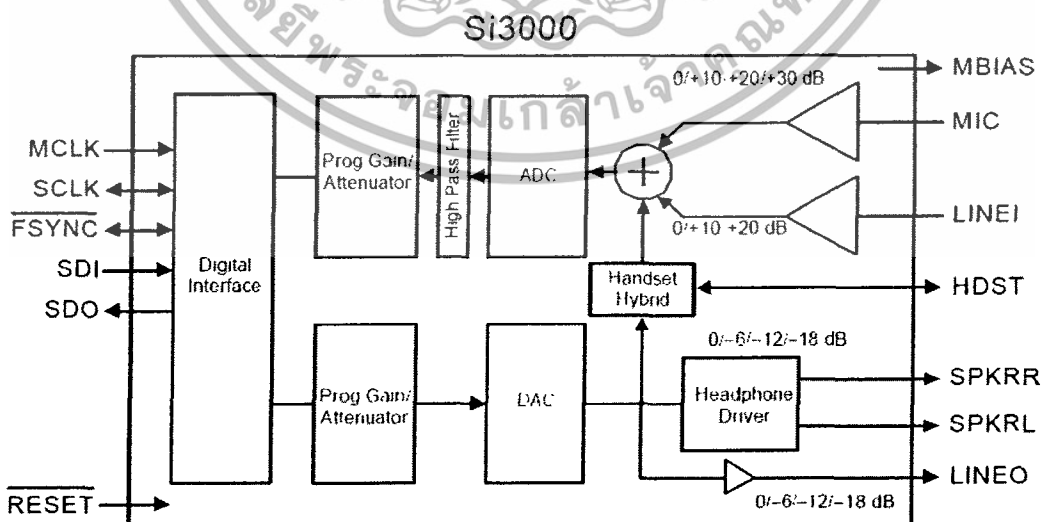
### 3.1 หน่วยเข้าและถอดรหัสเสียง

ในโครงการนี้จะใช้หน่วยเข้าและถอดรหัสเสียง Si3000 ซึ่งเป็นไอซีสำเร็จรูปที่มีฟังก์ชันการทำงานกับเสียงหลากหลาย และที่สำคัญคือไอซี Si3000 สามารถรองรับการประมวลผลแบบดิจิทัลซึ่งสอดคล้องกับความต้องการของโครงการ สำหรับคุณสมบัติของไอซี Si3000 จะอธิบายได้ดังต่อไปนี้

#### 3.1.1 คุณสมบัติของ Si3000

- แปลงสัญญาณแอนะล็อกเป็นสัญญาณดิจิทัลและแปลงสัญญาณดิจิทัลเป็นสัญญาณแอนะล็อกขนาด 10 บิต
- สามารถปรับเพิ่ม,ลดสัญญาณเสียงในช่วง -34.5 ถึง 12 dB โดยการปรับค่าทางโปรแกรม
- สามารถรับสัญญาณแอนะล็อกได้ 3 แหล่ง
- เชื่อมต่อแบบอนุกรมกับไมโครคอนโทรลเลอร์
- ขยายสัญญาณเสียงอินพุต ได้สูงสุด 30 dB
- รองรับความถี่สุ่มตัวอย่างได้ 4 ถึง 12 kHz

การทำงานของไอซี Si3000 เริ่มจากรับเสียงแอนะล็อกจากไมโครโฟน หรือ จากสายออดิโอ (audio) โดยตรง จากนั้นสัญญาณจะถูกขยายในช่วง 0 ถึง 30 เดซิเบล สัญญาณแอนะล็อกนั้นจะถูกแปลงเป็นสัญญาณดิจิทัล แล้วผ่านตัวกรองความถี่สูง และโปรแกรมเกนตามลำดับ ข้อมูลดิจิทัลนั้นจะติดต่อสื่อสารกับหน่วยประมวลผลผ่านการเชื่อมต่อแบบอนุกรม DCI ในทางกลับกันข้อมูลดิจิทัลจะถูกส่งออกมาที่ไอซี Si3000 ผ่านโปรแกรมเกนเอาต์พุต และทำการแปลงสัญญาณดิจิทัลเป็นสัญญาณแอนะล็อกกลับ และส่งสัญญาณ นั้นออกทางสายออดิโอ หรือลำโพงซึ่งในที่นี้ขึ้นอยู่กับ การกำหนดค่าทางโปรแกรม การทำงานของไอซี Si3000 อธิบายได้ดังรูปที่ 3.2



รูปที่ 3.2 บล็อกไดอะแกรมของ ไอซี Si3000

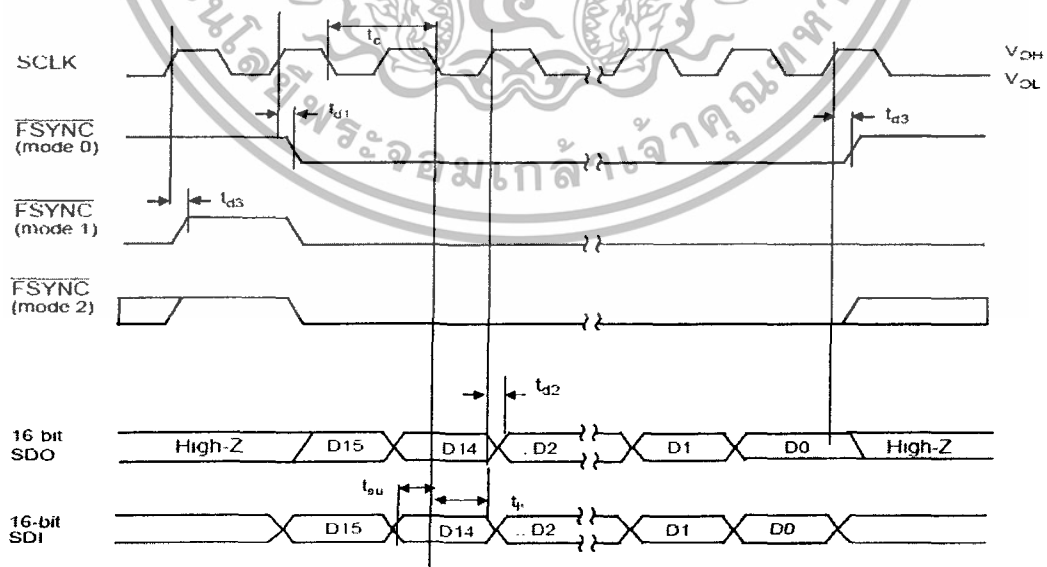
เอกสารนี้เป็นเอกสารที่สงวนไว้สำหรับการใช้งานเพื่อการศึกษาเท่านั้น ไม่อนุญาตให้นำไปใช้ประโยชน์ด้านการค้า ไม่ว่าจะกรณีใดๆทั้งสิ้น อีกทั้งห้ามมิให้ตัดแปลงเนื้อหา และต้องอ้างอิงถึงเจ้าของเอกสารทุกครั้งที่มีการนำไปใช้

### 3.1.2 การเชื่อมต่อแบบดิจิทัล

การเชื่อมต่อแบบดิจิทัลแบ่งออกเป็น 3 โหมด ในแต่ละโหมดจะมีช่วงจังหวะการรับส่งข้อมูลในเฟรมที่ขึ้นกับจังหวะสัญญาณนาฬิกา SCLK ดังรูปที่ 3.3 โดยมีคุณลักษณะการสวิตซ์ซิงของการเชื่อมต่อแบบอนุกรมดังตารางที่ 3.1

ตารางที่ 3.1 คุณลักษณะการสวิตซ์ซิงของการเชื่อมต่อแบบอนุกรม

Parameter	Symbol	Min	Type	Max	Unit
Cycle Time, SCLK	$t_c$	354	1/256 Fs	-	ns
SCLK Duty Cycle	$t_{dty}$	-	50	-	%
Delay Time, SCLK ↑ to FSYNC ↓	$t_{d1}$	-	-	10	ns
Delay Time, SCLK ↑ to SDO Valid	$t_{d2}$	-	-	20	ns
Delay Time, SCLK ↑ to FSYNC ↑	$t_{d3}$	-	-	10	ns
Setup Time, SDI, before SCLK ↓	$t_{su}$	25	-	-	ns
Hold Time, SDI, after SCLK ↓	$t_h$	20	-	-	ns
Setup Time, FSYNC (mode 2) before MCLK ↓	$t_{su}$	25	-	-	ns
Hold Time, FSYNC (mode 2) after MCLK ↓	$t_h$	20	-	-	ns



รูปที่ 3.3 ไทมิงไดอะแกรมของการเชื่อมต่อแบบอนุกรม

เอกสารนี้เป็นเอกสารที่สงวนไว้สำหรับการใช้งานเพื่อการศึกษาเท่านั้น ไม่อนุญาตให้นำไปใช้ประโยชน์ด้านการค้า ไม่ว่าจะกรณีใดๆทั้งสิ้น อีกทั้งห้ามมิให้ดัดแปลงเนื้อหา และต้องอ้างอิงถึงเจ้าของเอกสารทุกครั้งที่มีการนำไปใช้

เลือกโหมดการรับส่งข้อมูล โดยใช้ตัวต้านทาน 50 k $\Omega$  พลู๊ฟ/ควาน์ ที่ขา SDO และ SDI ตามตารางที่ 3.2 สำหรับในโครงการนี้จะกำหนดให้รับส่งข้อมูลแบบอนุกรมในโหมดที่ 1 โดยให้ ไอซี Si3000 เป็นมาสเตอร์

ตารางที่ 3.2 โหมดการเชื่อมต่อแบบอนุกรม

โหมด	SCLK*	SDO*	รายละเอียด
0	0	0	$\overline{FSYNC}$ เฟรมข้อมูล
1	0	1	$\overline{FSYNC}$ เป็นสัญญาณขึ้นบันไดเริ่มเฟรมข้อมูล
2	1	0	สเตฟโหมด
3	1	0	ไม่ใช้งาน

\*เมื่อ : พลู๊ฟ/พลูควาน์

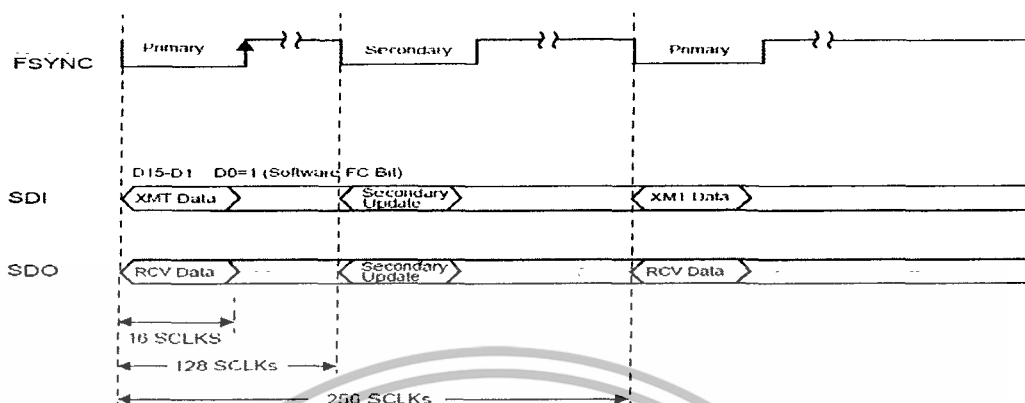
เมื่อกำหนดให้ ไอซี Si3000 เป็นมาสเตอร์ (master clock - MCLK) จะเป็นอินพุต และ (serial data clock : SCLK) จะเป็นเอาต์พุต และ SCLK จะทำงานที่ 256 บิต ต่อเฟรม เมื่อเฟรมเรท (frame rate) มีค่าเท่ากับความเร็วสุ่มตัวอย่าง (Fs) โดยการส่งและรับข้อมูลจะแบ่งออกเป็น 2 เฟรม คือ

- เฟรมปฐมภูมิ จะใช้สำหรับเก็บจุดตัวอย่างข้อมูลสัญญาณเสียงดิจิทัล
- เฟรมทุติยภูมิ จะใช้ติดต่อกับรีจิสเตอร์ ภายในของ ไอซี Si3000 และจะเกิดขึ้นเฉพาะเวลาถูกร้องขอเท่านั้น

การส่งข้อมูลในเฟรมปฐมภูมิ (จาก dsPIC ไปยัง ไอซี Si3000) จะใช้ LSB เป็นบิตร้องขอเฟรมทุติยภูมิ ดังนั้นข้อมูลเสียงที่ส่งมาจะมีเพียง 15 บิตเท่านั้น และเมื่อเฟรมทุติยภูมิ ไม่ปรากฏก็จะไม่เกิดการส่งข้อมูลในไทม์สล็อตนี้

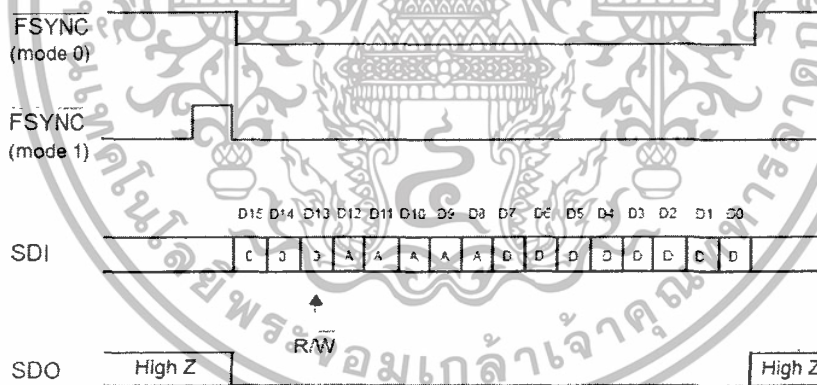
การรับข้อมูลในเฟรมปฐมภูมิ (จาก ไอซี Si3000 ไปยัง dsPIC) ในโหมด 0 หรือ 1 จะรับทางขา SDO พร้อมกับข้อมูลเสียง เมื่อ dsPIC ได้รับเฟรมปฐมภูมิ แล้วจะตรวจสอบ LSB ว่าจะรับข้อมูลจาก ไอซี Si3000 ต่อ หรือส่งเฟรมทุติยภูมิออกไป

สำหรับการส่งและรับข้อมูลในเฟรมทิวเทียม จะส่งและรับข้อมูลแบบ 16 บิต ดังรูปที่ 3.4



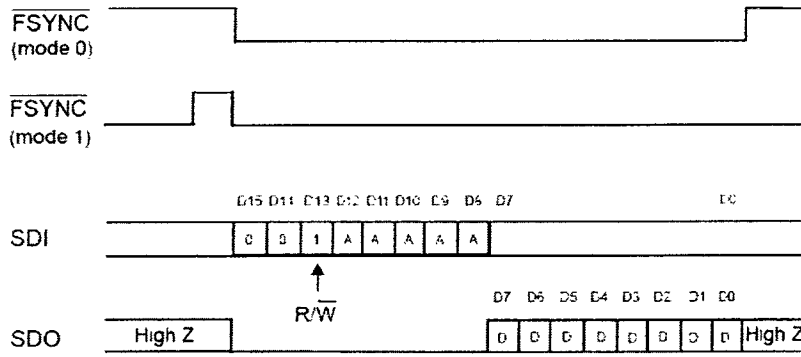
รูปที่ 3.4 การร้องขอเฟรมทิวเทียม

ระหว่างการเขียนข้อมูลบิต R/W จะถูกเคลียร์ ตามด้วย แอดเดรสของรีจิสเตอร์ที่เขียนขนาด 5 บิตแล้วตามด้วย ข้อมูลขนาด 8 บิต และจะมีรีจิสเตอร์เพียงตัวเดียวเท่านั้นที่จะถูกอ่านหรือเขียนในเฟรมทิวเทียมดังรูปที่ 3.5



รูปที่ 3.5 การเขียนข้อมูลลงเฟรมทิวเทียม

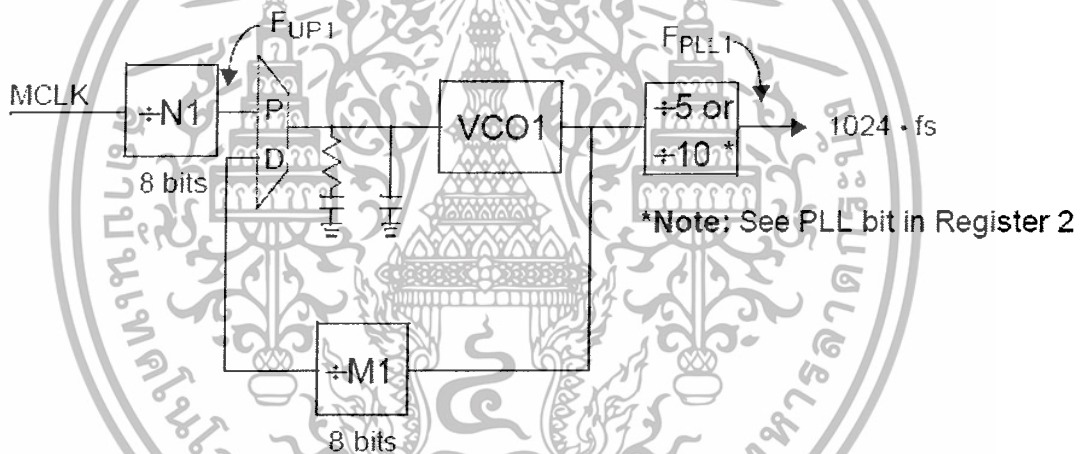
ระหว่างการอ่านข้อมูล บิต R/W จะถูกกำหนดให้เป็น 1 ตามด้วย แอดเดรสของรีจิสเตอร์ที่อ่านขนาด 5 บิต ส่วนข้อมูลขนาด 8 บิต ที่เหลือจะใช้กับ รีจิสเตอร์ควบคุม (control register) ซึ่งข้อมูลจะถูกเขียนผ่านขา SDO ดังรูปที่ 3.6



รูปที่ 3.6 การอ่านข้อมูลจากเฟรมทุดิยภูมิ

### 3.1.3 การเลือกความถี่สัญญาณนาฬิกา

ไอซี Si3000 สามารถสร้างความถี่สุ่มตัวอย่าง โดยใช้ฮอสซิลเลเตอร์จากภายนอก (MCLK) เป็นตัวกำหนด



รูปที่ 3.7 ระบบการสร้างสัญญาณนาฬิกาด้วยเฟสล็อกกลูป

สัญญาณนาฬิกาที่ใช้ในการสุ่มตัวอย่างจะถูกสร้างมาจากเฟสล็อกกลูป ซึ่งจากรูปที่ 3.7  $F_{PLL1}$  จะเป็นตัวกำหนดค่าความถี่สุ่มตัวอย่าง สถาปัตยกรรมระบบนี้เป็นแบบวงปิด ที่ใช้รีจิสเตอร์ 2 ตัว เป็นตัวกำหนดความถี่สุ่มตัวอย่าง ซึ่งใช้วิธีกำหนดค่าทางโปรแกรม นอกจากนั้นความถี่จาก MCLK ยังสามารถรองรับในช่วงความถี่ 1 MHz ถึง 60 MHz โดยตัวกำเนิดสัญญาณนาฬิกา (clock generator) จะสร้างความถี่สัญญาณนาฬิกา ที่  $1024 \cdot F_s$  เมื่อ  $F_s$  คือความถี่สุ่มตัวอย่างที่ต้องการ

### 3.1.4 การกำหนดค่ารีจิสเตอร์สำหรับตัวกำเนิดสัญญาณนาฬิกา

ประกอบด้วยรีจิสเตอร์ 2 ตัวได้แก่

Register 3 - N1 divider, 8 bits

Register 4 - M1 divider, 8 bits

เมื่อ N1 และ M1 เป็นรีจิสเตอร์ ขนาด 8 บิต แบบไม่คิดเครื่องหมาย

เราสามารถคำนวณค่า N1 และค่า M1 ได้ตามสมการความสัมพันธ์ ระหว่างความถี่จาก MCLK และความถี่สุ่มตัวอย่าง ดังสมการที่ (3.21)

$$\frac{M1}{N1} = \frac{5 * 1024 * F_s}{MCLK} \quad (3.21)$$

เมื่อ:  $F_s$  คือ ความถี่สุ่มตัวอย่าง

ตารางที่ 3.3 ตัวอย่างค่าความถี่จาก MCLK ในการสร้างความถี่สุ่มตัวอย่าง 8 kHz

ความถี่ออสซิลเลเตอร์ MCLK (MHz)	N1	M1
1.8432	9	200
4.000	25	256
4.0960	1	10
5.2800	33	256
5.7600	9	64
6.1440	3	20
8.1920		5
9.2160	9	40
10.0800	63	256
10.5600	33	128
11.0592	27	100
12.288	3	10
14.7456	9	25
16.000	25	64

เอกสารนี้เป็นเอกสารที่สงวนไว้สำหรับการใช้งานเพื่อการศึกษาเท่านั้น ไม่อนุญาตให้นำไปใช้ประโยชน์ด้านการค้า ไม่ว่าจะกรณีใดๆทั้งสิ้น อีกทั้งห้ามมิให้ดัดแปลงเนื้อหา และต้องอ้างอิงถึงเจ้าของเอกสารทุกครั้งที่มีการนำไปใช้

ลำดับการเขียนรีจิสเตอร์ มีความสำคัญมากสำหรับความถี่ที่ได้จากระบบนี้  $N1$  จะต้องถูกเขียนก่อน  $M1$  เสมอ

ข้อสังเกต ค่า  $N1$  และ ค่า  $M1$  ที่ถูกเขียนจริงจะต้องน้อยกว่าการคำนวณอยู่ 1 เสมอ

ขั้นตอนสุดท้ายของการออกแบบ คือการปรับแก้อัตราความถี่ (update rate) ตามสมการที่ (3.22) และ (3.23)

$$\text{PLL lock time} < 1 \text{ ms} \quad (3.22)$$

$$F_{up} = \frac{F_{MCLK}}{N1} \geq 144 \text{ kHz} \quad (3.23)$$

เมื่อ:  $F_{up}$  คือ ความถี่ที่เข้ามาเพื่อทำการปรับแก้ ดังแสดงในรูปที่ 3.7

เมื่อทราบความถี่จาก MCLK และความถี่สุ่มตัวอย่างที่ออกแบบ จะทำให้สามารถคำนวณค่ารีจิสเตอร์  $M1$  และ  $N1$  ได้ สิ่งที่ต้องพิจารณาอีกสิ่งหนึ่ง คือช่วงของแต่ละรีจิสเตอร์ ควรเป็นช่วงที่น้อยที่สุดของการปรับแก้อัตราความถี่ของเฟสล็อกกลุ๊ป นั้นหมายความว่า  $M1$  และ  $N1$  นั้นต้องเป็นอัตราส่วนอย่างต่ำ นอกจากนั้น ค่าที่คำนวณออกมาต้องลบออก “1” ในเวลาเขียนข้อมูลลงรีจิสเตอร์เสมอ เนื่องจากการเก็บค่าในรีจิสเตอร์ จะเริ่มตั้งแต่ 0

### 3.2 หน่วยแสดงผล

ในโครงการนี้ผู้จัดทำได้ใช้จอแสดงผลในการแสดงค่าอัตราส่วนของสัญญาณเสียงสนทนา ต่อเสียงสัญญาณรบกวน SNR และใช้หลอด LED ในการแสดงโหมดการทำงานของโปรแกรม และเนื่องจากผู้จัดทำใช้บอร์ดทดลอง dsPICDEM 1.1 ในการพัฒนาโปรแกรม ซึ่งในบอร์ดนี้มีส่วนแสดงผลอยู่แล้วอันประกอบด้วย จอแสดงผล LCD และหลอดไฟในส่วนของจอแสดงผล LCD เป็นแบบคอตเมตริกซ์ (dot-matrix) 122x32 ขนาด 4 บรรทัด 20 ตัวอักษร ใช้ไอซี PIC18F242 LCD เป็นคอนโทรลเลอร์ ติดต่อกับ LCD ในโหมด 8 บิต และ dsPIC30F6014 ซึ่งเป็นไมโครคอนโทรลเลอร์ ตัวหลักจะทำการเชื่อมต่อกับ ไอซี PIC18F242 LCD ผ่านการสื่อสารแบบอนุกรม SPI โดยผู้จัดทำกำหนดให้ dsPIC30F6014 เป็นมาสเตอร์ และไอซี PIC18F242 LCD เป็น สเลฟ ดังที่ได้กล่าวถึงลักษณะการเชื่อมต่อมาแล้วในบทที่ 2

### 3.3 หน่วยประมวลผลกลางและกำจัดเสียงรบกวน

ในที่นี้ผู้จัดทำจะแยกอธิบายถึงกระบวนการกำจัดเสียงรบกวน และขั้นตอนการทำงานของโปรแกรม (flow chart) โดยรวมเพื่อให้ง่ายต่อการเข้าใจดังนี้

#### 3.3.1 กระบวนการกำจัดเสียงรบกวน

หลักการทำงานในภาพรวมของการกำจัดเสียงรบกวน สามารถแสดงได้ดังในรูปที่ 3.8 ซึ่งประกอบด้วยส่วนประกอบต่างๆ ดังนี้

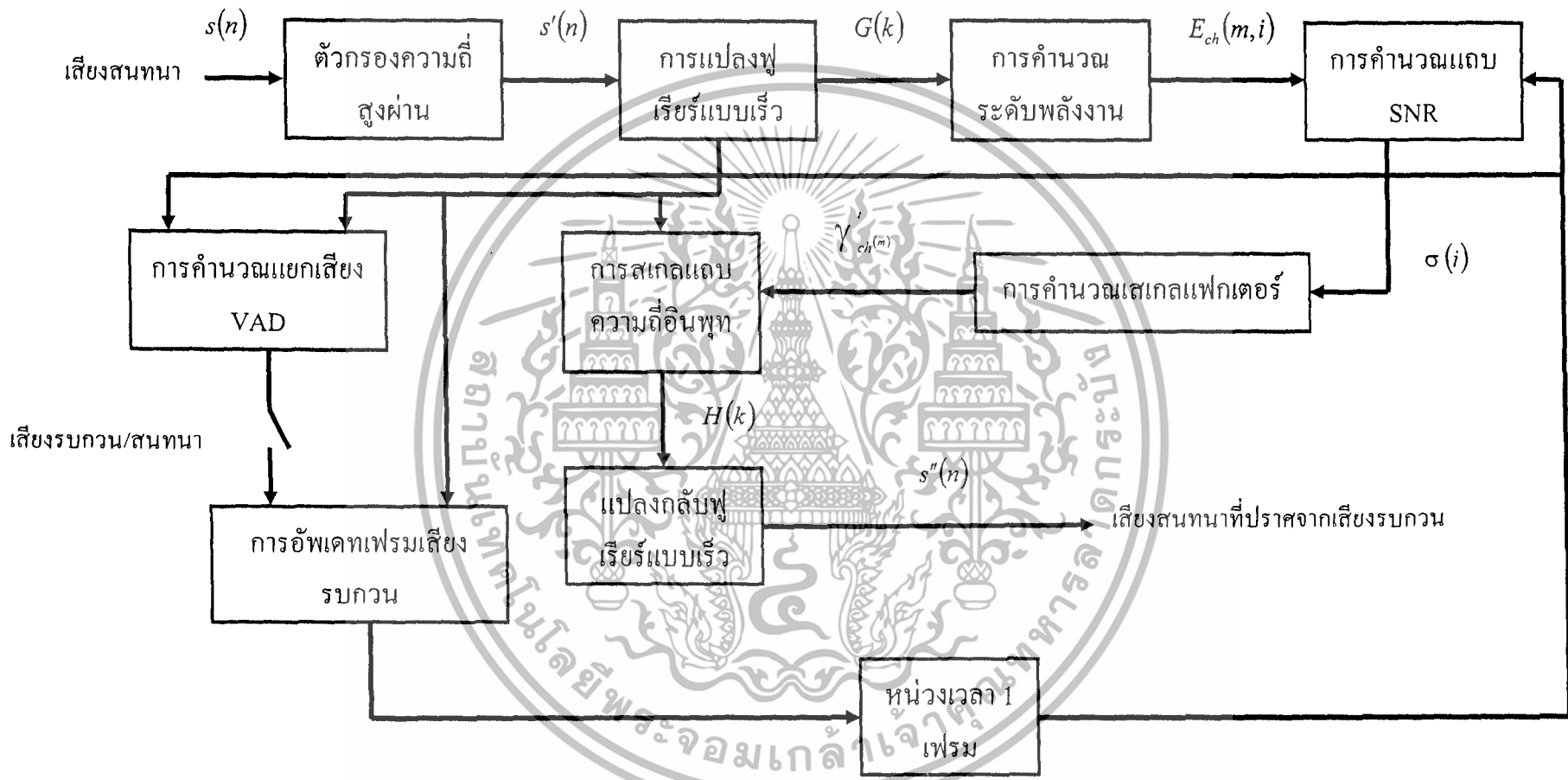
- ตัวกรองความถี่สูงผ่าน ( High-Pass Filter )
- การแปลงฟูรีเยร์แบบเร็ว ( Fast Fourier Transform )
- การคำนวณระดับพลังงาน ( Band Energy Computation )
- การคำนวณแถบ SNR ( Band SNR Computation )
- การคำนวณสเกลแฟกเตอร์ ( Scale Factor Computation )
- การคำนวณแยกแยะระหว่างสัญญาณเสียงพูดและสัญญาณเสียงรบกวน ( Voice Activity Detection and Noise Band Energy Computation : VAD )
- การปรับสเกลของแถบความถี่ ( Scaling of Frequency Bands )
- การแปลงกลับของสัญญาณในโดเมนของเวลา ( Time Domain Conversion )

#### ตัวกรองความถี่สูงผ่าน

ตัวกรองความถี่สูงผ่าน (High-Pass Filter : HPF) จะมีความถี่คutoff ที่ 80 Hz ใช้ในการตัดองค์ประกอบความถี่ต่ำของสัญญาณ ไฟกระแสดตรง และความถี่อื่นๆที่ใกล้เคียงกับสัญญาณเสียงพูด ผลลัพธ์ของการกรองนี้จะได้  $s'(t)$  ตามบล็อกไดอะแกรมในรูปที่ 3.8

ทรานเฟอร์ฟังก์ชัน (transfer function) ของตัวกรองความถี่สูงผ่านแสดงดังสมการที่ (3.24)

$$H(z) = 0.5 \frac{0.92727435 - 1.8544941z^{-1} + 0.92727435z^{-2}}{1 - 1.9059465z^{-1} + 0.9114024z^{-2}} \quad (3.24)$$



รูปที่ 3.8 บล็อกไดอะแกรมการกำจัดเสียงรบกวน

### การแปลงฟูเรียร์แบบเร็ว

สัญญาณเสียงที่เข้ามาจะถูกทำการเน้นเสียงเน้นคำ (pre-emphasized) ดังสมการที่ (3.25)

$$d(n) = s(n) + \xi s'(n-1) \quad (3.25)$$

เมื่อ:  $\xi = -0.8$

การเน้นเสียงเน้นคำสัญญาณนั้นจะทำทุก 10 ms และจะเกิดการเหลื่อมกันของสัญญาณในเฟรมก่อนหน้าอีก 3 ms ดังนั้นจาก 104 ตัวอย่างสัญญาณ ผลของการเน้นเสียงเน้นคำจะทำให้เกิด zero-padded ขึ้นมา 24 ตัว ด้วยเหตุนี้จึงเกิดสัญญาณตัวอย่าง 128 ตัว สัญญาณที่ได้จะถูกนำมาประมวลผลโดยใช้วินโดว์ (buffer window coefficients) ตามตารางที่ 3.4

ตารางที่ 3.4 สัมประสิทธิ์ของวินโดว์ฟังก์ชันต่างๆ (BUFFER WINDOW COEFFICIENTS)

สัมประสิทธิ์ของวินโดว์ฟังก์ชัน	เงื่อนไข
$\sin^2(\pi(n+0.5)/2D)$	$0 \leq n < D$
1	$D \leq n < L$
$\sin^2(\pi(n-L+D+0.5)/2D)$	$L \leq n < D+L$
0	$D+L \leq n < M$

เมื่อ:  $D$  คือ จำนวนจุดสัญญาณที่เกิดการเหลื่อมกันในเฟรมก่อนหน้า = 24

$L$  คือ จำนวนจุดสัญญาณในหนึ่งเฟรม = 80

$M$  คือ ความยาวของการประมวลผลแบบ FFT = 128

จำนวนเชิงซ้อนจากการแปลงฟูเรียร์แบบเร็ว 64 จุด จะถูกแปลงให้อยู่ในรูปของจำนวนจริง 128 จุด และกระบวนการนี้เองจะให้ผลลัพธ์เป็นเวกเตอร์จำนวนจริง 128 จุด ซึ่งกระบวนการนี้จะอธิบายต่อไป

ขั้นตอนของ FFT สามารถจัดการกับสัญญาณอินพุตเชิงซ้อนได้โดยการกระจายให้อยู่ในรูปการคำนวณของ DFT ในรูปจำนวนจริง 2 จำนวน :  $x_1(n), x_2(n)$  บนความยาว  $N$  และ  $x(n)$  คือ จำนวนเชิงซ้อน ดังแสดงในสมการที่ (3.26)

$$x(n) = x_1(n) + jx_2(n) \quad \text{สำหรับ } 0 \leq n \leq N-1 \quad (3.26)$$

เอกสารนี้เป็นเอกสารที่สงวนไว้สำหรับการใช้งานเพื่อการศึกษาเท่านั้น ไม่อนุญาตให้นำไปใช้ประโยชน์ด้านการค้า ไม่ว่าจะกรณีใดๆทั้งสิ้น อีกทั้งห้ามมิให้ดัดแปลงเนื้อหา และต้องอ้างอิงถึงเจ้าของเอกสารทุกครั้งที่มีการนำไปใช้

ทำการแปลงฟูเรียร์แบบไม่ต่อเนื่อง จะได้สมการที่ (3.27)

$$X(k) = X_1(k) + jX_2(k) \quad (3.27)$$

กระจาย  $x_1(n)$  และ  $x_2(n)$  ในรูปของ  $x(n)$  ดังสมการที่ (3.28)

$$\begin{aligned} x_1(n) &= (x(n) + x^*(n))/2 \\ x_2(n) &= (x(n) - x^*(n))/2j \end{aligned} \quad (3.28)$$

ดังนั้น DFT ของ  $x_1(n)$  และ  $x_2(n)$  จะอยู่ในรูปดังสมการที่ (3.29)

$$\begin{aligned} X_1(n) &= \{DFT(x(n)) + DFT(x^*(n))\}/2 \\ X_2(n) &= \{DFT(x(n)) - DFT(x^*(n))\}/2j \end{aligned} \quad (3.29)$$

ให้ DFT ของ  $x^*(n)$  คือ  $X^*(N-k)$  จะได้สมการใหม่ดังสมการที่ (3.30)

$$\begin{aligned} X_1(k) &= \{X(k) + X^*(N-k)\}/2 \\ X_2(k) &= \{X(k) - X^*(N-k)\}/2j \end{aligned} \quad (3.30)$$

ให้  $g(n)$  เป็นค่าจริงของ  $2n$  จุด เราจะแบ่ง  $g(n)$  ให้อยู่ในจำนวน 2 จำนวนได้ดังสมการที่ (3.31)

$$\begin{aligned} x_1(n) &= g(2n) \\ x_2(n) &= g(2n+1) \end{aligned} \quad (3.31)$$

ดังนั้นค่าจริง  $2n$  จุด จะสามารถกระจายให้อยู่ในรูปจำนวนจริงสองจำนวนตามวิธีการข้างต้น โดยให้  $x(n)$  เป็นจำนวนเชิงซ้อน  $n$  จุดนั้นจะได้สมการที่ (3.31) และ สมการที่ (3.32) ตามลำดับ

$$x(n) = x_1(n) + jx_2(n) \quad (3.31)$$

$$\begin{aligned} X_1(k) &= \{X(k) + X^*(N-k)\}/2 \\ X_2(k) &= \{X(k) - X^*(N-k)\}/2j \end{aligned} \quad (3.32)$$

ท้ายที่สุดเราต้องกระจาย DFT  $2n$  จุด ในรูป  $N$  จุด :  $X_1(k)$  และ  $X_2(k)$  ซึ่งในกระบวนการนี้เราจะใช้ FFT จัดการเพื่อประสิทธิภาพในการคำนวณ ดังสมการที่ (3.33)

เอกสารนี้เป็นเอกสารที่สงวนไว้สำหรับการใช้งานเพื่อการศึกษาเท่านั้น ไม่อนุญาตให้นำไปใช้ประโยชน์ด้านการค้า ไม่ว่าจะกรณีใดๆทั้งสิ้น อีกทั้งห้ามมิให้ดัดแปลงเนื้อหา และต้องอ้างอิงถึงเจ้าของเอกสารทุกครั้งที่มีการนำไปใช้

$$G(k) = \sum_{n=0}^{n=N-1} g(2n)W_{2N}^{2nk} + \sum_{n=0}^{n=N-1} g(2n+1)W_{2N}^{(2n+1)k} \quad (3.33)$$

$$G(k) = \sum_{n=0}^{n=N-1} x_1(n)W_N^{nk} + W_{2N}^k \sum_{n=0}^{n=N-1} x_2(n)W_N^{nk}$$

ดังนั้น จะได้

$$\begin{aligned} G(k) &= X_1(k) + W_{2N}^k X_2(k) \\ G(k+N) &= X_1(k) - W_{2N}^k X_2(k) \end{aligned} \quad \text{เมื่อ } k = 0, 1, \dots, N-1 \quad (3.34)$$

เนื่องจาก FFT เป็นฟังก์ชันของเหตุการณ์จริง ดังนั้นผลลัพธ์เชิงซ้อน 128 จุดนั้น เราจึงสามารถคำนวณแค่ 67 จุดแรกได้

การคำนวณระดับพลังงาน

สเปกตรัมความถี่ (frequency spectrum) ของสัญญาณเสียงที่ทำ FFT แล้ว จะถูกแบ่งแถบพลังงานออกมาเป็น 16 ระดับ ซึ่งแต่ละระดับจะถูกคำนวณโดยใช้การรวมพลังงานที่รั่ว (leak integration) ดังแสดงในตารางที่ 3.5

ตารางที่ 3.5 แถบพลังงานของสเปกตรัมความถี่ (BAND ENERGY SIGNAL SPECTRUM)

แถบพลังงาน	ความถี่ขอบบน (FFT Index) FL(i)	ความถี่ขอบล่าง (FFT Index) FH(i)
1	2	3
2	4	5
3	6	7
4	8	9
5	10	11
6	12	13
7	14	16
8	17	19
9	20	22
10	23	26
11	27	30
12	31	35
13	36	41
14	42	48
15	49	55

เอกสารนี้เป็นเอกสารที่สงวนไว้สำหรับการใช้งานเพื่อการศึกษาเท่านั้น ไม่อนุญาตให้นำไปใช้ประโยชน์ด้านการค้า ไม่ว่าจะกรณีใดๆทั้งสิ้น อีกทั้งห้ามมิให้ดัดแปลงเนื้อหา และต้องอ้างอิงถึงเจ้าของเอกสารทุกครั้งที่มีการนำไปใช้

แถบพลังงาน 'i' แต่ละระดับจะขึ้นอยู่กับการคำนวณในสมการที่ (3.35) ดังนี้

$$E_{ch}(m,i) = \max \left\{ E_{\min}, \alpha_{ch} E_{ch}(m-1,i) + (1-\alpha_{ch}) \frac{\sum_{k=f_L(i)}^{k=f_H(i)} |G(k)|^2}{f_H(i)-f_L(i)+1} \right\} \quad (3.35)$$

เมื่อ :  $\alpha_{ch} = 0$  สำหรับข้อมูลเฟรมแรก และ เท่ากับ 0.55 ในเฟรมอื่นๆ

$$E_{\min} = 0.0625$$

$G(k)$  คือ FFT ของสัญญาณอินพุต

$m$  คือ เฟรมข้อมูล

### การคำนวณแถบ SNR

แต่ละแถบความถี่จะถูกคำนวณอัตราส่วนระหว่างสัญญาณเสียงพูด ต่อเสียงรบกวน (Signal to Noise Ratio: SNR) โดยแถบพลังงานจะถูกคำนวณแบบขั้นบันได และสัญญาณรบกวนแต่ละแถบความถี่จะถูกนำไปใช้ในการคำนวณ สเกลแฟกเตอร์ (scale factor) ซึ่งสัญญาณที่ได้นี้จะถูกอัพเดทในเฟรมสัญญาณรบกวนต่อไป

ถ้า  $E_n(m,i)$  คือ พลังงานของเสียงรบกวนสำหรับเฟรม  $m$  แล้ว สเกลแฟกเตอร์ ของแถบพลังงาน  $i$  จะคำนวณได้ตามสมการที่ (3.36)

$$\sigma(i) = \max \left\{ 0, \text{round} \left( 10 \log \left( \frac{E_{ch}(m,i)}{E_n(m,i)} \right) \right) \right\} \quad (3.36)$$

### การคำนวณสเกลแฟกเตอร์

สเกลแฟกเตอร์ของสัญญาณจะถูกนำไปคูณกับแถบความถี่ที่คำนวณเอาไว้ และทุกแถบความถี่ สเกลแฟกเตอร์จะแทนด้วยค่าคงที่ตั้งแต่ 15 dB จนถึงแถบ SNR ของแต่ละแถบความถี่ซึ่งสเกลแฟกเตอร์นี้ จะถูกเปลี่ยนจากสเกลในรูปของลอการิทึม (logarithmic scale) ไปเป็นสเกลในรูปเชิงเส้น (linear scale)

ถ้า  $i$  เป็นแถบความถี่ของพลังงานในแต่ละระดับ สเกลแฟกเตอร์ของสัญญาณจะถูกคำนวณในสเกลลอการิทึม ตามสมการที่ (3.37)

$$\gamma_{dB}^i(m) = \min(\sigma(i) - 15, 0) \quad (3.37)$$

เอกสารนี้เป็นเอกสารที่สงวนไว้สำหรับการใช้งานเพื่อการศึกษาเท่านั้น ไม่อนุญาตให้นำไปใช้ประโยชน์ด้านการค้า ไม่ว่าจะกรณีใดๆทั้งสิ้น อีกทั้งห้ามมิให้ดัดแปลงเนื้อหา และต้องอ้างอิงถึงเจ้าของเอกสารทุกครั้งที่มีการนำไปใช้

และสามารถเปลี่ยนให้อยู่ในรูปของสเกลเชิงเส้น ตามสมการที่ (3.38)

$$\gamma_{ch}^i(m) = 10^{\gamma_{db}^{(m)}/20} \quad (3.38)$$

#### การคำนวณแยกแยะระหว่างเสียงสนทนาและเสียงรบกวน

แถบพลังงานในเฟรม และแถบพลังงานของเสียงรบกวนจะถูกนำมาเปรียบเทียบ เพื่อที่จะจัดจำแนกเฟรมนั้นว่าเป็น เฟรมของเสียงรบกวน หรือเฟรมของเสียงพูด เฟรมข้อมูล 6 เฟรม จะถูกนำไปใช้ในการส่งเฟรมจากเฟรมสัญญาณเสียงพูดถึงเฟรมสัญญาณเสียงรบกวน และถ้าในเฟรมนั้น ถูกดำเนินการโดยฟังก์ชัน VAD แล้วแถบพลังงานของเสียงรบกวน จะถูกอัปเดต

สำหรับข้อมูล 12 เฟรมแรก แถบพลังงานของเสียงรบกวนจะถูกอัปเดตอย่างต่อเนื่องโดยไม่คำนึงถึงเสียงรบกวนและเสียงพูดระหว่างเฟรม

ตามขั้นตอนนี้จะถูกพิจารณาไม่ว่าเฟรมปัจจุบันนั้น จะเป็นเสียงรบกวนหรือไม่โดย

1. ให้ตัวนับเป็น 0
2. ถ้าในแถบพลังงานของเสียงมากกว่า 1.5 เท่าของแถบพลังงานเสียงรบกวน ตัวนับจะเพิ่มขึ้น 1 ค่า
3. ถ้าตัวนับมีค่ามากกว่า 5 ในเฟรมปัจจุบัน (เช่น ถ้า 5 ของ 16 แถบพลังงานมากกว่า 1.5 เท่าเหมือนกับแถบพลังงานเสียงรบกวน) แล้วเฟรมปัจจุบันนั้นจะลดค่าเป็นเฟรมสนทนา

นอกจากนั้นเฟรมปัจจุบันจะถูกพิจารณาเป็นเฟรมของสัญญาณรบกวน และ แถบพลังงานของสัญญาณรบกวน ซึ่งทั้งคู่จะถูกอัปเดตโดยใช้วิธี รวมพลังงานที่รั่ว (leaky integration) ดังสมการที่ (3.39)

$$E_n(m+1, i) = \max\{E_{\min}, (\alpha_n E_n(m, i) + (1 - \epsilon_n) E_{cn}(m, i))\} \quad (3.39)$$

เมื่อ  $0 \leq i < N_c$

$N_c$  คือ ลำดับสุดท้ายของแถบพลังงาน  $i$

#### การปรับสเกลของแถบความถี่

ผลลัพธ์ของการแปลง FFT ที่ยังไม่ได้จัดจำแนกแถบพลังงานจะถูกคูณด้วยอัตราส่วนที่เหมาะสมของสเกลแฟกเตอร์ และจากกระบวนการนี้เองจะเป็นการกรองเสียงรบกวนสำหรับทุกองค์ประกอบของความถี่  $k$  ที่ยังไม่ได้จัดจำแนกแถบพลังงาน  $i$  ผลลัพธ์ของการสเกลจะได้  $H(k)$  ดังสมการที่ (3.40)

เอกสารนี้เป็นเอกสารที่สงวนไว้สำหรับการใช้งานเพื่อการศึกษาเท่านั้น ไม่อนุญาตให้นำไปใช้ประโยชน์ด้านการค้า ไม่ว่าจะกรณีใดๆทั้งสิ้น อีกทั้งห้ามมิให้ดัดแปลงเนื้อหา และต้องอ้างอิงถึงเจ้าของเอกสารทุกครั้งที่มีการนำไปใช้

$$\begin{aligned} H(k) &= \gamma_{ch}(i)G(k); & f_L(i) \leq k \leq f_H(i), 0 \leq i < Nc \\ H(k) &= G(k); & 0 \leq f_L(0), f_H(Nc-1) < k \leq m/2 \end{aligned} \quad (3.40)$$

จากสมการที่ (3.40) จะสังเกตว่า  $H(k)$  จะไม่เปลี่ยนตามสเกลแฟกเตอร์ ยิ่งไปกว่านั้น เนื่องจาก  $H(k)$  ต้องการขนาดซึ่งเป็นฟังก์ชันจำนวนคู่ และเฟสเป็นฟังก์ชันจำนวนคี่ ซึ่งตามข้อจำกัดนี้จะถูกนำมาตัดแปลงมาใช้ในการคำนวณข้างล่างดังนี้

$$H(M-k) = H^*(k); \quad (3.41)$$

เมื่อ  $0 \leq k < M/2$

การแปลงกลับของสัญญาณในโดเมนของเวลา

ท้ายที่สุดองค์ประกอบความถี่ของสัญญาณจะถูกแปลงกลับ ในโดเมนของเวลาตามเดิม โดย 48 จุดแรกสัญญาณของ FFT จะถูกเพิ่มเข้าไปใน 48 จุดสัญญาณของเฟรมสุดท้าย การแปลงกลับของสัญญาณ จะอธิบายได้ดังสมการที่ (3.42) ดังนี้

$$\begin{aligned} h'(n) &= h(m, n) + h(m-1, n+L) & 0 \leq n < M-L \\ h'(n) &= h(m, n) & M-L \leq n < L \\ s''(n) &= h'(n) + \xi s''(n-1) & 0 \leq n < L \end{aligned} \quad (3.42)$$

เมื่อ  $s''(n)$  คือ สัญญาณเสียงพูดที่กำจัดสัญญาณรบกวนแล้ว

$\xi$  คือ ค่าคงที่เท่ากับ 0.8

### 3.3.2 โปรแกรมการทำงาน

สำหรับโครงการนี้ เราสามารถรับเสียงจากไฟล์ในคอมพิวเตอร์ หรือทางไมโครโฟน สัญญาณเสียงที่มีเสียงรบกวนจะถูกสุ่มตัวอย่างผ่านทางไอซี Si3000 และโมดูล DCI ของไมโครคอนโทรลเลอร์ dsPIC30F6014 ส่วนสัญญาณเสียงที่กำจัดเสียงรบกวนแล้ว จะส่งสัญญาณออกมาผ่านทางโมดูล DCI และ ไอซี Si3000

ในหัวข้อนี้จะแสดงรูปแบบผังการทำงานของโปรแกรมโดยรวม และรูปแสดงการทำงานภายในโปรแกรมอย่างละเอียด ในรูปที่ 3.9 แสดงถึงภาพรวมในการทำงานของฟังก์ชัน main() ซึ่งจัดเป็นฟังก์ชันหลักของโปรแกรม ขั้นตอนการทำงานหลักภายในโปรแกรมแบ่งออกเป็น 4 ขั้นตอนได้แก่

1. ตรวจสอบการกดปุ่ม SW 1-4 เพื่อเลือกโหมดการทำงานได้แก่ โหมด A และโหมด B
2. กำหนดค่าเริ่มต้นในการกำจัดสัญญาณเสียงรบกวน ด้วยฟังก์ชัน NoiseSuppressionInit()
3. กำหนดค่าเริ่มต้นในการเชื่อมต่ออุปกรณ์ภายนอกได้แก่
  - ฟังก์ชัน InitSPI() ใช้ในการกำหนดค่าเริ่มต้นโมดูล SPI เพื่อทำการเชื่อมต่อกับ LCD
  - ฟังก์ชัน Init\_DCIC() ใช้ในการกำหนดค่าเริ่มต้นโมดูล DCI เพื่อทำการเชื่อมต่อกับ Si3000
  - ฟังก์ชัน Init\_Si3000() ใช้ในการกำหนดค่าเริ่มต้นภายในรีจิสเตอร์ของ Si3000
4. เริ่มต้นการทำงานเข้าและถอดรหัสเสียง ภายในจะมี ฟังก์ชันวนรอบไม่รู้จบ while(start) ตัวแปร intr\_count จะถูกนับค่าเพิ่ม ก็ต่อเมื่อ โมดูล DCI เกิดการอินเทอร์รัปต์ เมื่ออินเทอร์รัปต์ครบ 80 ครั้ง ก็จะเข้าสู่การตรวจสอบโหมดการทำงาน ในกรณีที่ทำงานในโหมด A ตัวแปร runnsflag จะถูกกำหนดให้เป็น "1" ถ้าทำงานในโหมด B ตัวแปร runnsflag จะยังคงเท่ากับ "0" นั้นหมายความว่า โหมด A จะประมวลผลสัญญาณเสียงแล้วกำจัดเสียงรบกวนออกด้วยฟังก์ชัน NoiseSuppression() ในขณะที่โหมด B จะเป็นเพียงการเข้าและถอดรหัสเสียง

ในรูปที่ 3.10 ถึง 3.14 จะแสดงถึงแผนผังการทำงานอย่างละเอียดของโปรแกรม ได้แก่ ฟังก์ชัน InitSPI(), ฟังก์ชัน Init\_DCIC(), ฟังก์ชัน DCIInterrupt(), ฟังก์ชัน Init\_Si3000() และโปรแกรมภาษาซี ns\_8k.c ตามลำดับ

โปรแกรมภาษาซีนี้ ทำงานบน dsPIC30F6014 ใช้ระบบสัญญาณนาฬิกาในโหมด XT ร่วมกับ ตัวคูณเฟสล็อกคูล 8 เท่า

ไฟล์ ns\_8k.c จะบรรจุฟังก์ชันหลักไว้ภายใน และเรียกตัวแปรทุกตัวรวมถึงตัวแปรอะเรย์ที่อยู่ในหน่วยความจำข้อมูลซึ่งจำเป็นต่อการรับส่งข้อมูลผ่านทางโมดูล DCI ตัวแปร CodecRxBuffer และCodecTxBuffer เป็นบัฟเฟอร์ในการรับและส่งข้อมูลสัญญาณเสียงที่เข้ารหัส แต่ละตัวแปรมีขนาด 240 เวิร์ด (ขนาดเฟรม 10 มิลลิวินาที จำนวน 3 เฟรม สุ่มจุดตัวอย่างที่ความถี่ 8 kHz ตัวแปร

CodecTxRIndex, CodecTxWIndex, CodecRxRIndex และCodecRxWIndex เป็น ครรชนีการเขียน และอ่าน สำหรับการส่งและรับสัญญาณเสียงที่เข้ารหัส ครรชนีการอ่านจะตามหลังครรชนีการเขียน อยู่ 160 จุดตัวอย่างสัญญาณ เพื่อให้มั่นใจว่าข้อมูลถูกอ่านหลังจากข้อมูลถูกเขียน

โปรแกรมจะเริ่มเข้าสู่ฟังก์ชัน NoiseSuppressionInit() สำหรับการกำหนดค่าเริ่มต้นในการ เข้าสู่กระบวนการกำจัดสัญญาณเสียงรบกวน หลังจากนั้นจะเข้าสู่ฟังก์ชัน Init\_DCI() เพื่อกำหนดค่า เริ่มต้นของโมดูล DCI โดยโมดูล DCI จะทำหน้าที่เป็นอุปกรณ์สเลฟ ส่วนไอซี Si3000 จะทำหน้าที่ เป็นอุปกรณ์มาสเตอร์ และป้อนสัญญาณนาฬิกาให้โมดูล DCI ที่ถูกกำหนดให้ทำงานในแบบสเลฟ เฟรมซิงค์ชนิดหลายช่องทาง กำหนดขนาดเวิร์ดข้อมูล เป็น 16 บิต จำนวน 16 ไทม์สล็อต ต่อหนึ่ง เฟรม ซึ่งในโครงการนี้ ใช้เพียง 1 สล็อตส่งข้อมูล(transmit slot) และ 1 สล็อตรับข้อมูล(receive slot)

ต่อมาจะเข้าสู่ฟังก์ชัน Init\_Si3000() ซึ่งถูกใช้ในการกำหนดค่าเริ่มต้นให้กับไอซี Si3000 ดังนี้ ความถี่สุ่มตัวอย่างเท่ากับ 8 kHz MIC Gain และ Receive Gain ถูกกำหนดเป็น 0 dB Transmit Gain เป็น 12 dB พารามิเตอร์ Analog Attenuation ถูกกำหนดเป็น 0 dB หลังจากที่กำหนดค่าใน รีจิสเตอร์เสร็จสิ้นแล้ว จะทำการหน่วงเวลาเพื่อให้เกิดการ calibrate และท้ายที่สุดจะทำการ เอนเอ บีต อินเตอร์รัปต์จาก DCI (DCI Interrupt)

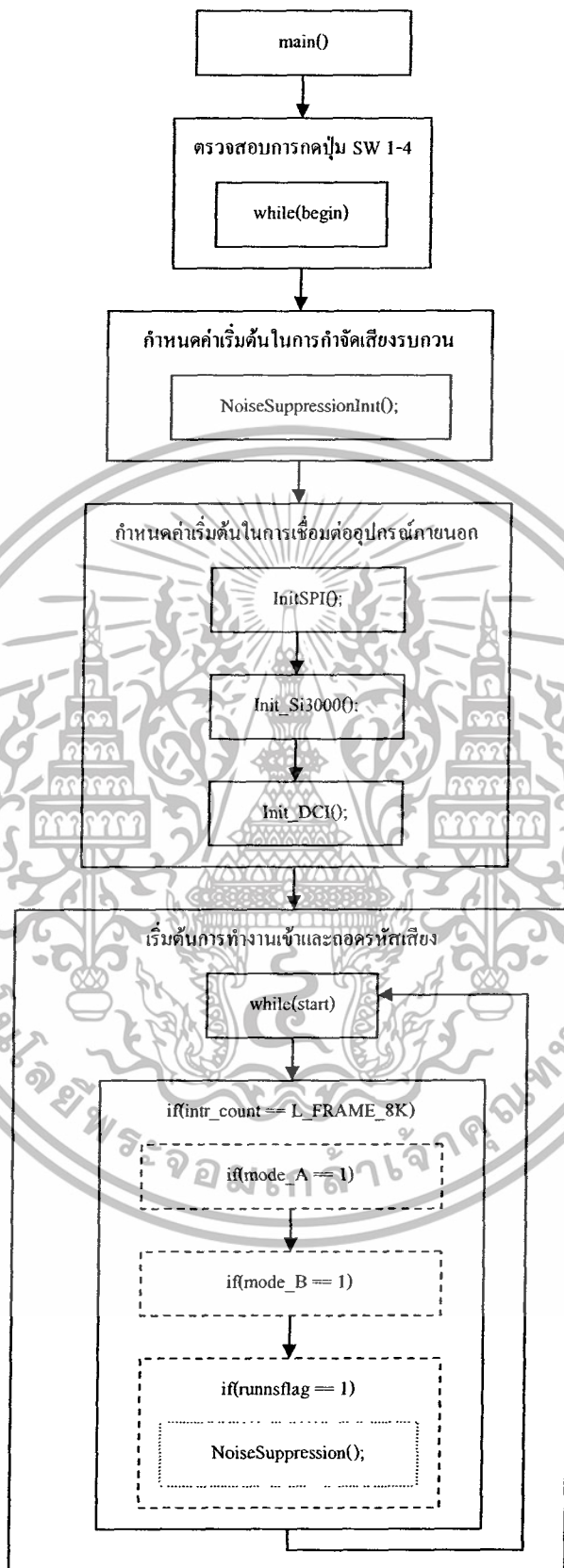
ตัวแปร intr\_count จะถูกนับเพิ่มค่าขึ้นทุกครั้งที่เกิดอินเตอร์รัปต์จาก DCI เมื่อนับครบ 80 ครั้ง แล้ว สิ่งที่ยังรออยู่ในแหล่งพักสำรองข้อมูล (codec data buffer) จะถูกคัดลอกลงไปในตัว แปรอะเรย์ sig\_in และฟังก์ชัน NoiseSuppression() จะนำค่าที่เก็บไว้ในตัวแปร sig\_in เป็น เฟรม ข้อมูลอินพุท ภายในการประมวลผล ฟังก์ชัน NoiseSuppression เสร็จสิ้นแล้ว ข้อมูลเอาต์พุตจะถูก เก็บไว้ในตัวแปร sig\_in และเสียงจะถูกขับออกมาทางลำโพง

ฟังก์ชัน NoiseSuppression() จะทำงานก็ต่อเมื่อกำหนดให้โปรแกรมทำงานในโหมด A เมื่อ เริ่มการทำงาน LED ดวงที่ 1 จะสว่าง เสียงสนทนาที่ได้ออกมาจะมีชัดเจนกว่าสัญญาณเสียงเดิม

ในการแสดงผลข้อความทาง LCD จำต้องกำหนดค่าเริ่มต้นผ่านทางฟังก์ชัน Init\_SPI() ก่อน ทำการแสดงผลข้อความใดๆบนหน้าจอ LCD

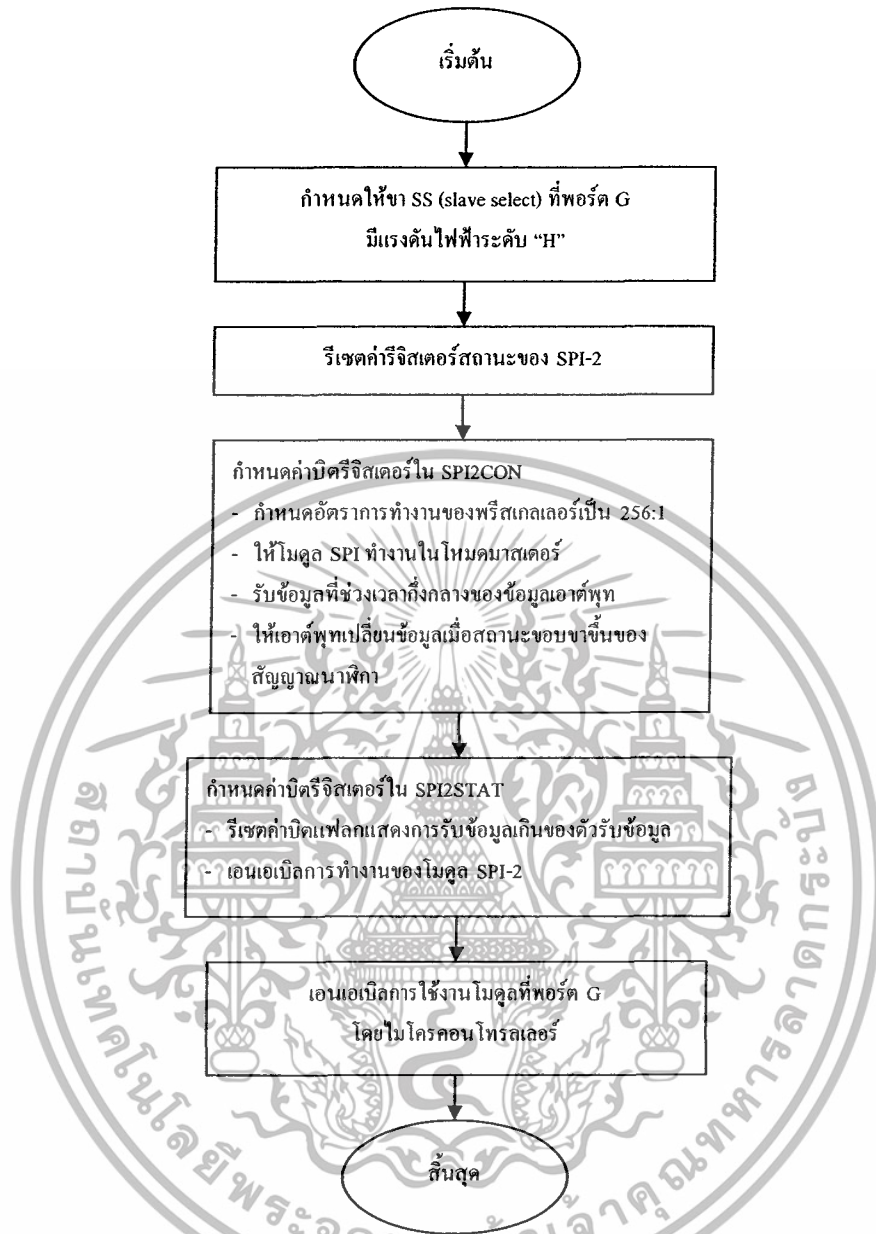
ตัวแปรบิต runnsflag จะถูกตรวจสอบว่า พร้อมในการเข้าสู่ฟังก์ชัน NoiseSuppression() หรือไม่ ถ้าบิตนี้ถูกกำหนดเป็น “1” สัญญาณเสียงที่ออกมาจะเป็นสัญญาณเสียงที่ถูกกำจัดเสียง รบกวนออกไปแล้ว

สำหรับในโหมด B จะเป็นเพียงการเข้าและถอดรหัสเสียงที่ไม่ได้เข้าสู่กระบวนการกำจัด เสียงรบกวน และโปรแกรมหลัก main() นี้จะวนอยู่ในลูป while(start) ไม่รู้จบ เพื่อทำการ ประมวลผลสัญญาณเสียงอย่างต่อเนื่อง



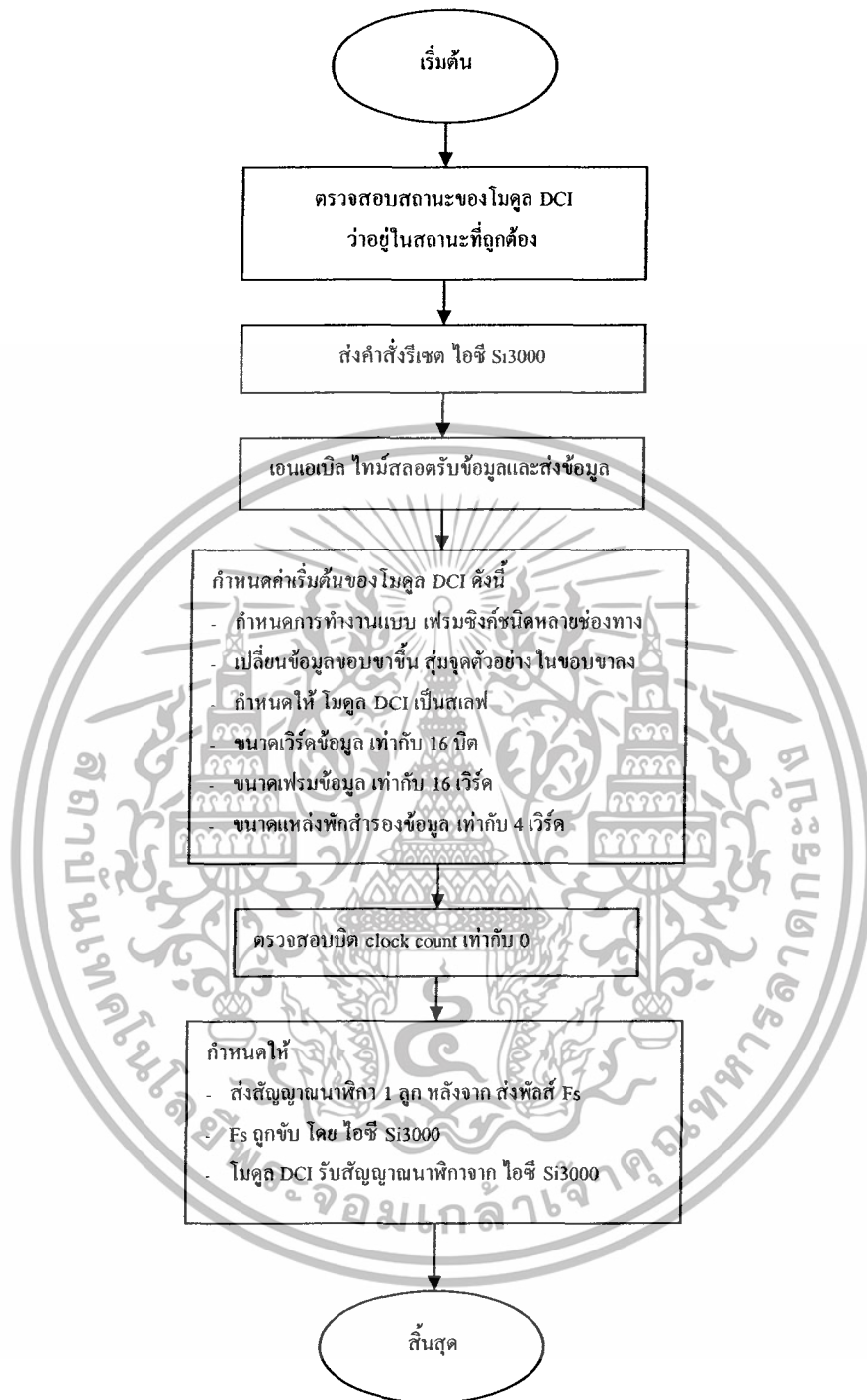
รูปที่ 3.9 แผนผังการทำงานโดยรวมของโปรแกรม

เอกสารนี้เป็นเอกสารที่สงวนไว้สำหรับการใช้งานเพื่อการศึกษาเท่านั้น ไม่อนุญาตให้นำไปใช้ประโยชน์ด้านการค้า ไม่ว่าจะกรณีใดๆทั้งสิ้น อีกทั้งห้ามมิให้ดัดแปลงเนื้อหา และต้องอ้างอิงถึงเจ้าของเอกสารทุกครั้งที่มีการนำไปใช้



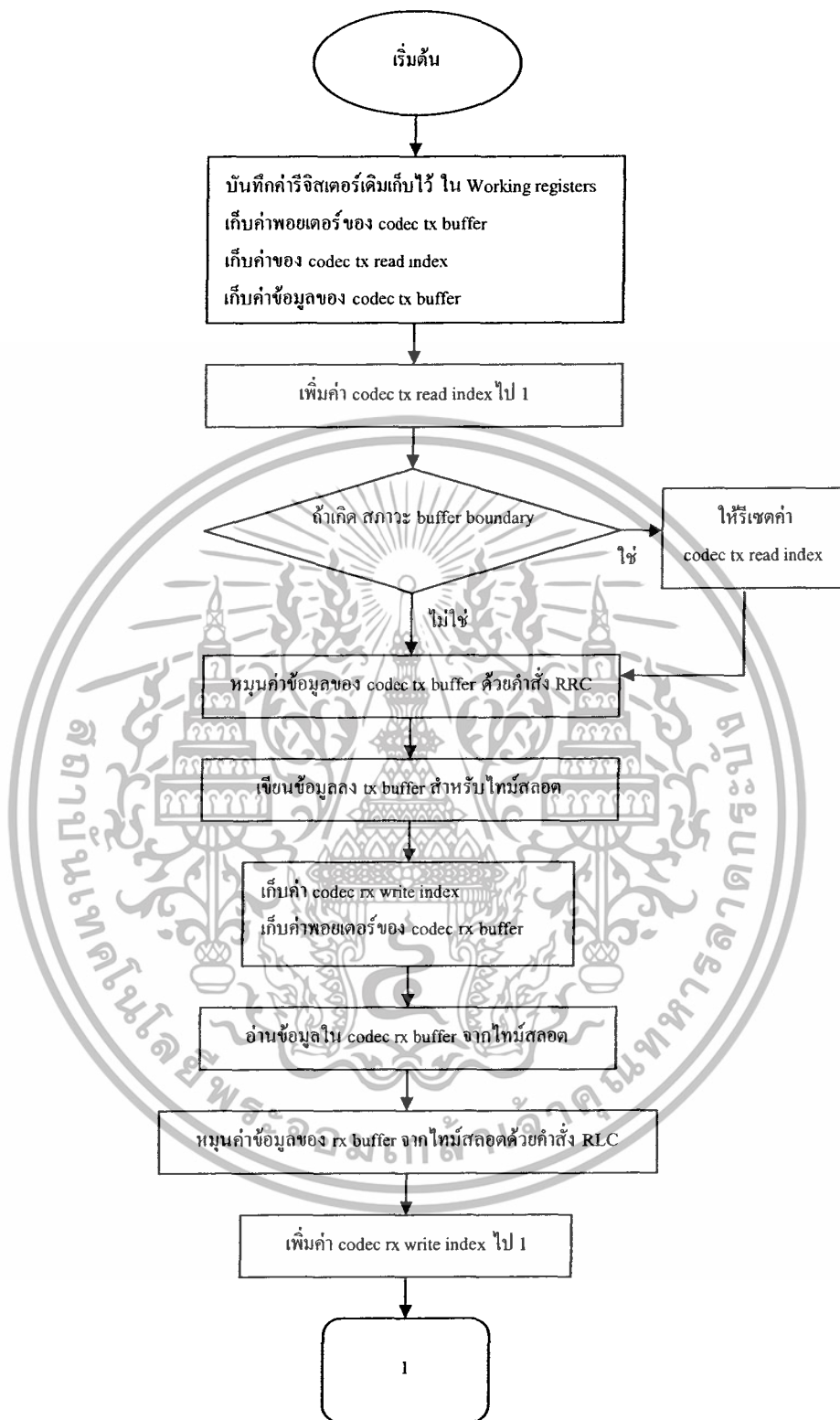
รูปที่ 3.10 แผนผังการทำงานของฟังก์ชัน InitSPI()

เอกสารนี้เป็นเอกสารที่สงวนไว้สำหรับการใช้งานเพื่อการศึกษาเท่านั้น ไม่อนุญาตให้นำไปใช้ประโยชน์ด้านการค้า ไม่ว่าจะกรณีใดๆทั้งสิ้น อีกทั้งห้ามมิให้ดัดแปลงเนื้อหา และต้องอ้างอิงถึงเจ้าของเอกสารทุกครั้งที่มีการนำไปใช้



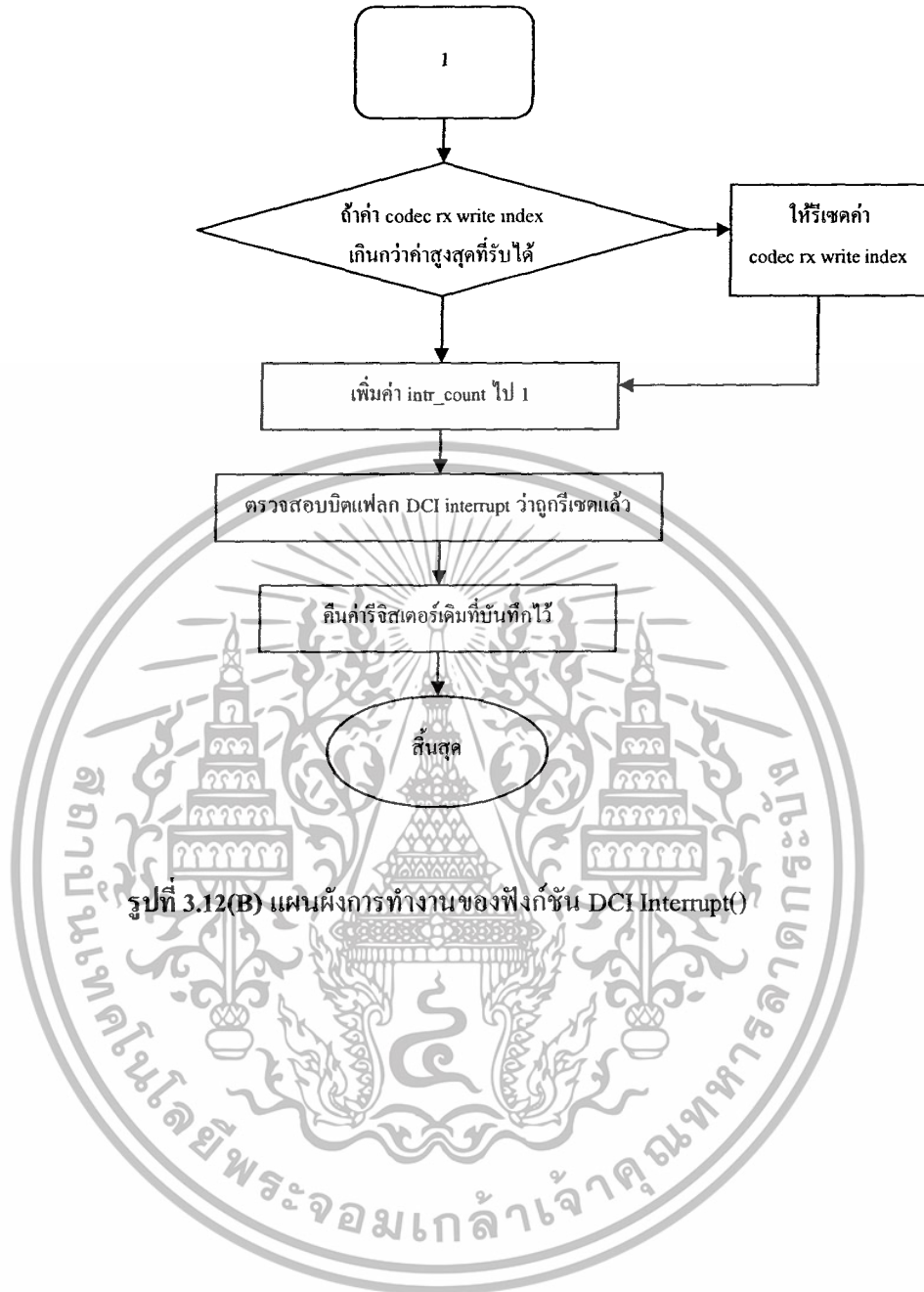
รูปที่ 3.11 แผนผังการทำงานของฟังก์ชัน Init\_DCI()

เอกสารนี้เป็นเอกสารที่สงวนไว้สำหรับการใช้งานเพื่อการศึกษาเท่านั้น ไม่อนุญาตให้นำไปใช้ประโยชน์ด้านการค้า ไม่ว่าจะกรณีใดๆทั้งสิ้น อีกทั้งห้ามมิให้ดัดแปลงเนื้อหา และต้องอ้างอิงถึงเจ้าของเอกสารทุกครั้งที่มีการนำไปใช้



รูปที่ 3.12(A) แผนผังการทำงานของฟังก์ชัน DCI Interrupt()

เอกสารนี้เป็นเอกสารที่สงวนไว้สำหรับการใช้งานเพื่อการศึกษาเท่านั้น ไม่อนุญาตให้นำไปใช้ประโยชน์ด้านการค้า ไม่ว่าจะกรณีใดๆทั้งสิ้น อีกทั้งห้ามมิให้ดัดแปลงเนื้อหา และต้องอ้างอิงถึงเจ้าของเอกสารทุกครั้งที่มีการนำไปใช้

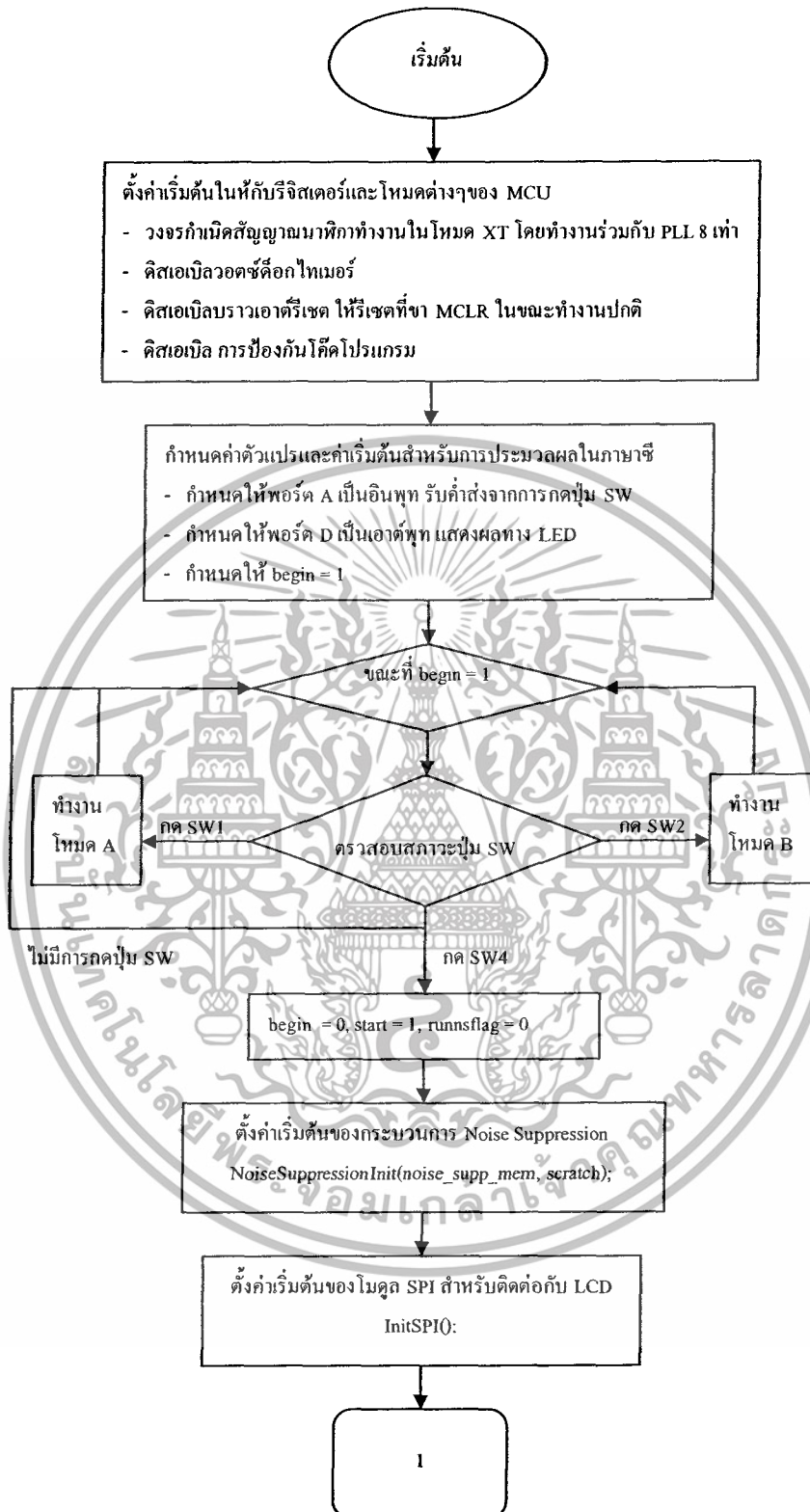


เอกสารนี้เป็นเอกสารที่สงวนไว้สำหรับการใช้งานเพื่อการศึกษาเท่านั้น ไม่อนุญาตให้นำไปใช้ประโยชน์ด้านการค้า  
ไม่ว่ากรณีใดๆทั้งสิ้น อีกทั้งห้ามมิให้ดัดแปลงเนื้อหา และต้องอ้างอิงถึงเจ้าของเอกสารทุกครั้งที่มีการนำไปใช้



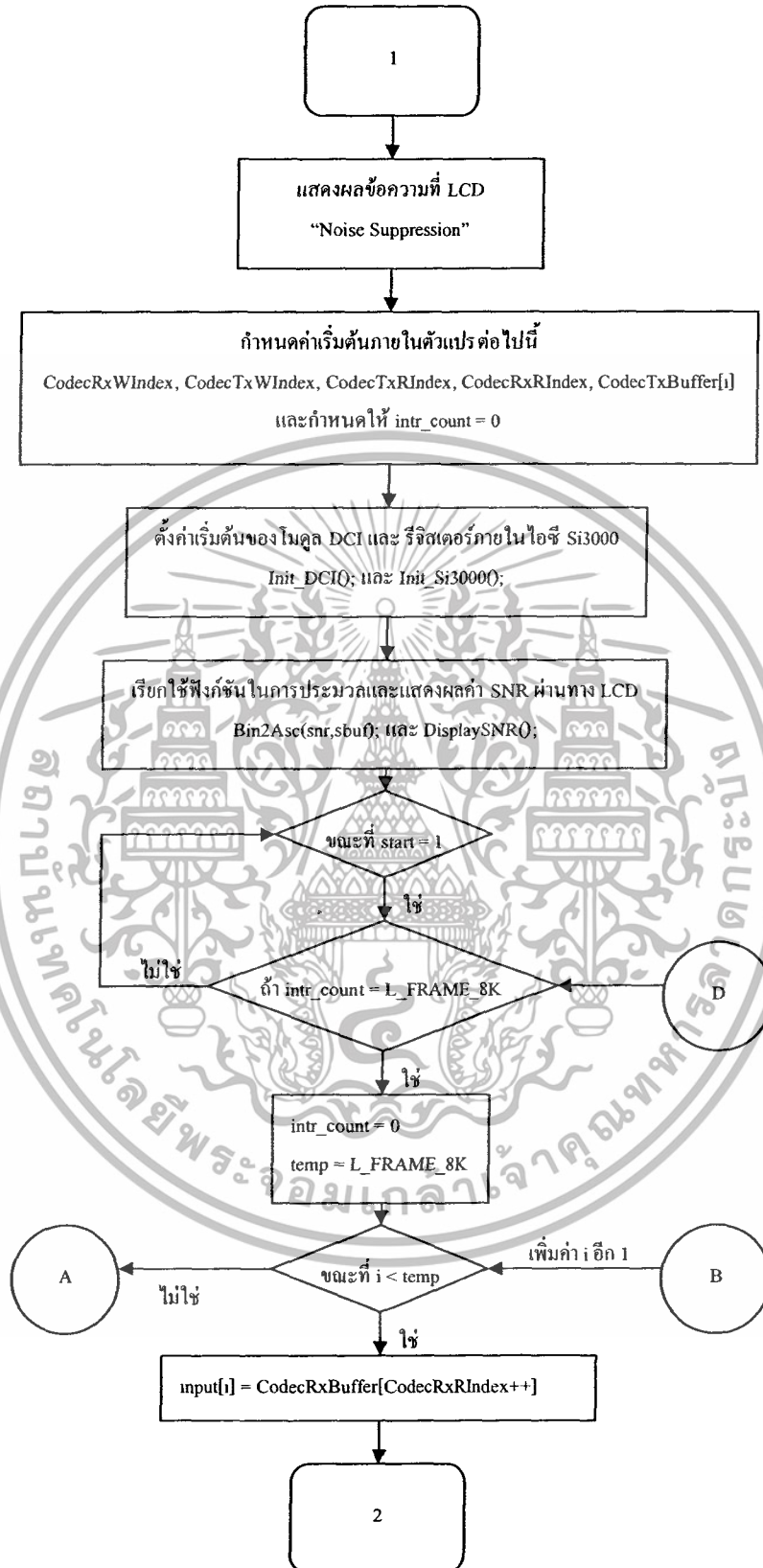
รูปที่ 3.13 แผนผังการทำงาน ของฟังก์ชัน Init\_Si3000()

เอกสารนี้เป็นเอกสารที่สงวนไว้สำหรับการใช้งานเพื่อการศึกษาเท่านั้น ไม่อนุญาตให้นำไปใช้ประโยชน์ด้านการค้า ไม่ว่าจะกรณีใดๆทั้งสิ้น อีกทั้งห้ามมิให้ดัดแปลงเนื้อหา และต้องอ้างอิงถึงเจ้าของเอกสารทุกครั้งที่มีการนำไปใช้



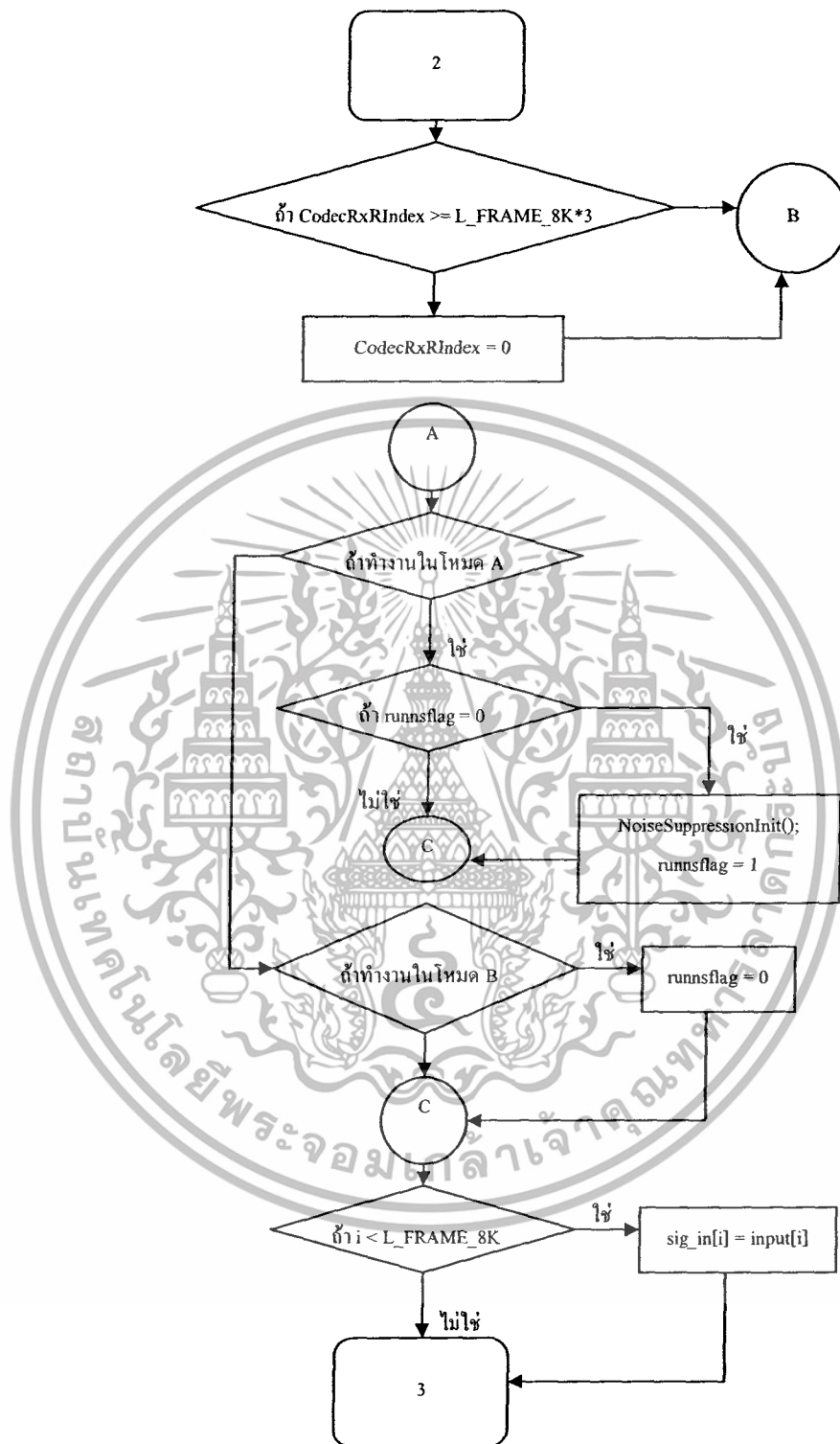
รูปที่ 3.14(A) แผนผังการทำงานของ โปรแกรมภาษาซี ns\_8k.c

เอกสารนี้เป็นเอกสารที่สงวนไว้สำหรับการใช้งานเพื่อการศึกษาเท่านั้น ไม่อนุญาตให้นำไปใช้ประโยชน์ด้านการค้า ไม่ว่าจะกรณีใดๆทั้งสิ้น อีกทั้งห้ามมิให้ดัดแปลงเนื้อหา และต้องอ้างอิงถึงเจ้าของเอกสารทุกครั้งที่มีการนำไปใช้



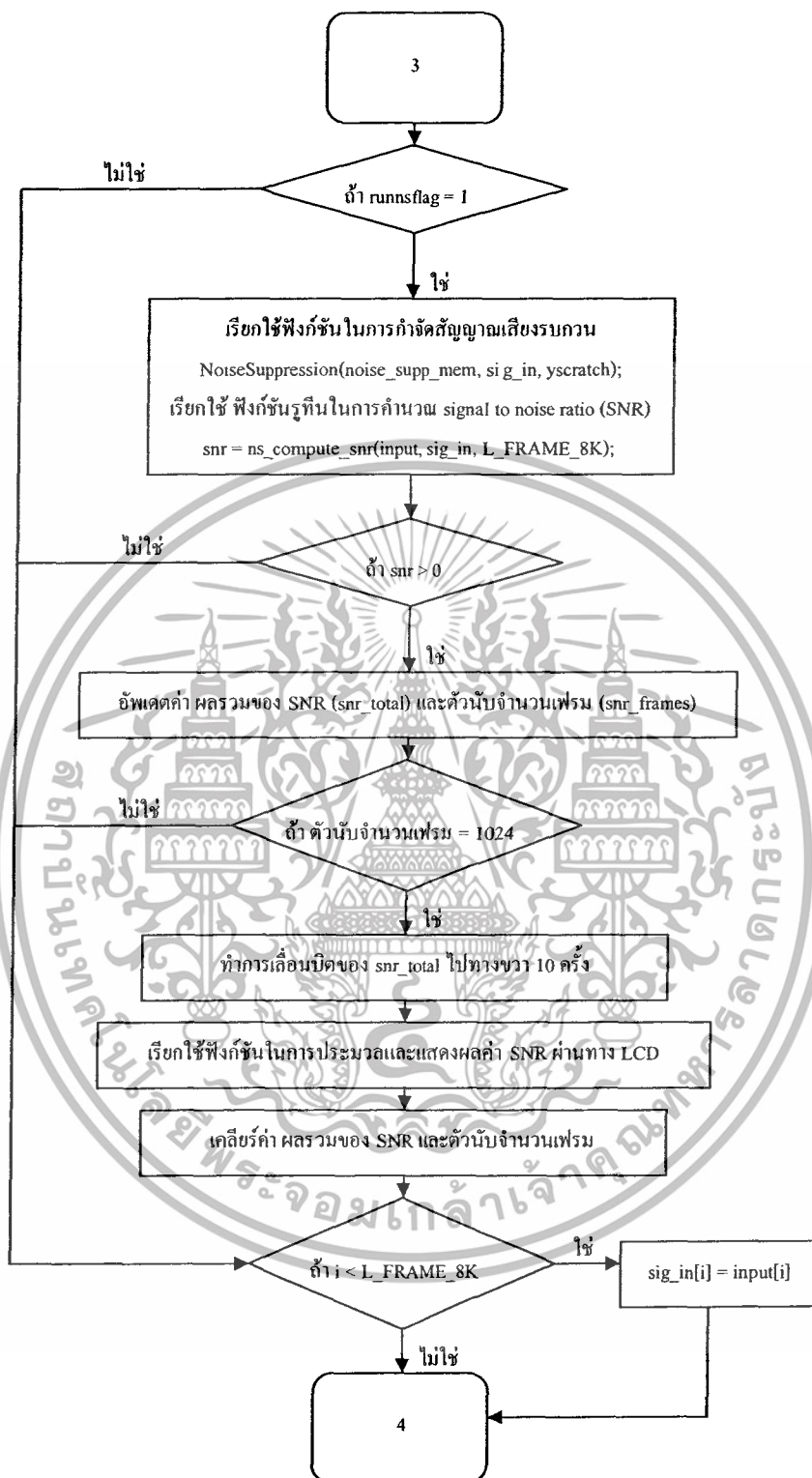
รูปที่ 3.14(B) แผนผังการทำงานของโปรแกรมภาษาซี ns\_8k.c

เอกสารนี้เป็นเอกสารที่สงวนไว้สำหรับการใช้งานเพื่อการศึกษาเท่านั้น ไม่อนุญาตให้นำไปใช้ประโยชน์ด้านการค้า ไม่ว่าจะกรณีใดๆทั้งสิ้น อีกทั้งห้ามมิให้ดัดแปลงเนื้อหา และต้องอ้างอิงถึงเจ้าของเอกสารทุกครั้งที่มีการนำไปใช้



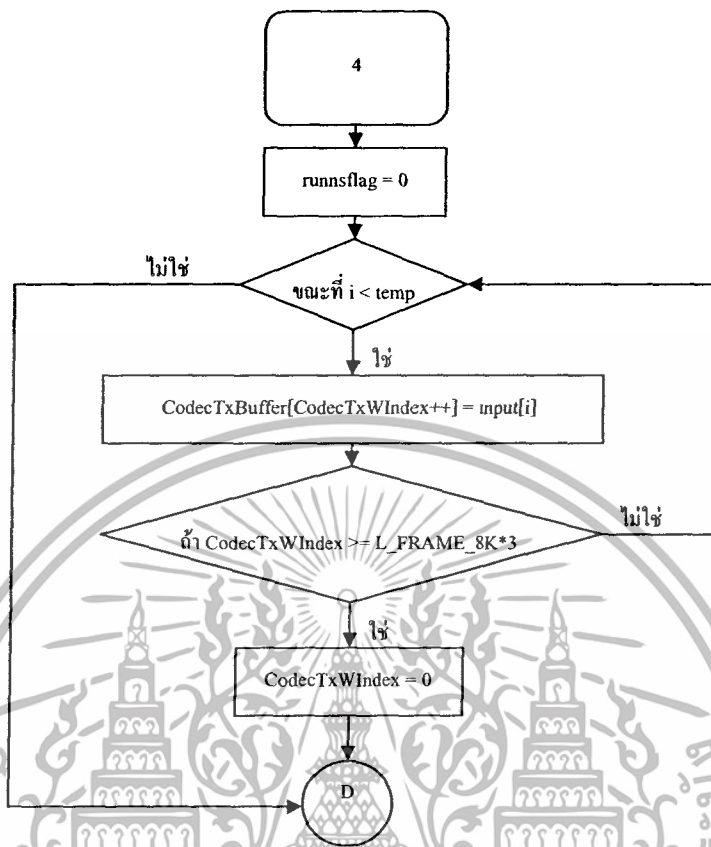
รูปที่ 3.14(C) แผนผังการทำงานของโปรแกรมภาษาซี ns\_8k.c

เอกสารนี้เป็นเอกสารที่สงวนไว้สำหรับการใช้งานเพื่อการศึกษาเท่านั้น ไม่อนุญาตให้拿去ใช้ประโยชน์ด้านการค้า ไม่ว่าจะกรณีใดๆทั้งสิ้น อีกทั้งห้ามมิให้ดัดแปลงเนื้อหา และต้องอ้างอิงถึงเจ้าของเอกสารทุกครั้งที่มีการนำไปใช้



รูปที่ 3.14(D) แผนผังการทำงานของโปรแกรมภาษาซี ns\_8k.c

เอกสารนี้เป็นเอกสารที่สงวนไว้สำหรับการใช้งานเพื่อการศึกษาเท่านั้น ไม่อนุญาตให้นำไปใช้ประโยชน์ด้านการค้า ไม่ว่าจะกรณีใดๆทั้งสิ้น อีกทั้งห้ามมิให้ดัดแปลงเนื้อหา และต้องอ้างอิงถึงเจ้าของเอกสารทุกครั้งที่มีการนำไปใช้



รูปที่ 3.14(E) แผนผังการทำงานของโปรแกรมภาษาซี ns\_8k.c

สำหรับในบทที่ 3 นี้ ได้นำเสนอถึงหลักการออกแบบ โครงงาน ซึ่งต้องพิจารณาถึงความสามารถต่างๆทางด้านฮาร์ดแวร์ก่อนเริ่มการเขียนโปรแกรมใช้งานจริง สำหรับในบทต่อไปจะอธิบายถึงขั้นตอนการทดลองการทำงานของโปรแกรมและผลลัพธ์ที่ได้

## บทที่ 4

### การทดลอง

ในบทนี้จะกล่าวถึงการทดลองและผลการทดลอง ซึ่งในโครงการนี้ ผู้จัดทำได้เก็บตัวอย่างเสียงสนทนาที่มีเสียงรบกวนสองเสียง คือ เสียงสนทนาที่มีเสียงรบกวนจากเสียงรถไฟ และเสียงสนทนาที่มีเสียงรบกวนจากรถมอเตอร์ไซด์ จากนั้นทำการวิเคราะห์ตัวอย่างเสียงสนทนานั้นด้วยโปรแกรม “ matlab ” ซึ่งเป็นโปรแกรมที่นิยมใช้กันอย่างแพร่หลาย เพื่อพล็อตผลตอบสนองเชิงความถี่ และผลตอบสนองเชิงเวลาของเสียงสนทนาทั้งสอง ผู้จัดทำได้ทำการศึกษาเปรียบเทียบ ตามวัตถุประสงค์ดังนี้

#### 4.1 วัตถุประสงค์ของการทดลอง

1. ศึกษาและเปรียบเทียบผลของการเปลี่ยนค่าเฟสล็อกอู๊ป ซึ่งใช้ในการเชื่อมต่อแบบ DCI ระหว่าง ไอซีเข้าและถอดรหัสเสียง Si3000 กับไมโครคอนโทรลเลอร์ โดยเลือกใช้ฮอสซิลเลเตอร์จากภายนอก และกำหนดค่ารีจิสเตอร์ควบคุมจากการคำนวณ ในบทที่ 3 ดังแสดงในตารางที่ 4.1

ตารางที่ 4.1 ความถี่ฮอสซิลเลเตอร์ และค่ารีจิสเตอร์ควบคุมที่ใช้ในการเปลี่ยนค่าเฟสล็อกอู๊ป

ความถี่ฮอสซิลเลเตอร์ (MHz)	รีจิสเตอร์ควบคุม N1	รีจิสเตอร์ควบคุม M1
16.384	4	10
16.384	2	5

2. ศึกษาและเปรียบเทียบผลตอบสนองเชิงความถี่ และผลตอบสนองเชิงเวลา ของเสียงสนทนา ระหว่างเสียงสนทนา ก่อนเข้าสู่ระบบที่ถูกบันทึกโดยตรง และเสียงสนทนาที่ถูกบันทึกไว้ หลังผ่านระบบแต่ยังไม่มีการกำจัดเสียงรบกวน

3. ศึกษาและเปรียบเทียบผลตอบสนองเชิงความถี่ และผลตอบสนองเชิงเวลาของเสียงสนทนา ระหว่างเสียงสนทนา หลังเข้าสู่ระบบที่ถูกบันทึกโดยตรง และเสียงสนทนาที่ถูกบันทึกไว้ หลังผ่านระบบที่มีการกำจัดเสียงรบกวนแล้ว

ผู้จัดทำได้ทำการออกแบบการทดลองออกเป็นสองตอน เพื่อศึกษาผลของการเปลี่ยนค่าเฟสล็อกคู่ต่อผลตอบสนองเชิงความถี่ และผลตอบสนองเชิงเวลาของเสียงสนทนา เมื่อใช้ความถี่สุ่มตัวอย่างที่ 8 KHz ดังนี้

ตอนที่ 1 .ใช้ความถี่ออสซิลเลเตอร์ 16.384MHz รีจิสเตอร์ควบคุม NI : M1 คือ 4:10

ตอนที่ 2 .ใช้ความถี่ออสซิลเลเตอร์ 16.384MHz รีจิสเตอร์ควบคุม NI : M1 คือ 2:5

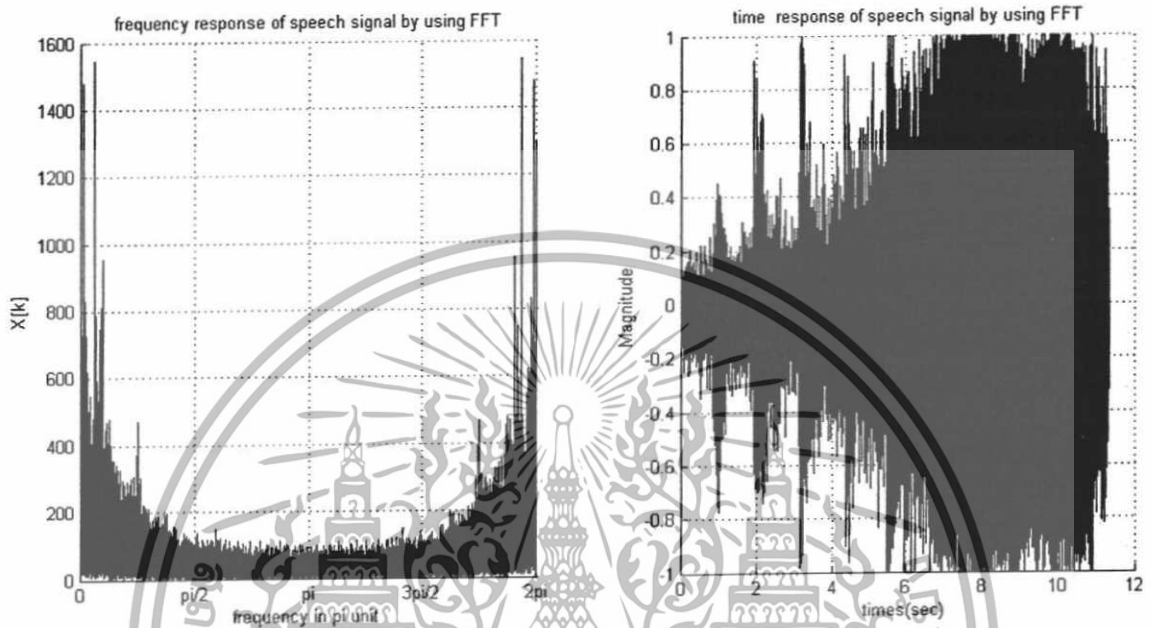
#### 4.2 วิธีการทดลอง

1. บันทึกเสียงสนทนาที่มีเสียงสัญญาณรบกวน 2 เสียง โดยใช้โปรแกรม Wave Pad V2.0 บันทึกเป็นไฟล์เสียง PCM ออดิโอแซมเปิ้ล 16 บิต ความถี่สุ่มตัวอย่าง 8 kHz
2. เปิดเสียงสนทนาที่บันทึกไว้ในข้อ 1 จากนั้นต่อสายออดิโอของเครื่องเล่นเสียงเข้ากับบอร์ดทดลอง (mic in : J16)
3. เลือกโปรแกรมในโหมดที่ 1 (ยังไม่เปิดระบบกำจัดเสียงรบกวน) โดยใช้ความถี่ออสซิลเลเตอร์ 16.384MHz รีจิสเตอร์ควบคุม NI : M1 คือ 4:10
4. พล็อตผลตอบสนองเชิงความถี่ และผลตอบสนองเชิงเวลาของเสียงสนทนา ด้วยโปรแกรม "matlab"
5. บันทึกเสียงสนทนาด้วยโปรแกรม Wave Pad เช่นเดียวกับข้อ 1
6. เลือกโปรแกรมในโหมดที่ 2 (เปิดระบบกำจัดเสียงรบกวน) จากนั้นทำการทดลองในข้อ 4,5
7. เปลี่ยนรีจิสเตอร์ควบคุม NI : M1 เป็น 2:5 จากนั้นทำการทดลองในข้อ 3,4,5,6 อีกครั้ง

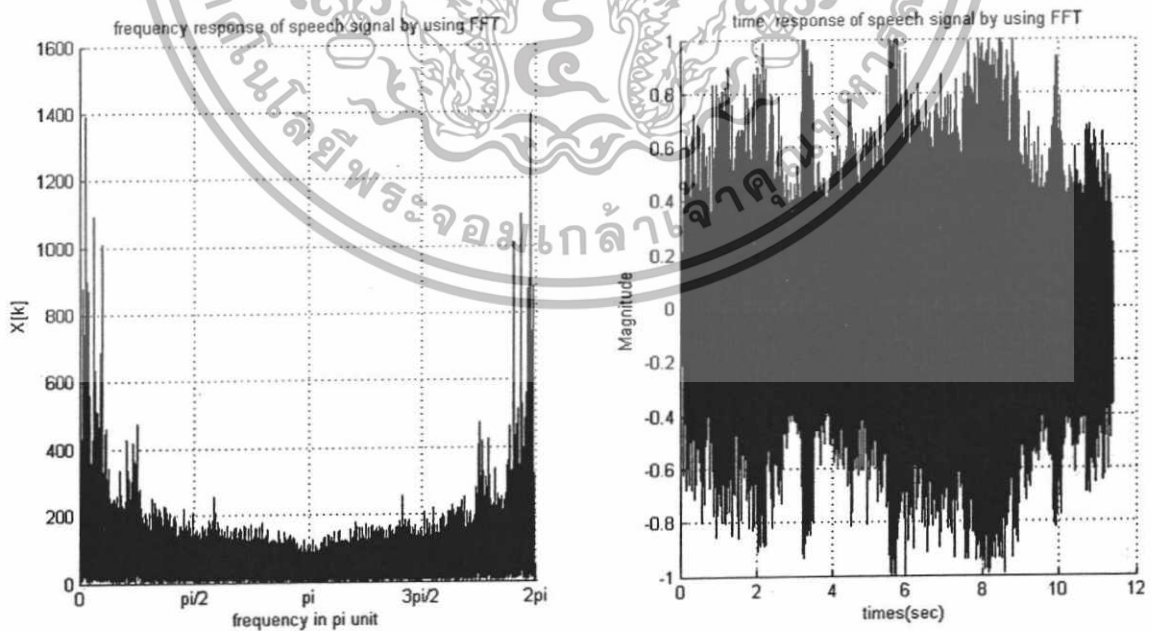
เอกสารนี้เป็นเอกสารที่สงวนไว้สำหรับการใช้งานเพื่อการศึกษาเท่านั้น ไม่อนุญาตให้นำไปใช้ประโยชน์ด้านการค้า ไม่ว่าจะกรณีใดๆทั้งสิ้น อีกทั้งห้ามมิให้ดัดแปลงเนื้อหา และต้องอ้างอิงถึงเจ้าของเอกสารทุกครั้งที่มีการนำไปใช้

### 4.3 ผลการทดลอง

ตอนที่ 1 ศึกษาผลตอบสนองเชิงความถี่ และผลตอบสนองเชิงเวลาของเสียงสนทนาที่มีเสียงรบกวนจากเสียงรถไฟ เมื่อกำหนดให้ความถี่ออสซิลเลเตอร์ 16.384 MHz รัจิสเตอร์ควบคุม N1:M1 คือ 4:10

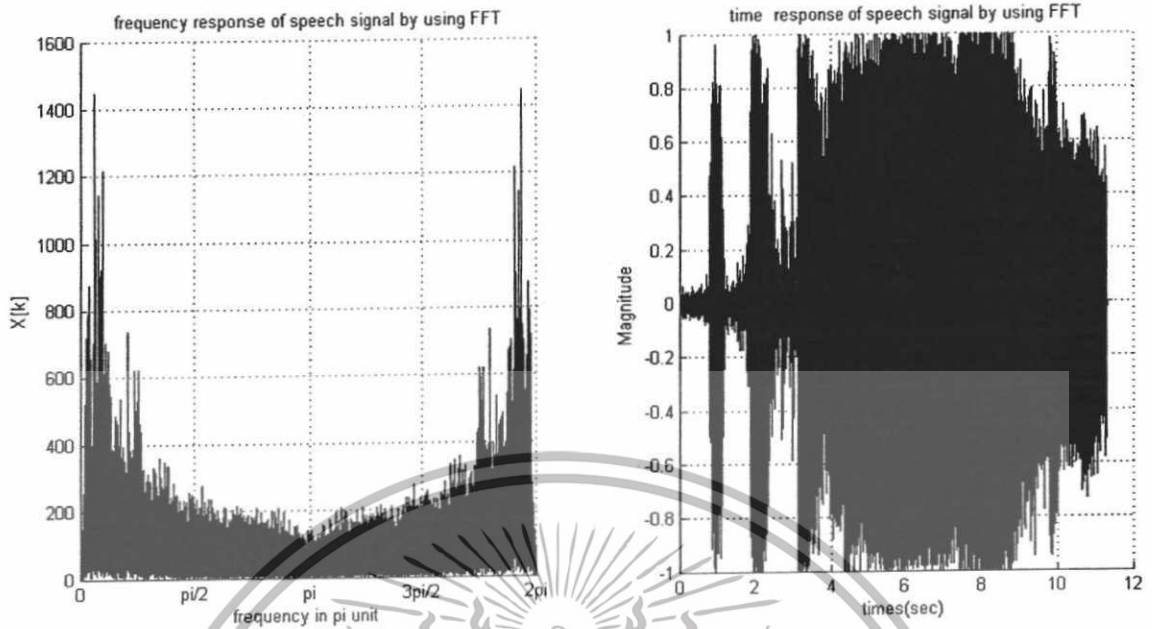


รูปที่ 4.1 เสียงสนทนา ก่อนเข้าสู่ระบบ



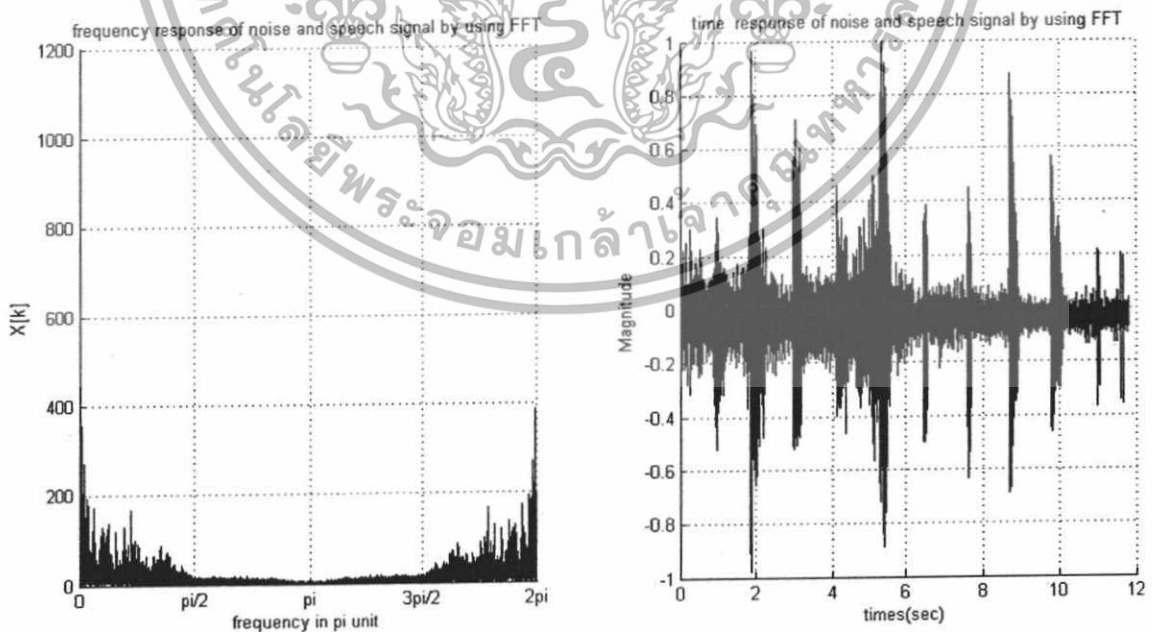
รูปที่ 4.2 เสียงสนทนา หลังเข้าสู่ระบบที่ยังไม่มีการกำจัดเสียงรบกวน

เอกสารนี้เป็นเอกสารที่สงวนไว้สำหรับการใช้งานเพื่อการศึกษาเท่านั้น ไม่อนุญาตให้นำไปใช้ประโยชน์ด้านการค้า ไม่ว่าจะกรณีใดๆทั้งสิ้น อีกทั้งห้ามมิให้ดัดแปลงเนื้อหา และต้องอ้างอิงถึงเจ้าของเอกสารทุกครั้งที่มีการนำไปใช้



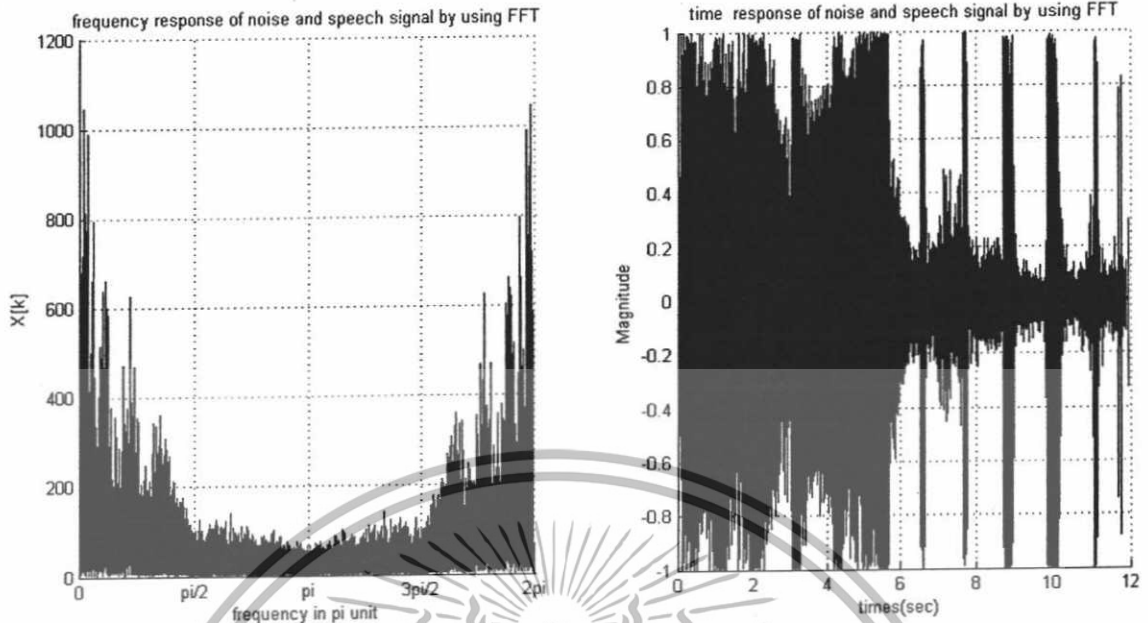
รูปที่ 4.3 เสียงสนทนาหลังเข้าสู่ระบบที่มีการกำจัดเสียงรบกวนแล้ว

ตอนที่ 1 (ต่อ) ศึกษาผลตอบสนองเชิงความถี่ และผลตอบสนองเชิงเวลา ของเสียงสนทนาที่มีเสียงรบกวนจากรถมอเตอร์ไซด์ เมื่อความถี่ออสซิลเลเตอร์ 16.384 MHz รีจิสเตอร์ควบคุม N1:M1 คือ 4:10

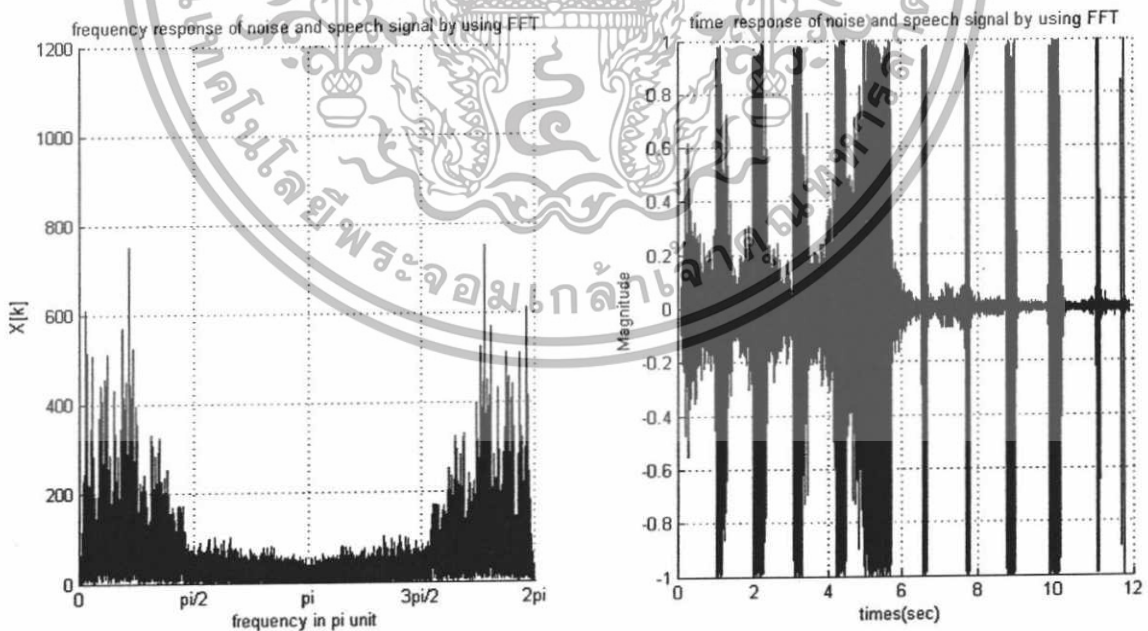


รูปที่ 4.4 เสียงสนทนา ก่อนเข้าสู่ระบบ

เอกสารนี้เป็นเอกสารที่สงวนไว้สำหรับการใช้งานเพื่อการศึกษาเท่านั้น ไม่อนุญาตให้นำไปใช้ประโยชน์ด้านการค้า ไม่ว่าจะกรณีใดๆทั้งสิ้น อีกทั้งห้ามมิให้ดัดแปลงเนื้อหา และต้องอ้างอิงถึงเจ้าของเอกสารทุกครั้งที่มีการนำไปใช้



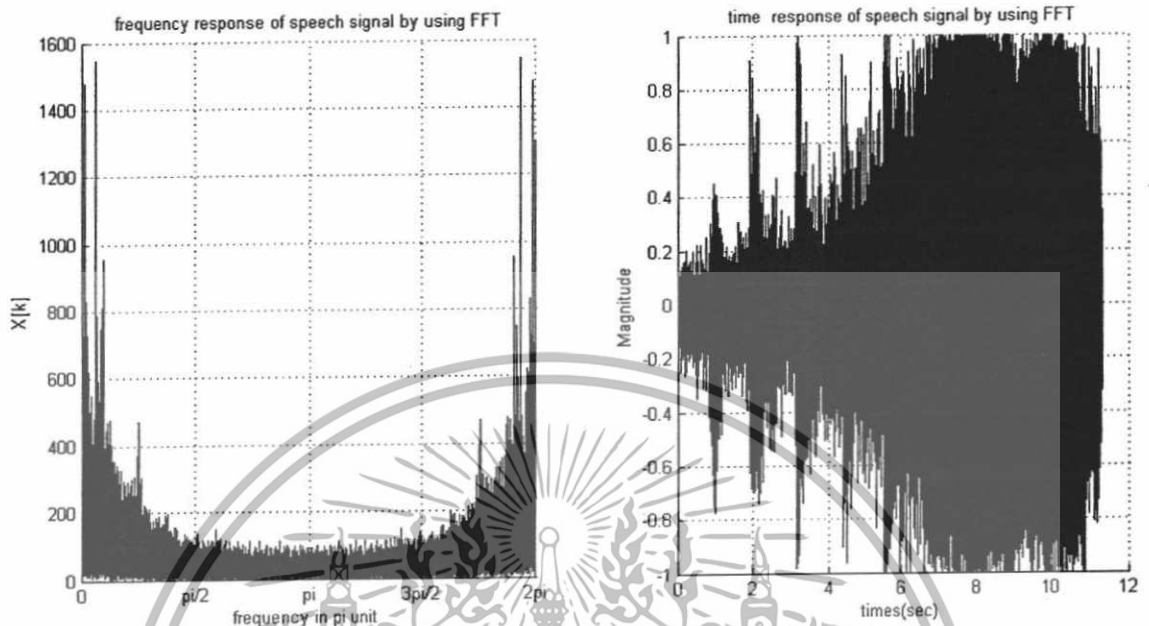
รูปที่ 4.5 เสียงสนทนาหลังเข้าสู่ระบบที่ยังไม่มีการกำจัดเสียงรบกวน



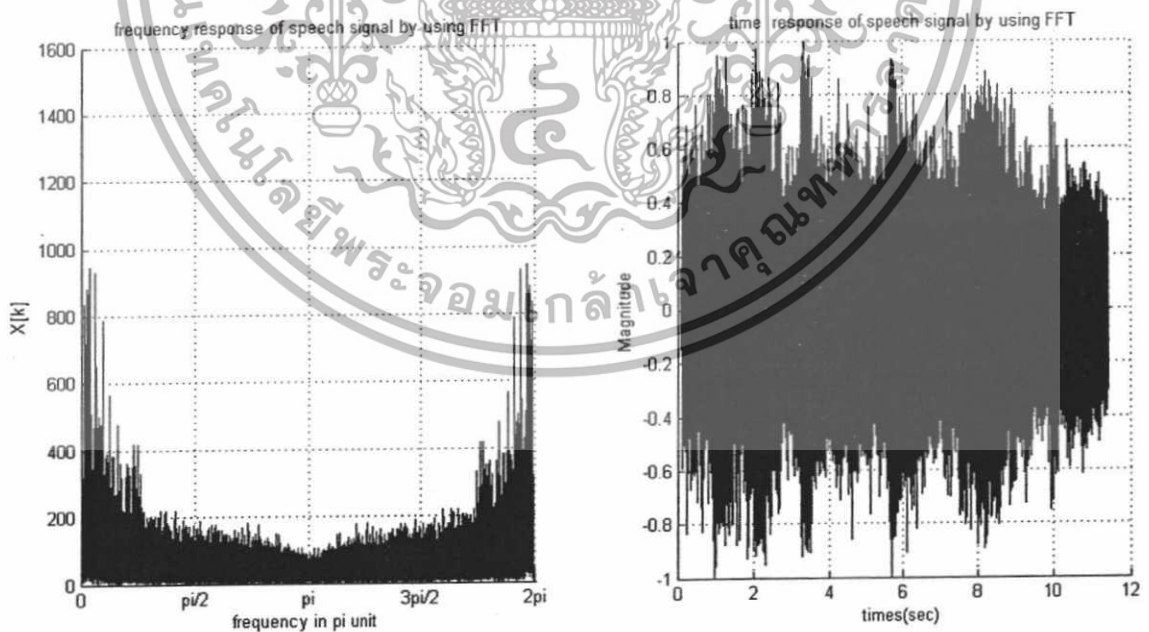
รูปที่ 4.6 เสียงสนทนาหลังเข้าสู่ระบบที่มีการกำจัดเสียงรบกวนแล้ว

เอกสารนี้เป็นเอกสารที่สงวนไว้สำหรับการใช้งานเพื่อการศึกษาเท่านั้น ไม่อนุญาตให้นำไปใช้ประโยชน์ด้านการค้า ไม่ว่าจะกรณีใดๆทั้งสิ้น อีกทั้งห้ามมิให้ดัดแปลงเนื้อหา และต้องอ้างอิงถึงเจ้าของเอกสารทุกครั้งที่มีการนำไปใช้

ตอนที่ 2 ศึกษาผลตอบสนองเชิงความถี่ และผลตอบสนองเชิงเวลาของเสียงสนทนาที่มีเสียงรบกวน จากเสียงรบกวน เมื่อกำหนดให้ความถี่ออสซิลเลเตอร์ 16.384 MHz รีจิสเตอร์ควบคุม N1:M1คือ2:5

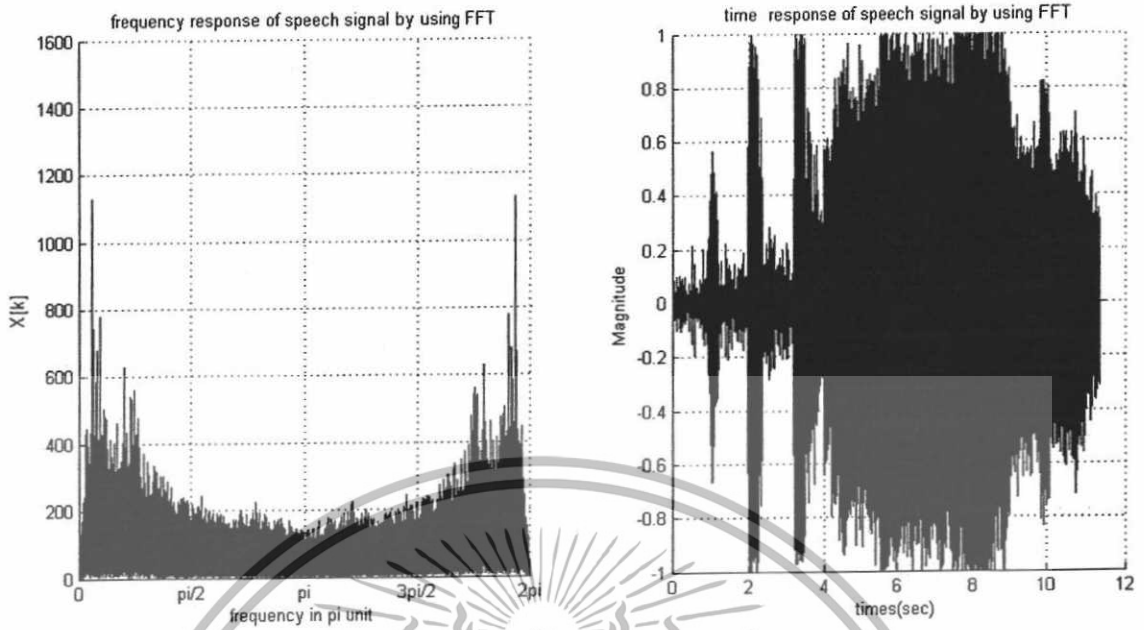


รูปที่ 4.7 เสียงสนทนา ก่อนเข้าสู่ระบบ



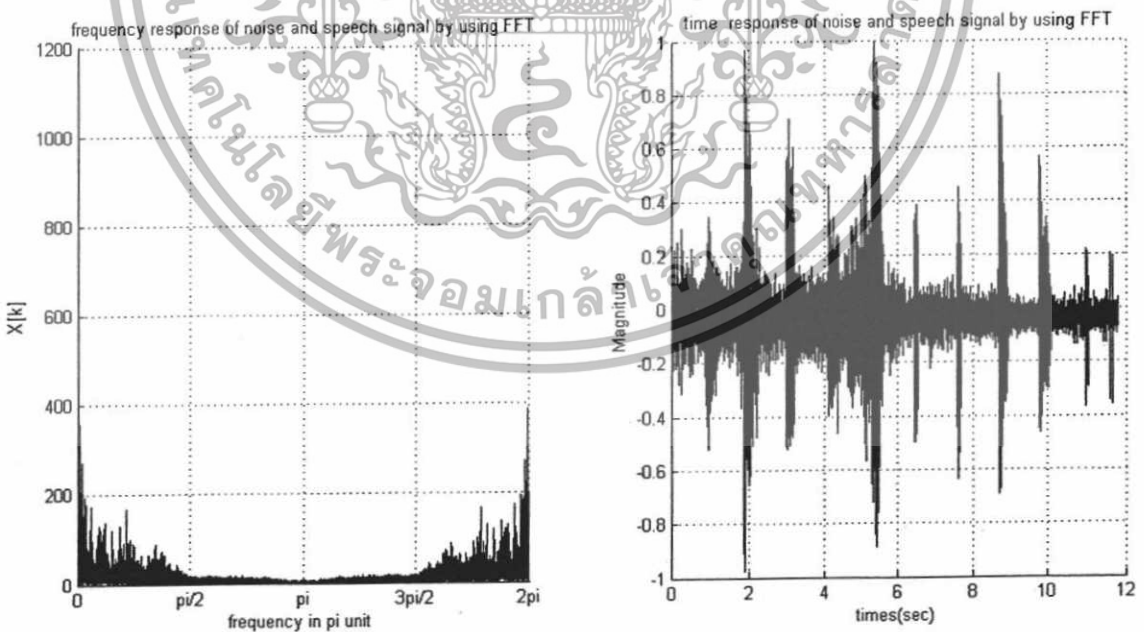
รูปที่ 4.8 เสียงสนทนาหลังเข้าสู่ระบบที่ยังไม่มีการกำจัดเสียงรบกวน

เอกสารนี้เป็นเอกสารที่สงวนไว้สำหรับการใช้งานเพื่อการศึกษาเท่านั้น ไม่อนุญาตให้นำไปใช้ประโยชน์ด้านการค้า ไม่ว่าจะกรณีใดๆทั้งสิ้น อีกทั้งห้ามมิให้ดัดแปลงเนื้อหา และต้องอ้างอิงถึงเจ้าของเอกสารทุกครั้งที่มีการนำไปใช้



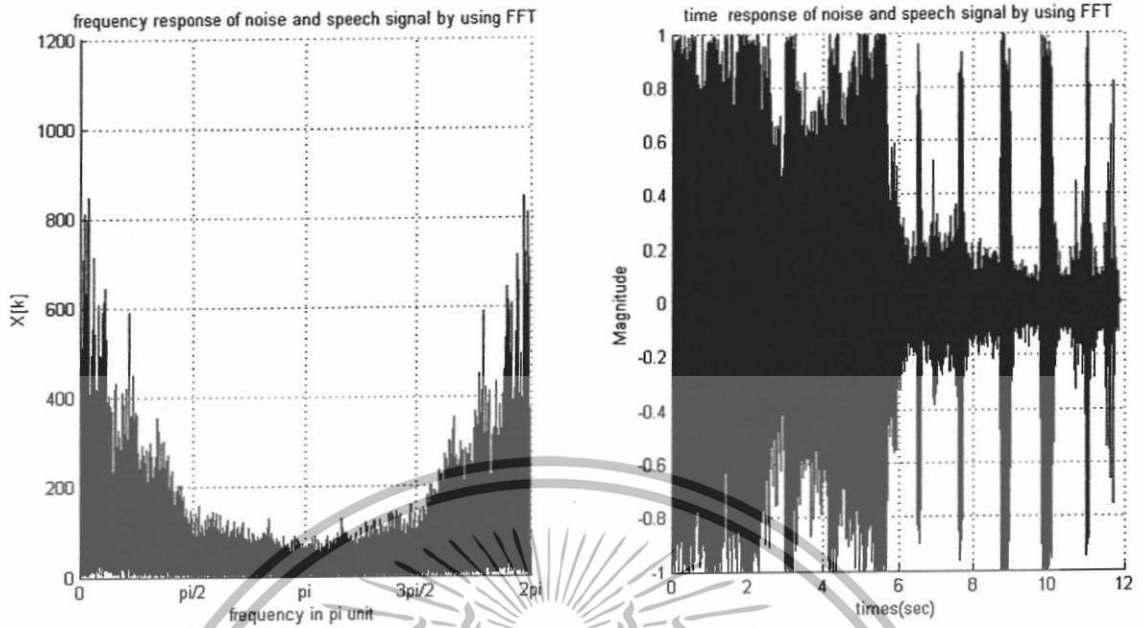
รูปที่ 4.9 เสียงสนทนาหลังเข้าสู่ระบบที่มีการกำจัดเสียงรบกวนแล้ว

ตอนที่ 2(ต่อ) ศึกษาผลตอบสนองเชิงความถี่และผลตอบสนองเชิงเวลาของเสียงสนทนาที่มีเสียงรบกวนจากรถมอเตอร์ไซด์ เมื่อความถี่ออสซิลเลเตอร์ 16.384 MHz รัจิสเตอร์ควบคุม N1:M1 คือ 2:5

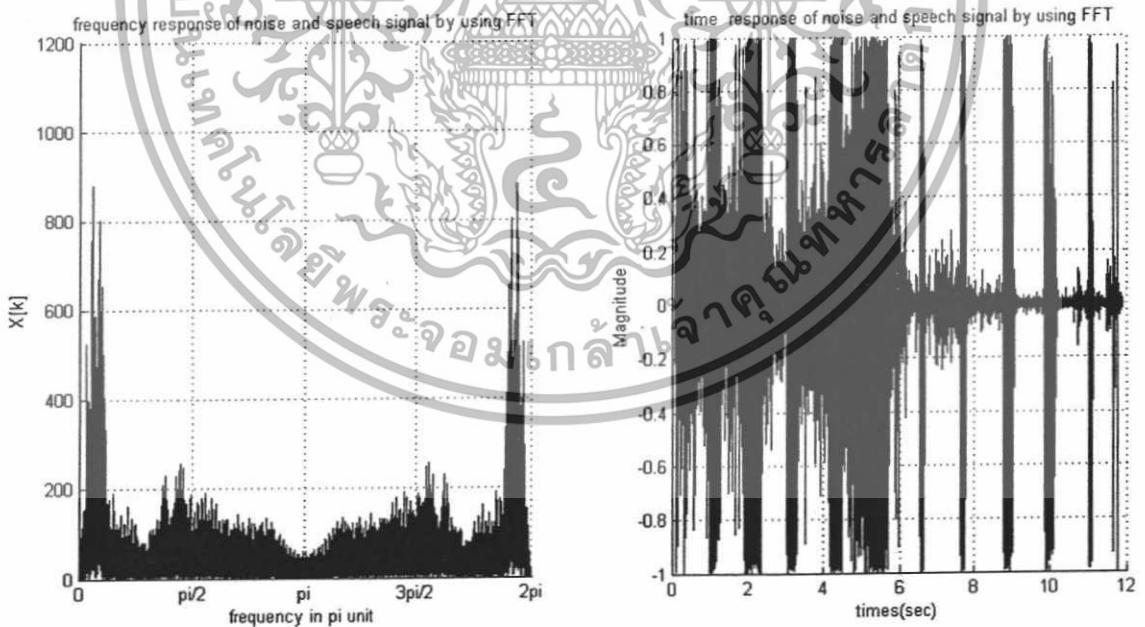


รูปที่ 4.10 เสียงสนทนา ก่อนเข้าสู่ระบบ

เอกสารนี้เป็นเอกสารที่สงวนไว้สำหรับการใช้งานเพื่อการศึกษาเท่านั้น ไม่อนุญาตให้นำไปใช้ประโยชน์ด้านการค้า ไม่ว่าจะกรณีใดๆทั้งสิ้น อีกทั้งห้ามมิให้ดัดแปลงเนื้อหา และต้องอ้างอิงถึงเจ้าของเอกสารทุกครั้งที่มีการนำไปใช้



รูปที่ 4.11 เสียงสนทนาหลังเข้าสู่ระบบที่ยังไม่มีกรรทำจัดเสียงรบกวน



รูปที่ 4.12 เสียงสนทนาหลังเข้าสู่ระบบที่มีการกำจัดเสียงรบกวนแล้ว

เอกสารนี้เป็นเอกสารที่สงวนไว้สำหรับการใช้งานเพื่อการศึกษาเท่านั้น ไม่อนุญาตให้นำไปใช้ประโยชน์ด้านการค้า ไม่ว่าจะกรณีใดๆทั้งสิ้น อีกทั้งห้ามมิให้ดัดแปลงเนื้อหา และต้องอ้างอิงถึงเจ้าของเอกสารทุกครั้งที่มีการนำไปใช้

#### 4.4 สรุปผลการทดลอง

1.ศึกษาผลการเปลี่ยนค่าเฟสล็อกลูประหว่างไอซีเข้าและถอดรหัสเสียง กับไมโครคอนโทรลเลอร์ โดยเลือกใช้ออสซิลเลเตอร์จากภายนอก และมีการกำหนดค่ารีจิสเตอร์ควบคุมจากการคำนวณ

เมื่อเปลี่ยนค่ารีจิสเตอร์ควบคุม NI:MI จากเดิม 4:10 เป็น 2:5 พบว่าไอซี Si3000 จะใช้เวลาส่งเฟรมปฐมภูมิไปยังไมโครคอนโทรลเลอร์นานกว่า นั่นคือรีจิสเตอร์ควบคุม 2:5 จะใช้เวลาในการสร้างความถี่สุ่มตัวอย่างนานกว่า ซึ่งสอดคล้องกับการเขียนค่าเฟสล็อกลูใน Si3000 ที่ค่าจริงจากการคำนวณจะต้องน้อยกว่าค่าเดิมหนึ่งค่าเวลาเขียนโปรแกรม ในกรณีนี้จากเดิมคำนวณได้ 2:5 เวลาเขียนโปรแกรมจริงจึงกลายเป็น 1:4 ซึ่งเป็นอัตราส่วนที่น้อยเกินไปไม่เหมาะที่จะนำมาเขียนโปรแกรม แต่ในทางกลับกันเมื่อ Si3000 สามารถสร้างความถี่สุ่มตัวอย่างได้สมบูรณ์แล้วจะสรุปผลตอบสนองของสัญญาณ ได้ดังนี้

ผลตอบสนองเชิงความถี่ของเสียงสนทนาที่ใช้รีจิสเตอร์ควบคุม 4:10 พบว่าขนาด  $|H(j\omega)|$  จะมีขนาดสูงกว่า เสียงสนทนาที่ใช้รีจิสเตอร์ควบคุม 2:5 ดังแสดงในรูปที่ 4.2 กับ 4.8 , รูปที่ 4.3 กับ 4.9 และรูปที่ 4.5 กับ 4.11 เป็นต้น

ผลตอบสนองเชิงเวลาของเสียงสนทนาที่ใช้รีจิสเตอร์ควบคุม 4:10 พบว่าสามารถลดทอนสัญญาณรบกวน และขยายขนาดของเสียงสนทนาได้ดีกว่าการใช้รีจิสเตอร์ควบคุม 2:5 ดังแสดงในรูปที่ 4.3 กับ 4.9 ,รูปที่ 4.5 กับ 4.11 และรูปที่ 4.6 กับ 4.12

2.ศึกษาเปรียบเทียบผลตอบสนองเชิงความถี่ และผลตอบสนองเชิงเวลาของเสียงสนทนา ระหว่างเสียงสนทนาก่อนเข้าสู่ระบบที่ถูกบันทึกโดยตรง และเสียงสนทนาที่ถูกบันทึกไว้หลังจากผ่านระบบแต่ยังไม่มีการกำจัดเสียงรบกวน

ผลตอบสนองเชิงความถี่ของเสียงสนทนา ที่ถูกบันทึกโดยตรงจะมีขนาดของโลบหลักสูง แต่ภายหลังเมื่อเสียงสนทนาเข้าสู่ระบบที่ยังไม่มีการกำจัดเสียงรบกวน โลบหลักจะมีขนาดลดลงแต่จะมีขนาดของโลบข้างที่กว้างขึ้น นั่นคือจะมีเสียงสัญญาณรบกวนเพิ่มขึ้น ดังแสดงในรูปที่ 4.1 กับ 4.2 , รูปที่ 4.4 กับ 4.5, และรูปที่ 4.7 กับ 4.8 เป็นต้น

ผลตอบสนองเชิงเวลาของเสียงสนทนาหลังจากผ่านระบบที่ยังไม่ได้กำจัดเสียงรบกวน พบว่าทั้งขนาดของเสียงสนทนาและเสียงรบกวนจะถูกขยาย แต่ในช่วงที่มีขนาดของสัญญาณเสียงรบกวนมากกว่า 1 เสียงที่ผ่านระบบนี้จะมีขนาดที่ลดลง ดังแสดงในรูปที่ 4.1 กับ 4.2 และรูปที่ 4.7 กับ 4.8

3.ศึกษาเปรียบเทียบผลตอบสนองเชิงความถี่ และผลตอบสนองเชิงเวลาของเสียงสนทนา ระหว่างเสียงสนทนาหลังเข้าสู่ระบบที่ถูกระบบที่กโดยตรง และเสียงสนทนาที่ถูกระบบที่กไว้หลังผ่านระบบที่มีการกำจัดเสียงรบกวนแล้ว

ผลตอบสนองเชิงความถี่ของเสียงสนทนาหลังจากผ่านระบบ แต่ยังไม่มีการกำจัดเสียงรบกวนพบว่า โลกหลักจะมีขนาดต่ำลงไป และโลกจะเลื่อนไปทางความถี่สูงขึ้น เกิดเป็นโลกรอง ที่กว้างขึ้น ดังแสดงในรูปที่ 4.5 กับ 4.6 , รูปที่ 4.8 กับ 4.9 และรูปที่ 4.11 กับ 4.12

ผลตอบสนองเชิงเวลาของเสียงสนทนาหลังจากผ่านระบบแต่ยังไม่มีการกำจัดเสียงรบกวนพบว่า ขนาดของเสียงสนทนาจะถูกขยายอย่างเห็นได้ชัด แต่ช่วงที่มีเสียงสัญญาณรบกวนระบบจะลดทอนเสียงนั้นให้มีแอมพลิจูดที่ต่ำลง ดังรูปที่ 4.5 กับ 4.6 และรูปที่ 4.11 กับ 4.12 ซึ่งสามารถอธิบายได้จากกระบวนการเน้นเสียงนั้นคำที่เกิดขึ้นหลังจากการตัดองค์ประกอบความถี่ต่ำ นั่นคือไม่ว่าเฟรมนั้นจะเป็นของเสียงรบกวน หรือเสียงสนทนาที่ตาม สัญญาณในเฟรมนั้นก็จะถูกขยายดังที่กล่าวไว้แล้วในบทที่ 3 ต่อมาในช่วงที่มีเสียงรบกวน ฟังก์ชัน VAD จะทำงานและเมื่อ VAD ตรวจจับสัญญาณเสียงรบกวนจึงถูกกำจัดลง

จากการทดลองทำให้ทราบว่า การกำจัดสัญญาณเสียงรบกวนโดยใช้ค่าเฟสล็อกอูปล 4:10 ให้ผลของการกำจัดเสียงรบกวนที่ดีที่สุด และเมื่อผู้จัดทำทดลองนำเสียงสนทนาที่กำจัดเสียงรบกวนแล้วให้เป็นอินพุตกับระบบใหม่อีกครั้ง พบว่าเสียงที่ผ่านระบบครั้งนี้ จะมีเสียงสนทนาที่ชัดเจนขึ้นและเสียงสัญญาณรบกวนจะลดลงจากเดิม แต่ในทางตรงกันข้ามหากนำ เสียงสนทนาที่ผ่านระบบการกำจัดเสียงรบกวนของเสียงที่มีขนาดของเสียงรบกวนมากกว่าหนึ่ง ป้อนเป็นอินพุตให้กับระบบใหม่อีกครั้ง พบว่าเสียงรบกวนจะถูกขยายมากกว่าเดิม ดังนั้นแนวทางที่ดีที่สุดคือ การพิจารณาขนาดของสัญญาณรบกวนต้องมีขนาดบนโดเมนของเวลาที่น้อยกว่าหนึ่ง ให้เป็นสัญญาณอินพุตที่ป้อนเข้าสู่ระบบ เอ้าพุทที่ได้ควรนำไปป้อนกลับเป็นสัญญาณอินพุตให้กับระบบใหม่ เสียงสนทนาที่ได้ก็จะชัดเจนและปราศจากเสียงรบกวนมากขึ้น

## บทที่ 5

# บทวิจารณ์และสรุป

### 5.1 สรุปผลการทดลอง

ปัญญานิพนธ์ฉบับนี้นำเสนอ ระบบกำจัดเสียงรบกวนประกอบ ด้วยหน่วยย่อยสามส่วน คือ หน่วยประมวลผลกลาง หน่วยเข้ารหัสและถอดรหัสเสียง และหน่วยแสดงผล สำหรับหน่วยประมวลผลกลางนั้นได้ใช้ไมโครคอนโทรลเลอร์ dsPIC30F6014 ขนาด 16 บิต ในการประมวลผลสัญญาณเสียงแทนเครื่องคอมพิวเตอร์ ซึ่ง dsPIC30F6014 นั้นมีความสามารถรองรับการประมวลผลสัญญาณเสียงเป็นอย่างดี และมีโมดูลพิเศษต่างๆที่ช่วยในการทำงานได้ดีกว่าไมโครคอนโทรลเลอร์ชนิดอื่นๆ เมื่อเชื่อมโยงหน่วยย่อยทั้งสามเข้ากัน ก็จะกลายเป็นระบบกำจัดเสียงรบกวน ซึ่งได้อธิบายรายละเอียดแล้วในบทที่ 3 เมื่อทำการทดลองกับสัญญาณเสียงรบกวนแล้ว ผู้จัดทำได้พล็อตผลตอบสนองเชิงความถี่ และผลตอบสนองเชิงเวลาของสัญญาณเสียงสนทนาออกมา และเปรียบเทียบการเปลี่ยนค่ารีจิสเตอร์ควบคุมในการสร้างความถี่สุ่มตัวอย่างพบว่า เสียงสนทนาที่มีเสียงสัญญาณรบกวนก่อนเข้าสู่ระบบ และเสียงสนทนาหลังเข้าสู่ระบบที่ยังไม่กำจัดสัญญาณเสียงรบกวน สัญญาณเสียงนั้นจะถูกขยายทั้งเสียงที่ต้องการและเสียงที่ไม่ต้องการ จนกระทั่งเมื่อเปิดระบบกำจัดสัญญาณเสียงรบกวนแล้ว ฟังก์ชัน VAD จะถูกอัทเทคและจะเปรียบเทียบอัตราส่วนของระดับพลังงานในเสียงสนทนากับเสียงสัญญาณรบกวน เพื่อตัดสินใจว่าเฟรมข้อมูลนั้นเป็นเฟรมของเสียงสนทนาหรือเสียงสัญญาณรบกวน จากนั้นสัญญาณที่ถูกอัทเทคจะนำมาคูณกับสเตกแพคเตอร์ และแปลงฟูเรียร์กลับ กลายเป็นสัญญาณเสียงที่ปราศจากเสียงรบกวนออกมา และเมื่อผู้จัดทำทดลองเปลี่ยนค่ารีจิสเตอร์ควบคุม NI:MI ให้มีค่าน้อยลงจะส่งผลให้ระบบอันใหม่นี้สร้างความถี่สุ่มตัวอย่างได้ช้า และประสิทธิภาพในการกำจัดสัญญาณเสียงรบกวนลดลง ซึ่งสามารถสรุปได้ว่าค่ารีจิสเตอร์ควบคุม จะต้องเป็นจำนวนเต็มที่เป็นอัตราส่วนกัน แต่ในที่นี้จะต้องคำนึงถึงความจริงในการเขียนโปรแกรม ที่นับค่าเริ่มต้นตั้งแต่ 0 จนถึง n ดังนั้นค่าที่คำนวณได้จึงต้องลบออก 1 เพื่อชดเชยการนับค่าเริ่มต้นของโปรแกรม ดังนั้นจึงไม่ควรออกแบบค่ารีจิสเตอร์ควบคุมเป็นจำนวนที่มีค่าน้อยเกินไป อันจะทำให้การสร้างความถี่สุ่มตัวอย่างคลาดเคลื่อน และจะส่งผลให้ขาดประสิทธิภาพในการกำจัดสัญญาณเสียงรบกวน ในที่สุด

## 5.2 ปัญหาที่พบและแนวทางแก้ไข

1. เสี่ยงสนทนาที่ผ่านระบบกำจัดเสียงรบกวนแล้วยังคงมีเสียงรบกวนแฝงอยู่ และเมื่อผู้ทดลองได้เปลี่ยนค่ารีจิสเตอร์ควบคุม NI:MI พบว่าสัญญาณเสียงรบกวนนั้นจะลดทอนลงมา จึงต้องหาค่ารีจิสเตอร์ควบคุมนี้ที่เหมาะสมต่อไป
2. การพัฒนาโปรแกรมแบบฝังตัว ต่างจากการเขียนโปรแกรมบนเครื่องคอมพิวเตอร์มาก เพราะต้องคำนึงถึงขีดจำกัดของการเข้าถึงในหน่วยความจำ ด้วยเหตุนี้ ผู้จัดทำจึงต้องจองพื้นที่หน่วยความจำทุกครั้งก่อนการเขียน โปรแกรม

## 5.3 ข้อเสนอแนะและแนวทางในการค้นคว้าพัฒนา

เพื่อประสิทธิภาพในการกำจัดสัญญาณเสียงรบกวนที่มากขึ้นอาจมีการพัฒนาโปรแกรมให้มีการสุ่มตัวอย่างในความถี่ที่สูงขึ้น และเพื่อลดปัญหาในส่วนองขนาดหน่วยความจำภายในอาจมีการต่อหน่วยความจำไว้ภายนอกเพิ่ม



## เอกสารอ้างอิง

- [1] ชีรพงษ์ เจนวิริยะกุล, นรินทร์ทิพย์ เชาว์ทอง, ชญาดา ชันบุญใส, “การเข้ารหัสเสียงโดยวิธี เอ ดี พี ซี เอ็ม”, วิทยุยานิพนธ์วิศวกรรมศาสตรบัณฑิต สาขาวิศวกรรมโทรคมนาคม คณะวิศวกรรมศาสตร์, สถาบันเทคโนโลยีพระจอมเกล้าเจ้าคุณทหารลาดกระบัง, 2547.
- [2] พรเทพ ศรีแสงอยู่, วีระศักดิ์ การุณย์, สุเวศ นวนวัน, “วงจรรองความถี่เชิงเลข”, วิทยุยานิพนธ์วิศวกรรมศาสตรบัณฑิต สาขาวิศวกรรมอิเล็กทรอนิกส์ คณะวิศวกรรมศาสตร์, สถาบันเทคโนโลยีพระจอมเกล้าเจ้าคุณทหารลาดกระบัง, 2546.
- [3] รวิินทร์ วินทร์ วิรัชพินทุ, สุวารี เหลือเพิ่มพร, “ระบบส่งงานด้วยเสียง”, วิทยุยานิพนธ์วิศวกรรมศาสตรบัณฑิต สาขาวิศวกรรมคอมพิวเตอร์ คณะวิศวกรรมศาสตร์, สถาบันเทคโนโลยีพระจอมเกล้าเจ้าคุณทหารลาดกระบัง, 2546.
- [4] ธนพล ตั้งขุนงศ์, ธนสิทธิ์ ชาวลิตธारा, “การเข้ารหัสสัญญาณเสียงแบบ Real Time สำหรับมาตรฐาน ITU-T G.729 บน DSP chip TMS 320C6713”, วิทยุยานิพนธ์วิศวกรรมศาสตรบัณฑิต สาขาวิศวกรรมคอมพิวเตอร์ คณะวิศวกรรมศาสตร์, สถาบันเทคโนโลยีพระจอมเกล้าเจ้าคุณทหารลาดกระบัง, 2547.
- [5] ณัฐพล สมบัติภิญโญ, ณัฐยา อินทร์แก้ว, ณัฐวัชร มหาวงศ์, “การส่งสัญญาณเสียงโดยใช้แสง”, วิทยุยานิพนธ์วิศวกรรมศาสตรบัณฑิต สาขาวิศวกรรมโทรคมนาคม คณะวิศวกรรมศาสตร์, สถาบันเทคโนโลยีพระจอมเกล้าเจ้าคุณทหารลาดกระบัง, 2547.
- [6] นคร ภักดีชาติ, ชัยวัฒน์ ลิ้มพรจิตรวิไล, คู่มือการทดลอง dsPIC Microcontroller เบื้องต้น ด้วยโปรแกรมภาษา C กับ MPLAB C30, กรุงเทพมหานคร : อินโนเวตีฟ เอ็กเพอริเมนต์.
- [7] ธนารักษ์ ชีระมันคง, เทคโนโลยีสมองกลฝังตัว, พิมพ์ครั้งที่ 1. กรุงเทพมหานคร : สมาคมส่งเสริมเทคโนโลยี(ไทย-ญี่ปุ่น), 2549.

เอกสารนี้เป็นเอกสารที่สงวนไว้สำหรับการใช้งานเพื่อการศึกษาเท่านั้น ไม่อนุญาตให้นำไปใช้ประโยชน์ด้านการค้า ไม่ว่าจะกรณีใดๆทั้งสิ้น อีกทั้งห้ามมิให้ดัดแปลงเนื้อหา และต้องอ้างอิงถึงเจ้าของเอกสารทุกครั้งที่มีการนำไปใช้



# ภาคผนวก

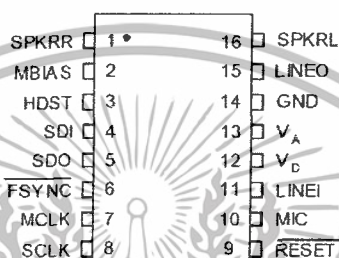
เอกสารนี้เป็นเอกสารที่สงวนไว้สำหรับการใช้งานเพื่อการศึกษาเท่านั้น ไม่อนุญาตให้นำไปใช้ประโยชน์ด้านการค้า ไม่ว่าจะกรณีใดๆทั้งสิ้น อีกทั้งห้ามมิให้ดัดแปลงเนื้อหา และต้องอ้างอิงถึงเจ้าของเอกสารทุกครั้งที่มีการนำไปใช้

## ภาคผนวก ก

## ไอซีเข้าและถอดรหัสเสียง Si3000

ไอซีเข้าและถอดรหัสเสียง Si3000 เป็นอุปกรณ์แปลงสัญญาณดิจิทัลเป็นแอนะล็อก และแอนะล็อกเป็นดิจิทัล 16 บิต มีรายละเอียดต่างๆดังนี้

## 1. Pin Descriptions: Si3000



Pin #	Pin Name	Description
1	SPKRR	<b>Speaker Right Output.</b> Analog output capable of driving a 60 $\Omega$ load.
2	MBIAS	<b>Microphone bias output.</b>
3	HDST	<b>Handset Input/Output.</b> Handset analog input/output.
4	SDI	<b>Serial Port Data in.</b> Serial communication and control data that is generated by the Si3000 to the system DSP.
5	SDO	<b>Serial Port Data Out.</b> Serial communication data that is provided by the Si3000 to the system DSP.
6	FSYNC	<b>Frame Sync Output.</b> Data framing signal that is used to indicate the start and stop of a communication data frame.
7	MCLK	<b>Master Clock Input.</b> High speed master clock input. Generally supplied by the system crystal clock or DSP.
8	SCLK	<b>Serial Port Bit Clock Input/Output.</b> Controls the serial data on SDO and latches the data on SDI. This pin is an input in slave mode and an output in master mode.
9	RESET	<b>Reset.</b> An active low input that is used to reset all control registers to a defined initialized state. Also used to bring the Si3000 out of sleep mode.
10	MIC	<b>MIC Input.</b> Microphone level or line level input. This input contains selectable gain of 0, 10, 20, or 30 dB with a full scale input level of 1 V <sub>RMS</sub> .
11	LINEI	<b>Line Input.</b> Line level input with selectable gain of 0, 10, or 20 dB. The full scale input level is 1 V <sub>RMS</sub> .
12	V <sub>D</sub>	<b>Digital Supply Voltage.</b> Provides the digital supply voltage to the Si3000. Nominally either 5 or 3.3 V.

เอกสารนี้เป็นเอกสารที่สงวนไว้สำหรับการใช้งานเพื่อการศึกษาเท่านั้น ไม่อนุญาตให้นำไปใช้ประโยชน์ด้านการค้า ไม่ว่าจะกรณีใดๆทั้งสิ้น อีกทั้งห้ามมิให้ดัดแปลงเนื้อหา และต้องอ้างอิงถึงเจ้าของเอกสารทุกครั้งที่มีการนำไปใช้

Pin #	Pin Name	Description
14	GND	<b>Ground.</b> Connects to the system digital ground.
15	LINEO	<b>Line Output.</b> Line level analog output with a 1 V <sub>RMS</sub> full scale output level.
16	SPKRL	<b>Speaker Left Output.</b> Analog output capable of driving a 60 Ω load.

## 2. Control Registers

**Note:** Any register not listed here is reserved and should not be written. Any register bit labelled reserved should be written to zero during writes to the register. Register 0 can be read (always returns 0) and written safely.

**Table 1. Register Summary**

Register	Name	Bit 7	Bit 6	Bit 5	Bit 4	Bit 3	Bit 2	Bit 1	Bit 0
1	Control 1	SR			SPD	LPD	HPD	MPD	CPD
2	Control 2				HPFD	PLL	DL1	DL2	
3	PLL1 Divide N1	Divider N1							
4	PLL1 Multiply M1	Multiplier M1							
5	RX Gain Control 1	LIG	LIM		MCG	MCM	HIM	IIR	
6	ADC Volume Control				RXG		LOM	HOM	
7	DAC Volume Control				TXG		SLM	SRM	
8	Status Report	SLSC	SRSC	LOSC					
9	Analog Attenuation					LOT		SOT	

เอกสารนี้เป็นเอกสารที่สงวนไว้สำหรับการใช้งานเพื่อการศึกษาเท่านั้น ไม่อนุญาตให้นำไปใช้ประโยชน์ด้านการค้า ไม่ว่าจะกรณีใดๆทั้งสิ้น อีกทั้งห้ามมิให้ดัดแปลงเนื้อหา และต้องอ้างอิงถึงเจ้าของเอกสารทุกครั้งที่มีการนำไปใช้

**Register 1. Control 1**

Bit	D7	D6	D5	D4	D3	D2	D1	D0
<b>Name</b>	SR			SPD	LPD	HPD	MPD	CPD
<b>Type</b>	R/W			R/W	R/W	R/W	R/W	R/W

Reset settings = 0000\_0000

Bit	Name	Function
7	SR	<b>Software Reset.</b> 1 = Sets all registers to their reset value. 0 = Enables chip for normal operation. <b>Note:</b> Bit will automatically clear after being set.
6:5	Reserved	Read returns zero.
4	SPD	<b>Speaker Drive Power Down.</b> 1 = Normal operation 0 = Power down left and right speaker drive.
3	LPD	<b>Line Drive Power Down.</b> 1 = Normal operation 0 = Power down line driver.
2	HPD	<b>Handset Drive Power Down.</b> 1 = Normal operation 0 = Power down handset driver.
1	MPD	<b>MIC Bias Power Down.</b> 1 = Power down MIC bias buffer. 0 = Normal operation
0	CPD	<b>Chip Power Down.</b> 1 = Puts Si3000 into power down mode. 0 = Normal operation

เอกสารนี้เป็นเอกสารที่สงวนไว้สำหรับการใช้งานเพื่อการศึกษาเท่านั้น ไม่อนุญาตให้นำไปใช้ประโยชน์ด้านการค้า  
ไม่ว่ากรณีใดๆทั้งสิ้น อีกทั้งห้ามมิให้ดัดแปลงเนื้อหา และต้องอ้างอิงถึงเจ้าของเอกสารทุกครั้งที่มีการนำไปใช้

**Register 2. Control 2**

Bit	D7	D6	D5	D4	D3	D2	D1	D0
<b>Name</b>				HPFD	PLL	DL1	DL2	
<b>Type</b>	R/W R/W R/W R/W							

Reset Settings = 0000\_0000

Bit	Name	Function
7:5	Reserved	Read returns zero.
4	HPFD	<b>High Pass Filter (HPF) Disable.</b> 1 = HPF disabled 0 = HPF enabled
3	PLL	<b>PLL Divide by 10.</b> 1 = Sets final stage of PLL to divide by 10. 0 = Sets final stage of PLL to divide by 5.
2	DL1	<b>Digital Loopback.</b> 1 = Enables digital loopback (DAC analog out → ADC analog in). 0 = Normal operation
1	DL2	<b>Digital Loopback.</b> 1 = Enables digital loopback (DAC one bit → ADC one bit). 0 = Normal operation
0	Reserved	Read returns zero.

เอกสารนี้เป็นเอกสารที่สงวนไว้สำหรับการใช้งานเพื่อการศึกษาเท่านั้น ไม่อนุญาตให้นำไปใช้ประโยชน์ด้านการค้า  
ไม่ว่ากรณีใดๆทั้งสิ้น อีกทั้งห้ามมิให้ดัดแปลงเนื้อหา และต้องอ้างอิงถึงเจ้าของเอกสารทุกครั้งที่มีการนำไปใช้

**Register 3. PLL1 Divide N1**

Bit	D7	D6	D5	D4	D3	D2	D1	D0
<b>Name</b>	Divider N1							
<b>Type</b>	R/W							

Reset settings = 0000\_0000

Bit	Name	Function
7:0	N1	N1. Contains the (value – 1) for determining the output frequency on PLL.

**Register 4. PLL1 Multiply M1**

Bit	D7	D6	D5	D4	D3	D2	D1	D0
<b>Name</b>	Multiplier M1							
<b>Type</b>	R/W							

Reset settings = 0000\_0000

Bit	Name	Function
7:0	M1	M1. Contains the (value – 1) for determining the output frequency on PLL.

เอกสารนี้เป็นเอกสารที่สงวนไว้สำหรับการใช้งานเพื่อการศึกษาเท่านั้น ไม่อนุญาตให้นำไปใช้ประโยชน์ด้านการค้า ไม่ว่าจะกรณีใดๆทั้งสิ้น อีกทั้งห้ามมิให้ดัดแปลงเนื้อหา และต้องอ้างอิงถึงเจ้าของเอกสารทุกครั้งที่มีการนำไปใช้

## Register 5. RX Gain Control 1

Bit	D7	D6	D5	D4	D3	D2	D1	D0
<b>Name</b>	LIG		LIM	MCG		MCM	HIM	IIR
<b>Type</b>	R/W		R/W	R/W		R/W	R/W	R/W

Reset settings = 0100\_0111

Bit	Name	Function
7:6	LIG	Line in Gain. 11 = 20 dB gain 10 = 10 dB gain 01 = 0 dB gain 00 = Reserved
5	LIM	Line in Mute. 1 = Line input muted 0 = Line input goes to mixer
4:3	MCG	MIC Input Gain. 11 = 30 dB gain 10 = 20 dB gain 01 = 10 dB gain 00 = 0 dB gain
2	MCM	MIC Input Mute. 1 = Mute MIC input 0 = MIC input goes into mixer.
1	HIM	Handset Input Mute. 1 = Mute handset input 0 = Handset input goes into mixer.
0	IIR	IIR Enable. 1 = Enables IIR filter 0 = Enables FIR filter

เอกสารนี้เป็นเอกสารที่สงวนไว้สำหรับการใช้งานเพื่อการศึกษาเท่านั้น ไม่อนุญาตให้นำไปใช้ประโยชน์ด้านการค้า ไม่ว่าจะกรณีใดๆทั้งสิ้น อีกทั้งห้ามมิให้ดัดแปลงเนื้อหา และต้องอ้างอิงถึงเจ้าของเอกสารทุกครั้งที่มีการนำไปใช้

**Register 6. ADC Volume Control**

Bit	D7	D6	D5	D4	D3	D2	D1	D0	
<b>Name</b>		RXG					LOM	HOM	
<b>Type</b>		R/W					R/W	R/W	

Reset settings = 0101\_1100

Bit	Name	Function
7	Reserved	Read returns zero.
6:2	RXG	RX PGA Gain Control. 11111 = 12 dB 10111 = 0 dB 00000 = -34.5 dB LSB = 1.5 dB
1	LOM	Line Out Mute. 0 = Mute 1 = Active
0	HOM	Handset Out Mute. 0 = Mute 1 = Active

เอกสารนี้เป็นเอกสารที่สงวนไว้สำหรับการใช้งานเพื่อการศึกษาเท่านั้น ไม่อนุญาตให้นำไปใช้ประโยชน์ด้านการค้า ไม่ว่าจะกรณีใดๆทั้งสิ้น อีกทั้งห้ามมิให้ดัดแปลงเนื้อหา และต้องอ้างอิงถึงเจ้าของเอกสารทุกครั้งที่มีการนำไปใช้

## Register 7. DAC Volume Control

Bit	D7	D6	D5	D4	D3	D2	D1	D0	
Name		TXG					SLM	SRM	
Type		R/W					R/W	R/W	

Reset settings = 0101\_1100

Bit	Name	Function
7	Reserved	Read returns zero.
6:2	TXG	TX PGA Gain Control. 11111 = 12 dB 10111 = 0 dB 00000 = -34.5 dB LSB = 1.5 dB
1	SLM	SPKR_L Mute. 0 = Mute 1 = Active
0	SRM	SPKR_R Mute. 0 = Mute 1 = Active

เอกสารนี้เป็นเอกสารที่สงวนไว้สำหรับการใช้งานเพื่อการศึกษาเท่านั้น ไม่อนุญาตให้นำไปใช้ประโยชน์ด้านการค้า ไม่ว่าจะกรณีใดๆทั้งสิ้น อีกทั้งห้ามมิให้ดัดแปลงเนื้อหา และต้องอ้างอิงถึงเจ้าของเอกสารทุกครั้งที่มีการนำไปใช้

**Register 8. Status Report**

Bit	D7	D6	D5	D4	D3	D2	D1	D0
<b>Name</b>	SLSC	SRSC	LOSC					
<b>Type</b>	R	R	R					

Reset settings = 0000\_0000

Bit	Name	Function
7	SLSC	SPK_L Short Circuit. 1 = Indicate short circuit status is detected at left speaker. 0 = Normal mode
6	SRSC	SPK_R Short Circuit. 1 = Indicate short circuit status is detected at right speaker. 0 = Normal mode
5	LOSC	Line Out Short Circuit. 1 = Indicate short circuit status is detected at line out. 0 = Normal mode
4:0	Reserved	Read returns zero.

เอกสารนี้เป็นเอกสารที่สงวนไว้สำหรับการใช้งานเพื่อการศึกษาเท่านั้น ไม่อนุญาตให้นำไปใช้ประโยชน์ด้านการค้า ไม่ว่าจะกรณีใดๆทั้งสิ้น อีกทั้งห้ามมิให้ดัดแปลงเนื้อหา และต้องอ้างอิงถึงเจ้าของเอกสารทุกครั้งที่มีการนำไปใช้

**Register 9. Analog Attenuation**

Bit	D7	D6	D5	D4	D3	D2	D1	D0
Name					LOT		SOT	
Type					R/W		R/W	

Reset settings = 0000\_0000

Bit	Name	Type
7:4	Reserved	Read returns zero.
3:2	LOT	Line Out Attenuation. 11 = -18 dB analog attenuation on Line Output. 10 = -12 dB analog attenuation on Line Output. 01 = -6 dB analog attenuation on Line Output. 00 = 0 dB analog attenuation on Line Output.
2:0	SOT	Speaker Out Attenuation. 11 = -18 dB analog attenuation on Speaker Output. 10 = -12 dB analog attenuation on Speaker Output. 01 = -6 dB analog attenuation on Speaker Output. 00 = 0 dB analog attenuation on Speaker Output.

เอกสารนี้เป็นเอกสารที่สงวนไว้สำหรับการใช้งานเพื่อการศึกษาเท่านั้น ไม่อนุญาตให้นำไปใช้ประโยชน์ด้านการค้า  
ไม่ว่ากรณีใดๆทั้งสิ้น อีกทั้งห้ามมิให้ดัดแปลงเนื้อหา และต้องอ้างอิงถึงเจ้าของเอกสารทุกครั้งที่มีการนำไปใช้